

LABORATORIUM FÜR DEN KONSTRUKTIVEN INGENIEURBAU (LKI)
TECHNISCHE UNIVERSITÄT MÜNCHEN

BERICHTE
zur
SICHERHEITSTHEORIE DER BAUWERKE

Die genäherte Berechnung der
Versagenswahrscheinlichkeit mit Hilfe
rotationssymmetrischer Grenzzustandsflächen
2. Ordnung

von
H.-J. Neumann, B. Fießler, R. Rackwitz

SONDERFORSCHUNGSBEREICH 96

LABORATORIUM FÜR DEN KONSTRUKTIVEN INGENIEURBAU (LKI)

TECHNISCHE UNIVERSITÄT MÜNCHEN

BERICHTE

ZUR

SICHERHEITSTHEORIE DER BAUWERKE

Heft 22/1977

DIE GENÄHERTE BERECHNUNG DER VERSAGENSWAHRSCHEINLICH-
KEIT MIT HILFE ROTATIONSSYMMETRISCHER GRENZZUSTANDS-
FLÄCHEN 2. ORDNUNG

von

H.-J. Neumann, B. Fießler, R. Rackwitz

SONDERFORSCHUNGSBEREICH 96 (SFB 96)

Der SFB 96 "Sicherheit von Bauwerken" ist eine Einrichtung der Technischen Universität München und der Deutschen Forschungsgemeinschaft. Der SFB hat sich die Entwicklung baustoff- und bauartenübergreifender Sicherheitssysteme auf wahrscheinlichkeitstheoretischer Grundlage zum Ziel gesetzt.

LABORATORIUM FÜR DEN KONSTRUKTIVEN INGENIEURBAU (LKI)

Am LKI beteiligte Institute:

Institut für Bauingenieurwesen I

Baumechanik
Baustatik

Prof. Dr.-Ing. Grundmann
Prof. Dr.-Ing. Knittel

Institut für Bauingenieurwesen II

Baukonstruktion und Holzbau
Baustoffkunde und Werkstoffprüfung

Prof. Dr.-Ing. Heimeshoff
Prof. Dr.-techn.
Springenschmid

Institut für Bauingenieurwesen III

Massivbau
Stahlbau

Prof. Dr.-Ing. Kupfer
Prof. Dipl.-Ing. Nather

Die Verfasser des vorliegenden Berichtes sind Angehörige des Instituts für Bauingenieurwesen III, Lehrstuhl Massivbau.

Inhaltsverzeichnis

	Seite
1. Einführung und Aufgabenstellung	1
2. Näherungsflächen 1. Ordnung und Versagenswahrscheinlichkeit - Überblick	2
3. Näherungsflächen 2. Ordnung und Versagenswahrscheinlichkeit	5
3.1 Approximation der Grenzzustandsgleichung durch eine Hyperkugel mit dem Radius $R = \beta$	7
3.2 Approximation der Grenzzustandsgleichung durch eine Quadrik	10
3.2.1 Approximation durch ein Paraboloid bzw. durch ein Rotationsparaboloid	14
3.2.1.1 Ermittlung der Grenzzustandsgleichung	14
3.2.1.2 Berechnung der Versagenswahrscheinlichkeit	16
3.2.2 Approximation der Grenzzustandsgleichung durch ihre Schmiegekugel	22
3.2.2.1 Ermittlung der Grenzzustandsgleichung	22
3.2.2.2 Berechnung der Versagenswahrscheinlichkeit	24
3.2.3 Approximation der Grenzzustandsgleichung durch ein zweischaliges Rotationshyperboloid bzw. durch ein Rotationsellipsoid	26
4. Ein verbesserter Sicherheitsindex	27
5. Tabellen für die Versagenswahrscheinlichkeit bei Approximation der Grenzzustandsfläche durch Rotationsparaboloide und Schmiegekugeln und für den Korrekturfaktor	30
5.1 Approximation durch Rotationsparaboloide	30
5.1.1 Beschreibung der Tabellen	30
5.1.2 Berechnung der Tabellen	30
5.2 Approximation durch Schmiegekugeln	31
5.2.1 Beschreibung der Tabellen	31
5.2.2 Berechnung der Tabellen	31
5.3 Korrekturfaktor ρ für den Sicherheitsindex	31
5.3.1 Beschreibung der Tabellen	31
5.3.2 Berechnung der Tabellen	31

6. Anwendungsbeispiel	32
7. Schlußbemerkungen	36

Anhang

A 1 Betrachtungen zur Approximation der Grenzzustandsgleichung durch ein zweischaliges Rotationshyperboloid bzw. durch ein Rotationsellipsoid	38
A 2 Tafeln für die Versagenswahrscheinlichkeit bei Rotationsparaboloiden	40
A 3 Tafeln für die Versagenswahrscheinlichkeit bei Schmiegekugeln (= Tafeln der nichtzentralen Chi-Quadratverteilung)	63
A 4 Tafeln für einen Korrekturfaktor für den Sicherheitsindex β	71
Literaturverzeichnis	94

Symbole und Bezeichnungen

$x, y, z \dots$	(gewöhnliche) Variable
$\underline{x}, \underline{y}, \underline{z} \dots$	Vektoren von Variablen
$X, Y, Z \dots$	Zufallsvariable
$\underline{X}, \underline{Y}, \underline{Z} \dots$	Vektoren von Zufallsvariablen
$\underline{A}, \underline{B}, \underline{E} \dots$	Matrizen
$E[x], m_x$	Erwartungswert, Mittelwert
$Var[x], \sigma^2[x]$	Varianz
$\varphi_{\mu, \sigma}(x), \phi_{\mu, \sigma}(x)$	Wahrscheinlichkeitsdichte und Verteilungsfunktion der Normalverteilung
$\varphi(x), \phi(x)$	Wahrscheinlichkeitsdichte und Verteilungsfunktion der standardisierten Normalverteilung
$f(x), F(x)$	Wahrscheinlichkeitsdichte, Verteilungsfunktion
P_F	Versagenswahrscheinlichkeit
$\phi^{-1}(P_F)$	Umkehrfunktion der Normalverteilung
$P(Z)$	Wahrscheinlichkeit des Ereignisses Z
v	logisches "oder"-Zeichen

1. Einführung und Aufgabenstellung

Die Berechnung der Wahrscheinlichkeit des Versagens von Baukonstruktionen wurde in den letzten Jahren wesentlich vereinfacht. Die entsprechende Theorie ist unter dem Namen Zuverlässigkeitstheorie 1. Ordnung bzw. Level-II-Methode bekannt [1]. Sie beruht auf einigen wichtigen Grundgedanken, insbesondere der Transformation nicht-normaler Verteilungen in normale Verteilungen durch punktweise Linearisierung [2, 3, 4], der Standardisierung auf (0,1)-normalverteilte Zufallsvariable und gegebenenfalls der Entkorrelierung der Zufallsvariablen und der Linearisierung der im allgemeinen nichtlinearen Grenzzustandsgleichung [5, 6]. Die Versagenswahrscheinlichkeit ermittelt sich dann mit Hilfe der Normalverteilungsfunktion. Frühzeitig wurde darauf hingewiesen, daß auch die Approximation durch eine spezielle quadratische Form (eingeschriebene Hyperkugel) zu einfachen Lösungen führt [7]. Die Versagenswahrscheinlichkeit ergibt sich dann aus der zentralen Chi-Quadratverteilung. Diese und Lösungen, die keine Annahme über die Verteilungen der Zufallsgrößen voraussetzen (sogenannte Tchebycheff'sche Schätzungen) wurden in [8] näher untersucht. Ditlevsen [9] gab eine Lösung für approximierende Rotationsparaboloide an. Im folgenden werden diese Lösungen der Vollständigkeit halber im einzelnen entwickelt. Für die Versagenswahrscheinlichkeit von approximierenden Rotationsparaboloiden werden Tabellen angegeben. Eine weitere rotationssymmetrische Form, die Hyperkugel mit gleichem maximalen oder minimalen Hauptkrümmungsradius wie die Grenzzustandsfläche im Approximationspunkt, wird vorgestellt. Ihr Wahrscheinlichkeitsinhalt kann mit Hilfe der nichtzentralen Chi-Quadratverteilung berechnet werden. Auch hierfür werden zweckmäßig aufgebaute Tabellen zur Verfügung gestellt. Für die Behandlung der von allgemeineren Quadriken (Paraboloide, Ellipsoide oder Hyperboloide) eingeschlossenen Wahrscheinlichkeitsinhalte wird auf [16] verwiesen.

(4)

(5)

mal-
o-
zen-
gen-
in-

(6)

zial-

e-

7)

)

2. Näherungsflächen¹⁾ 1. Ordnung und Versagenswahrscheinlichkeit P_F - Überblick

Mit der Entwicklung der Zuverlässigkeitstheorie 1. Ordnung konnte das Problem der Berechnung der Versagenswahrscheinlichkeit P_F einer zunächst befriedigenden Näherungslösung zugeführt werden.

Drei wesentliche Vereinfachungen waren dazu notwendig:

- a) Der Vektor $\underline{R}(t)$, der alle die Trag- oder Gebrauchsfähigkeit eines Bauteiles oder Tragwerkes charakterisierenden deterministischen und stochastischen Größen beschreibt, wird für ein zu wählendes Zeitintervall $[0 \leq t \leq T]$ als zeitinvariant betrachtet.

$$\underline{R}(t) = \underline{R} \quad [0 \leq t \leq T] \quad (1)$$

Wird der Verlust der Trag- oder Gebrauchsfähigkeit eines Bauteiles oder Tragwerkes identisch mit der Erfüllung der Versagensbedingung der Form

$$g(\underline{r}) < 0 \quad (2)$$

angenommen, erhält man für die Versagenswahrscheinlichkeit P_F den Ausdruck

$$P_F = \int_{g(\underline{r}) < 0} f_R(\underline{r}) d\underline{r} \quad (3)$$

In (3) ist $f_R(\underline{r})$ die gemeinsame Dichte des Vektors \underline{R} . Für praktische Rechnungen ist (3) im allgemeinen ungeeignet.

- b) Die Komponenten R_i ($i = 1, 2, \dots, n$) des Vektors $\underline{R} = (R_1, R_2, \dots, R_n)$ werden mittels geeigneter

¹⁾ Unter Flächen werden in diesem Beitrag allgemein Flächen im n-dimensionalen Raum verstanden.

Transformationen, z.B.

$$U_i = \phi_{\mu, \sigma}^{-1}(F_i(R_i)) \quad (i = 1, 2, \dots, n) \quad (4)$$

in normalverteilte und mittels

$$Y_i = \sum_{k=1}^n a_{k,i} U_k \quad (i = 1, 2, \dots, n) \quad (5)$$

in voneinander unabhängige Zuallsvariable überführt. Dabei ist $F_i(R_i)$ die Verteilungsfunktion der i-ten Komponente des Vektors \underline{R} und $\phi_{\mu, \sigma}^{-1}$ die Inverse der Normalverteilung $\phi_{\mu, \sigma}$. Die Koeffizienten $a_{i,k}$ sind die Komponenten der Modalmatrix der ursprünglichen Kovarianzmatrix Σ_R , während sich die Hauptvarianzen σ_Y^2 als Eigenwerte der Matrix Σ_R ermitteln. Die Versagenswahrscheinlichkeit P_F kann jetzt mit

$$P_F = \int_{g(\underline{y}) < 0} \varphi_{\mu, \sigma}(\underline{y}) d\underline{y} \quad (6)$$

berechnet werden. Das gelingt aber nur für einige Spezialfälle.

- c) Die Grenzzustandsgleichung $g(\underline{y}) = 0$ wird im Linearisierungs- oder Approximationspunkt $\underline{y}^* = (y_1^*, y_2^*, \dots, y_n^*)$ durch ihre Tangentialebene

$$g_L(\underline{y}) = g(\underline{y}^*) + \sum_{i=1}^n \frac{\partial g(\underline{y})}{\partial y_i} \bigg|_{\underline{y}^*} (y_i - y_i^*) = z = 0 \quad (7)$$

approximiert.

Es gilt der Satz: Sind Y_1, Y_2, \dots, Y_n unabhängige normalverteilte Zufallsvariablen, dann ist auch jede lineare Funktion

$$Z = a_0 + a_1 Y_1 + a_2 Y_2 + \dots + a_n Y_n \quad (8)$$

normalverteilt.

Damit erhält man

$$P_F^L = \int_{g_L(\underline{y}) < 0} \varphi_{\mu, \sigma}(\underline{y}) d\underline{y} = P(Z \leq 0) = \int_{-\infty}^0 \varphi_{\mu, \sigma}(z) dz \quad (9)$$

mit

$$m_z = a_0 + \sum_{i=1}^n a_i m_{yi} \quad (10)$$

und

$$\sigma_z = \left[\sum_{i=1}^n a_i^2 \sigma_{yi}^2 \right]^{1/2} \quad (11)$$

Der Ausdruck (9) vereinfacht sich zu

$$P_F^L = \Phi\left(-\frac{m_z}{\sigma_z}\right) \quad (12)$$

und stellt eine bequem zu berechnende Näherung zur Ermittlung der Versagenswahrscheinlichkeit P_F dar. Die Anwendung von $\Phi(\cdot)$ erfolgt zweckmäßigerweise mit den bekannten Tabellen zur Normalverteilung oder geeigneter rationaler Approximationen [10]. Ist der Approximationspunkt $P_y^* = (y_1^*, y_2^*, \dots, y_n^*)$ der Punkt von allen möglichen Punkten P_y auf der Grenzzustandsfläche, für den der Betrag von (9) extremal wird, dann entspricht in einem $\frac{y_i}{\sigma_i}$ - normierten Koordinatensystem der Wert des Quotienten $\frac{m_z}{\sigma_z}$ in (12) dem Betrag der kürzesten Entfernung zwischen dem Punkt $P_{mz} = (\frac{m_{y1}}{\sigma_{y1}}, \frac{m_{y2}}{\sigma_{y2}}, \dots, \frac{m_{yn}}{\sigma_{yn}})$ und der Grenzzustandsfläche $g(\underline{y}) = 0$. Der Beweis ist aus [1] zu ersehen. Es wird dann

$$\beta = \frac{m_z}{\sigma_z} \quad (13)$$

als der Sicherheitsindex bezeichnet.

Die näherungsweise Berechnung der Versagenswahrscheinlichkeit P_F läßt sich so auf die Bestimmung von

$$\beta = \min (\overline{P_y} \overline{P_{m_z}}) \quad (14)$$

und

$$P_F^L = \Phi(-\beta) \quad (15)$$

zurückführen.

Der Ausdruck (9), und damit auch (12) und (15), stellt einen exakten Schrankenwert für (6) dar.

Es gilt

$$\Phi(-\beta) \leq P_F \quad (16)$$

für einen konvexen Bereich $g(\underline{y}) \geq 0$ und

$$0 \leq P_F \leq \Phi(-\beta) \quad (17)$$

für einen konvexen Bereich $g(\underline{y}) \leq 0$.

Es ist zu beachten, daß P_F^L für den konvexen Bereich $g(\underline{y}) \geq 0$ für nichtlineare Grenzzustandsgleichungen $g(\underline{y}) = 0$ auf der unsicheren Seite liegt (siehe Bild 2).

Im folgenden soll nur die unter c) beschriebene Vereinfachung - Approximation der Grenzzustandsfläche $g(\underline{y}) = 0$ durch unkomplizierte (symmetrische) Grenzzustandsflächen - weiter betrachtet werden. Stetigkeit und mindestens zweimalige Differenzierbarkeit von $g(\underline{y}) = 0$ in der Umgebung des Approximationspunktes werden dabei vorausgesetzt.

3. Näherungsflächen 2. Ordnung und die Versagenswahrscheinlichkeit

Gl.(6) läßt sich geometrisch interpretieren als die Berechnung des Volumenanteiles von $V = \int_{g(\underline{y}) < 0} \varphi_{\mu, \sigma}(\underline{y}) d\underline{y}$ für den $g(\underline{y}) < 0$

gilt. V bezeichnet den Inhalt des in Bild 1 schematisch dargestellten sogenannten "Wahrscheinlichkeitshügels".

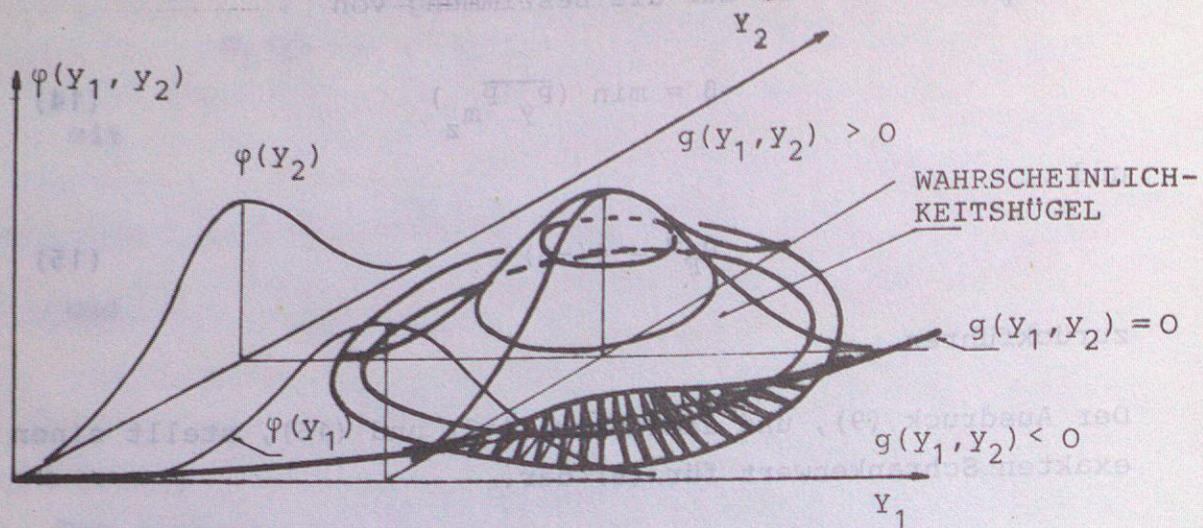
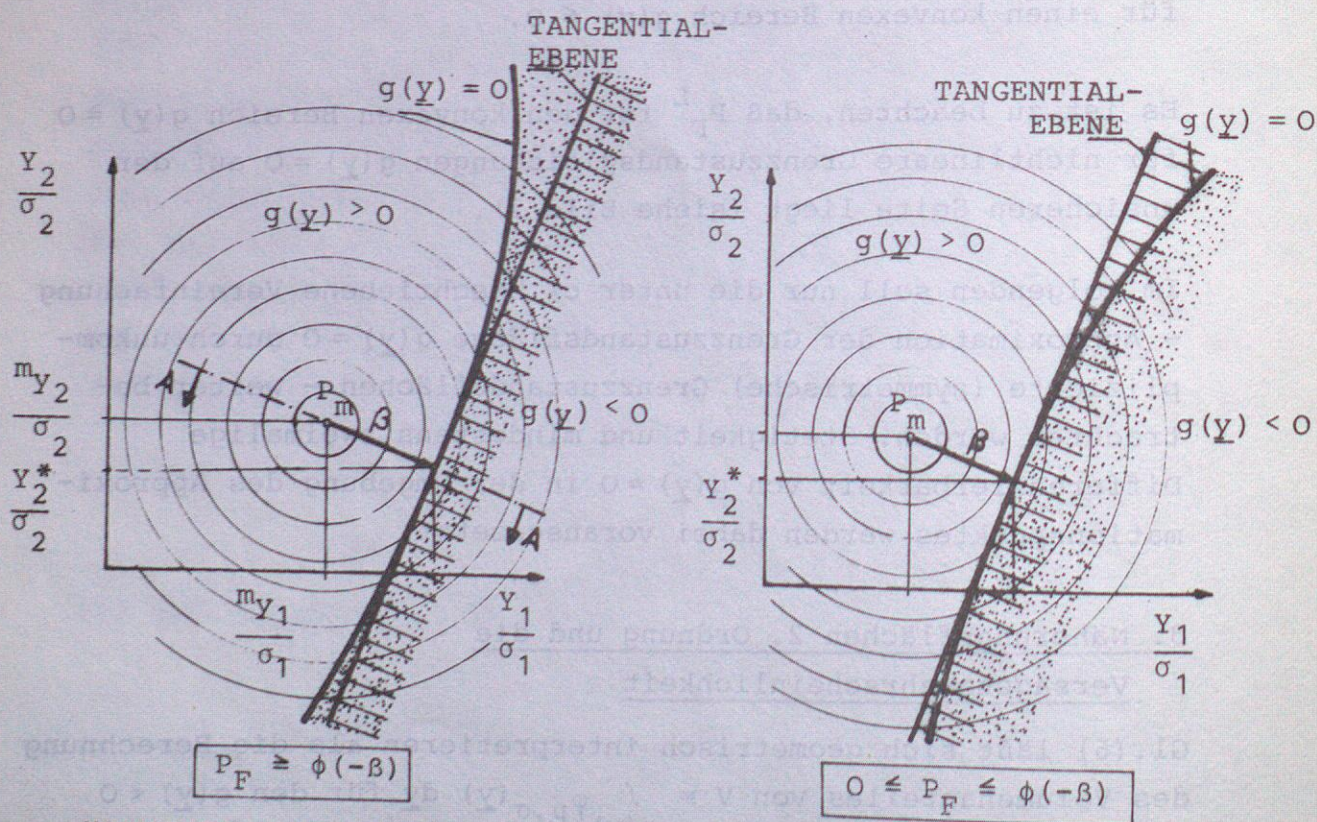


Bild 1: Wahrscheinlichkeitshügel für zwei Zufallsvariable Y_1, Y_2

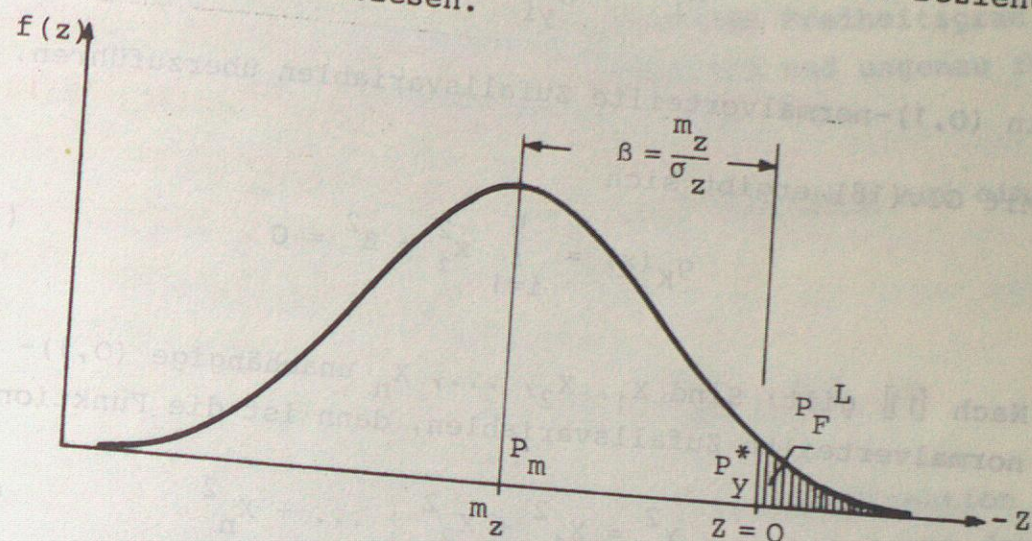
In Bild 2 ist der Wahrscheinlichkeitshügel durch seine Höhenlinien $\varphi_{\mu, \sigma}(y) = \text{const.}$ dargestellt. Der Integrationsbereich entsprechend Gl. (6) ist gepunktet, entsprechend Gl. (9) bzw. Gl. (15) ist der Integrationsbereich schraffiert dargestellt.



$P_F \geq \phi(-\beta)$
KONVEXER BEREICH $g(y) \geq 0$
Bild 2

$0 \leq P_F \leq \phi(-\beta)$
KONVEXER BEREICH $g(y) \leq 0$

Bild 3 zeigt schematisch einen Schnitt A-A durch den Wahrscheinlichkeitshügel, die Punkte P_m und P_y^* liegen in der Schnittebene. Aus der Darstellung läßt sich die Beziehung (12) unmittelbar ablesen.



SCHNITT A - A IM BILD 2

Bild 3

Aus Bild 2 ist zu erkennen, daß eine Approximation der Grenzzustandsgleichung $g(y) = 0$ durch eine Kurve (Fläche) 2. Ordnung genauere Werte für P_F liefern kann.

3.1 Approximation der Grenzzustandsgleichung $g(y) = 0$ durch eine Kugel mit dem Radius $R = \beta$

Unter Beachtung von Gl. (14) ist die Kugel

$$g_K(y) = \sum_{i=1}^n \frac{1}{\sigma_i^2} (y_i - m_{y_i})^2 - \beta^2 = 0 \quad (18)$$

offensichtlich diejenige der möglichen Approximationen von $g(y) = 0$, die den größten Betrag für die Versagenswahrscheinlichkeit P_F liefert. Damit ist für Gl. (16) der rechtsseitige Grenzwert gewonnen. Diese Betrachtung ist deshalb auch nur für konvexe Bereiche $g(y) \geq 0$ sinnvoll. Für die Berechnung der Versagenswahrscheinlichkeit P_F^K ist es zweckmäßig, die

normalverteilten Zufallsvariablen Y_i ($i = 1, 2, \dots, n$) in Gl.(6) mit der Transformation

$$X_i = \frac{Y_i - m_{Yi}}{\sigma_{Yi}} \quad (i = 1, 2, \dots, n) \quad (19)$$

in (0,1)-normalverteilte Zufallsvariablen überzuführen.

Mit Gl.(18) ergibt sich

$$g_K(\underline{x}) = \sum_{i=1}^n x_i^2 - \beta^2 = 0 \quad (20)$$

Nach [1] gilt: Sind X_1, X_2, \dots, X_n unabhängige (0,1)-normalverteilte Zufallsvariablen, dann ist die Funktion

$$\chi_n^2 = X_1^2 + X_2^2 + \dots + X_n^2 \quad (21)$$

chi-quadratverteilt mit n Freiheitsgraden.

Für die Versagenswahrscheinlichkeit P_F^K erhalten wir

$$P_F^K = \int_{g_K(\underline{x}) > 0} \varphi(\underline{x}) d\underline{x} \quad (22)$$

und mit Gl.(21)

$$P_F^K = 1 - P(\chi_n^2 \leq \beta^2) = 1 - \chi_n^2(\beta^2) \quad (23)$$

Mit der Verteilungsfunktion für die Chi-Quadrat-Verteilung ist

$$P_F^K = 1 - \frac{1}{2^{\frac{n}{2}} \Gamma(\frac{n}{2})} \int_0^{\beta^2} e^{-\frac{1}{2}v} \cdot v^{\frac{(n-1)}{2}} dv \quad (24)$$

In Gl.(24) steht v für χ^2 und n bezeichnet den Freiheitsgrad, d.i. die Anzahl der Zufallsvariablen X_i in (21).

Die Tafeln der χ^2 -Verteilung enthalten in der Regel für verschiedene n und $P(\chi^2 = x_{q,n})$ die Quantile $x_{q,n}$.

Für vorgegebene $\chi^2 = \beta^2$ und vorgegebenen Freiheitsgrad n ist die Bestimmung $P(\chi^2 \leq \beta^2)$ unhandlich und ungenau für den zumeist in Frage kommenden Bereich.

Nach [15] läßt sich Gl.(24) für geradzahlige n auf eine Poissonverteilung zurückführen.

Wir erhalten

$$P_F^K = 1 - P(\chi^2 \leq \beta^2) = \Phi_p\left(\frac{n}{2} - 1; \frac{1}{2}\beta^2\right) \quad (25)$$

In Gl.(25) beschreibt $\Phi_p(\xi; \mu)$ die Verteilungsfunktion für die Poissonverteilung einer Zufallsvariablen ξ mit dem Erwartungswert $E[\xi] = \mu = \frac{1}{2}\beta^2$.

Damit folgt für geradzahliges n

$$P_F^K = e^{-\frac{1}{2}\beta^2} \sum_{j=0}^{\frac{n}{2}-1} \frac{(\frac{1}{2}\beta^2)^j}{j!} \quad (26)$$

Andere Möglichkeiten findet man in [10] beschrieben.

Geometrisch betrachtet wird durch Gl.(19) der Koordinatenursprung (in Bild 2) in den Punkt P_m verschoben; die neuen Koordinatenachsen X_i sind parallel zu den Koordinatenachsen Y_i ($i = 1, 2, \dots, n$).

Bild 4 zeigt schematisch die Integrationsbereiche entsprechend den Gl.(6), (9) und (22).

Die Gl.(22) und damit Gl.(24) stellt für die Berechnung der Versagenswahrscheinlichkeit P_F einen exakten rechtsseitigen Schrankenwert dar. Damit können wir für konvexe sichere Bereiche Gl.(16) in

$$\Phi(-\beta) \leq P_F \leq 1 - \chi^2(\beta^2) \quad (27)$$

ergänzen.

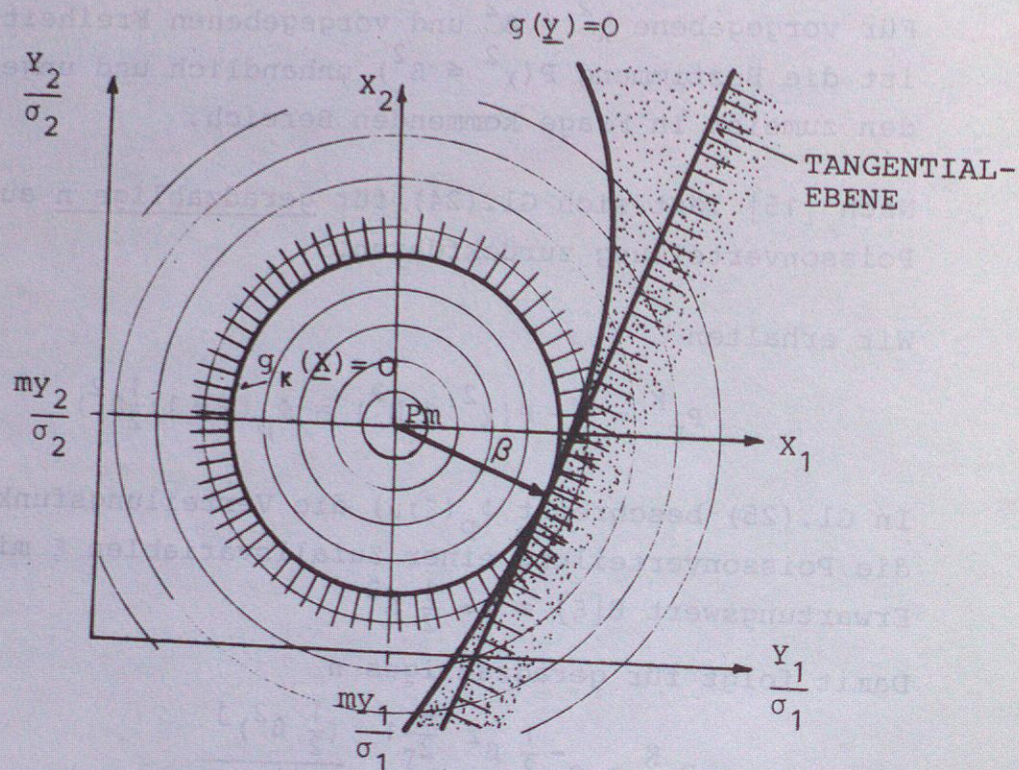


Bild 4: Schematische Darstellung der Integrationsbereiche entsprechend Gl.(6), (9) und (24)

Alle weiteren, über unterschiedliche Approximationen von $g(\underline{y}) = 0$ gewonnenen, Werte für die Versagenswahrscheinlichkeit P_F müssen sich - konvexer Bereich für $g(\underline{y}) \geq 0$ vorausgesetzt - zwischen diesen beiden Grenzwerten bewegen.

3.2 Approximation der Grenzzustandsgleichung $g(\underline{y}) = 0$ durch eine allgemeine Quadrik

Die Grenzzustandsgleichung $g(\underline{y}) = 0$ kann im Approximationspunkt $P_y^* = (y_1^*, y_2^*, \dots, y_n^*)$ in eine Taylorreihe zweiter Ordnung

$$g_Q(\underline{y}) = g(\underline{y}^*) + \sum_{i=1}^n \frac{\partial g(\underline{y})}{\partial y_i} \Big|_{\underline{y}^*} (y_i - y_i^*) + \frac{1}{2} \sum_{i=1}^n \frac{\partial^2 g(\underline{y})}{\partial y_i^2} \Big|_{\underline{y}^*} (y_i - y_i^*)^2 + \sum_{i=1}^{n-1} \sum_{k=i+1}^n \frac{\partial^2 g(\underline{y})}{\partial y_i \partial y_k} \Big|_{\underline{y}^*} (y_i - y_i^*) (y_k - y_k^*) = 0 \quad (28)$$

entwickelt werden. Dabei setzen wir voraus, daß P_y^* und β Bedingung Gl.(14) genügen. Damit ist gesichert, daß die Information über die Lage des Punktes der Fläche $g(\underline{y}) = 0$, in dem die gemeinsame Dichtefunktion $\varphi_{\mu, \sigma}(\underline{y})$ einen maximalen Wert erreicht, nicht verloren geht.

In Ergänzung zu der Approximation durch eine Tangentialebene (Gl.7) werden als zusätzliche wichtige Information die Krümmung der Fläche $g(\underline{y}) = 0$ im Punkt P_y^* und die Dimension des durch den Basisvariablenvektor $\underline{R} + \underline{Y}$ aufgespannten Raumes in die Berechnung der Versagenswahrscheinlichkeit P_F einbezogen. Die Bedeutung der Krümmung der Fläche $g(\underline{y}) = 0$ für die Berechnung der Versagenswahrscheinlichkeit ist aus den Bildern 2 und 4 anschaulich zu erkennen.

Die Bedeutung der Dimension des durch den Basisvariablenvektor aufgespannten Raumes kann man sich mit folgendem Modell verdeutlichen. Der Inhalt des Wahrscheinlichkeitshügels beträgt unabhängig von der Dimension immer 1. Dann ist z.B. der prozentuale Anteil des Volumens einer in den Wahrscheinlichkeitshügel eingeschriebenen Kugel mit dem Radius R am Gesamthalt des Wahrscheinlichkeitshügels in einem dreidimensionalen Raum größer als in einem $(3+i)$ -dimensionalen Raum $i \geq 1$.

Die Berechnung der Versagenswahrscheinlichkeit

$$P_F^Q = \int_{g_Q(\underline{y}) < 0} \varphi_{\mu, \sigma}(\underline{y}) d\underline{y}$$

wollen wir vorerst nicht durchführen, sondern schreiben Gl.(28) mit

$$g_Q(\underline{y}) = \sum_{i=1}^n \sum_{j=1}^n b_{ij} y_i y_j + \sum_{k=1}^n c_k y_k + c_0 = 0 \quad (30)$$

als allgemeine Quadrikgleichung auf.

Von dieser Quadrik sollen zwei spezielle Formen, das Paraboloid und die Kugel, näher betrachtet werden. Wir führen die folgenden Transformation aus:

1. Mit der Transformation Gl.(19) wird dem Koordinatensystem (Y_1, Y_2, \dots, Y_n) das Koordinatensystem (X_1, X_2, \dots, X_n) zugeordnet.

2. Das Koordinatensystem (X_1, X_2, \dots, X_n) wird um seinen Ursprung gedreht, derart, daß eine der Koordinatenachsen z.B. $X_N \rightarrow \hat{X}_N$ durch den Punkt $P_Y^* \rightarrow P_X^* \rightarrow P_{\hat{X}}^*$ verläuft. In dem neuen Koordinatensystem $(\hat{X}_1, \hat{X}_2, \dots, \hat{X}_n)$ besitzt der Punkt $P_{\hat{X}}^*$ die Koordinaten $(0, 0, \dots, \beta)$. Die beschriebene Drehung wird mit der Transformation

$$\underline{x} = \underline{D} \hat{\underline{x}} \quad (31)$$

ausgeführt. In Gl.(31) sind \underline{x} und $\hat{\underline{x}}$ Vektoren mit den Komponenten (Koordinatenachsen) X_1, X_2, \dots, X_n bzw. $\hat{X}_1, \hat{X}_2, \dots, \hat{X}_n$. Die Matrix \underline{D} wird als Drehmatrix bezeichnet und ist eine orthogonale Matrix. Ihre Spaltenvektoren \underline{a}_i ($i = 1, 2, \dots, n$) lassen sich mit dem folgenden Algorithmus (E. Schmidt'sches Orthogonalisierungsverfahren)

$$\underline{a}_k = \frac{\underline{f}_k}{|\underline{f}_k|} = \underline{f}_k^0 \quad (k = 1, 2, \dots, n) \quad (32)$$

mit

$$\underline{f}_1 = \underline{a}_\beta \quad (33)$$

und

$$\underline{f}_k = \underline{e}_k - \sum_{l=1}^{k-1} (\underline{e}_k \cdot \underline{f}_l^0) \underline{f}_l^0 \quad (k = 2, 3, \dots, n) \quad (34)$$

berechnen.

Die Komponenten α_i des Vektors $\underline{a}_\beta = (\alpha_1, \alpha_2, \dots, \alpha_n)$ in G.(33) sind die Richtungskosinus des Vektors $\underline{OP}_X^* = \underline{\beta}$ im Koordinatensystem (X_1, X_2, \dots, X_n) und identisch mit den Richtungskosinus des Vektors $\underline{\beta}$ im Koordinatensystem $(\frac{Y_1}{\sigma_1}, \frac{Y_2}{\sigma_2}, \dots, \frac{Y_n}{\sigma_n})$.

Sie können über die Beziehung

$$\alpha_i = \frac{\frac{\partial g(\underline{x})}{\partial x_i} |_{\underline{x}^*}}{\left[\sum \left(\frac{\partial g(\underline{x})}{\partial x_i} |_{\underline{x}^*} \right)^2 \right]^{1/2}} \quad (35)$$

ermittelt werden (siehe z.B. [3]).

Die Vektoren \underline{e}_k bzw. \underline{f}_k in den Gl.(32) und (34) sind die den Koordinatenachsen X_1, X_2, \dots, X_n bzw. $\hat{X}_1, \hat{X}_2, \dots, \hat{X}_n$ zugeordneten Einheitsvektoren bzw. des Koordinatensystems (X_1, X_2, \dots, X_n) .

Gl.(34) besagt nichts anderes, als daß der neue Einheitsvektor \underline{f}_k der Koordinatenachse \hat{X}_k durch Linearkombination des Einheitsvektors \underline{e}_k der Koordinatenachse X_k und der schon erzeugten neuen Einheitsvektoren $\underline{f}_1, \dots, \underline{f}_{k-1}$ der Koordinatenachsen $\hat{X}_1, \dots, \hat{X}_{k-1}$ gewonnen wird.

Nach Ausführung der Drehung erhält man für Gl.(30) den Ausdruck

$$g_Q(\hat{\underline{x}}) = \sum_{i=1}^n \sum_{j=1}^n m_{ij} \hat{x}_i \hat{x}_j + \sum_{k=1}^n n_k \hat{x}_k + c_0 = 0 \quad (36)$$

Für das Koordinatensystem $(\hat{X}_1, \hat{X}_2, \dots, \hat{X}_n)$ gilt

$$\frac{\partial g_Q(\hat{\underline{x}})}{\partial \hat{x}_i} |_{\hat{\underline{x}}^*} = g'_i = 0 \quad (i \neq n) \quad (36.1)$$

Die später benötigten Hauptkrümmungen $\kappa_i = \frac{1}{R_i}$ ($i \neq n$), der Grenzzustandsfläche $g(\underline{y}) \rightarrow g(\underline{\hat{x}})$ im Approximationspunkt $P_{\hat{x}}^*$ sind dann die Eigenwerte der charakteristischen Gleichung

$$\det\left(\frac{1}{g''_n} \cdot \underline{\underline{A}} - \frac{1}{R} \cdot \underline{\underline{E}}\right) = 0 \quad (36.2)$$

In (36.2) steht $\underline{\underline{E}}$ für die Einheitsmatrix und $\underline{\underline{A}}$ ist die Matrix der zweiten und gemischten Ableitungen von Gl.(36) für $i = 1, 2, \dots, n-1$, d.h.

$$\underline{\underline{A}} = \begin{pmatrix} g''_{11} & g''_{12} & g''_{13} & \dots & g''_{1, n-1} \\ g''_{21} & g''_{22} & g''_{23} & \dots & g''_{2, n-1} \\ \vdots & \vdots & \vdots & \ddots & \vdots \\ g''_{n-1,1} & g''_{n-1,2} & g''_{n-1,3} & \dots & g''_{n-1, n-1} \end{pmatrix} \quad (36.3)$$

mit $g''_{ij} = g''_{ji}$ für $i \neq j$.

3.2.1 Approximation der Grenzzustandsgleichung durch ein Paraboloid bzw. ein Rotationsparaboloid

3.2.1.1 Ermittlung der Grenzzustandsgleichung

Die Näherung der Grenzzustandsfläche $g(\underline{y}) \rightarrow g(\underline{\hat{x}})$ im Approximationspunkt $P_{\hat{x}}^* = (0, 0, \dots, \beta)$ durch ein Paraboloid führt auf die Beziehung

$$g_p(\underline{\hat{x}}) = -\hat{x}_n + \beta + \sum_{i=1}^{n-1} p_i \hat{x}_i^2 = 0 \quad (37)$$

Die Koeffizienten p_i in Gl.(37) enthalten die Eigenwerte der quadratischen Form des approximierenden Paraboloides und stehen in einfacher Beziehung zu den Scheitelkrümmungen des Paraboloides und diese sollen den Hauptkrümmungen der Grenzzustandsfläche $g(\hat{x}) = 0$ im Entwurfspunkt $P_{\hat{x}}^* = (0, 0, \dots, \beta)$ entsprechen. Die Berechnung der Hauptkrümmungsradien kann aber auch in jedem anderen Koordinatensystem vorgenommen werden - sie sind gegenüber Koordinatentransformationen invariant. In Gl.(37) ist $p_i = 1/2 \cdot R_i$, $i = 1, 2, \dots, n-1$.

Die Berechnung der Versagenswahrscheinlichkeit P_F^P

$$P_F^P = \int_{g(\underline{\hat{x}}) < 0} \varphi(\underline{\hat{x}}) d\underline{\hat{x}} \quad (38)$$

ist prinzipiell möglich. Für die Behandlung eines allgemeinen Termes $\sum_{i=1}^m p_i \hat{x}_i^2$ mit beliebigen Koeffizienten p_i muß auf [16] verwiesen werden. Für Anwendungen wird, dem bereits genannten Beitrag von Ditlevsen [9] folgend, die Gl.(37) weiter vereinfacht. Von den Koeffizienten p_i in Gl.(37) wählen wir den größten und kleinsten Wert aus und erhalten mit

$$g_{R, \max}(\underline{\hat{x}}) = -\hat{x}_n + \max(p_i) \sum_{i=1}^{n-1} \hat{x}_i^2 + \beta = 0 \quad (39)$$

und

$$g_{R, \min}(\underline{\hat{x}}) = -\hat{x}_n + \min(p_i) \sum_{i=1}^{n-1} \hat{x}_i^2 + \beta = 0 \quad (40)$$

zwei Rotationsparaboloiden, die das approximierende Paraboloid (Gl.(37)) und in der Umgebung des Approximationspunktes auch die approximierende Fläche Gl.(28) mit $g(\underline{x}) \rightarrow g(\underline{\hat{x}})$ zwischen sich einschließen. Die damit gewonnenen neuen Grenzen für die Versagenswahrscheinlichkeit P_F^R

$$\min P_F^R = \int_{g_{R, \max}(\underline{\hat{x}}) < 0} \varphi(\underline{\hat{x}}) d\underline{\hat{x}} \leq P_F \leq \max P_F^R = \int_{g_{R, \min}(\underline{\hat{x}}) < 0} \varphi(\underline{\hat{x}}) d\underline{\hat{x}} \quad (41)$$

liegen innerhalb der mit den Gl.(17) und (27) angegebenen Grenzen.

In Bild 5 ist die Approximation der Grenzzustandsfläche durch ein Paraboloid schematisch dargestellt. Es sei bemerkt, daß ähnlich geartete Schätzungen auch mit den Normalkrümmungen der Grenzzustandsfläche im Approximationspunkt gewonnen werden können.

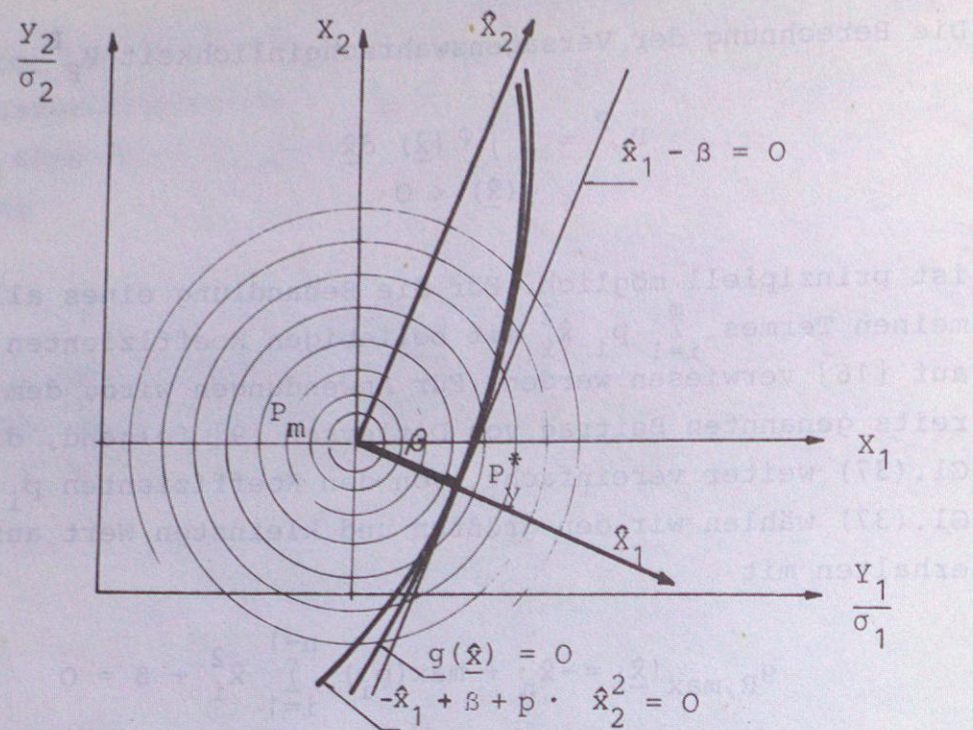


Bild 5: Approximation durch ein Paraboloid

Dann kann jedoch nicht mehr mit Sicherheit gesagt werden, ob die so gefundenen Paraboloid die wahre Fläche in der Umgebung des Approximationspunktes voll einschließen. Weiter kann eine einzige Schätzung der Versagenswahrscheinlichkeit nach Bestimmung der mittleren Hauptkrümmung für ein Rotationsparaboloid erhalten werden. Es ist beispielsweise

$$p = \frac{1}{n-1} \cdot \sum_{i=1}^{n-1} p_i$$

3.2.1.2 Berechnung der Versagenswahrscheinlichkeit P_F^R

Für Gl.(39) bzw. Gl.(40) soll formal der Ausdruck

$$g_R(\hat{x}) = -\hat{x}_n + \beta + p \cdot \tilde{x} = 0 \quad (42)$$

geschrieben werden. In Gl.(42) bezeichnet $\tilde{x} = \sum_{i=1}^{n-1} \hat{x}_i^2$ eine chi-quadratverteilte Zufallsvariable (\hat{x}_i sind standard-

normalverteilte Zufallsvariablen) und $p = \min(p_i) \vee \max(p_i)$ charakterisiert die Lage (sign(p)) und Öffnungsweite ($|p|$) des betrachteten Rotationsparaboloids.

Aus Gl.(42) folgt

$$-\frac{1}{p} \hat{x}_n + \frac{1}{p} \beta + \tilde{x} = 0 \quad (43)$$

und

$$w + \tilde{x} = 0 \quad (44)$$

mit

$$w = -\frac{1}{p} \hat{x}_n + \frac{1}{p} \beta \quad (45)$$

Wir setzen

$$w + \tilde{x} = T \quad (46)$$

und erhalten dafür die Verteilungsfunktion

$$F(T) = \int_0^{+\infty} \int_{-\infty}^{t-\tilde{x}} f_{\tilde{x}}(\tilde{x}) f_W(w) dw d\tilde{x} \quad (47)$$

Diese Verteilungsfunktion wird im folgenden "parabolische Chi-Quadratverteilung" genannt.

Die Berechnung der Versagenswahrscheinlichkeit P_F^R führt auf den Ausdruck

$$P_F^R = P((W+\tilde{X}) < 0) = \int_0^{\infty} \int_{-\infty}^{-\tilde{x}} f_{\tilde{x}}(\tilde{x}) f_W(w) dw \cdot d\tilde{x} \quad (48)$$

Um Gl.(48) zu vereinfachen, transformieren wir die normalverteilte Zufallsvariable W in Gl.(45) über die Beziehung

$$\hat{w} = \frac{w - m_w}{\sigma_w} \quad (49)$$

mit (nach Gl.(45))

$$m_w = \frac{1}{p} \cdot (\beta - E[\hat{X}_n]) = \frac{1}{p} \beta \quad (50)$$

und

$$\sigma_w^2 = \frac{1}{p^2} \cdot \sigma^2[\hat{X}_n] = \frac{1}{p^2}$$

auf die standard-normalverteilte Zufallsvariable

$$\hat{W} = p \cdot W - \beta \quad (51)$$

Damit vereinfacht sich Gl.(48) zu

$$P_F^R = \int_0^\infty \phi(-(p \cdot \tilde{x} + \beta)) \cdot f_{\tilde{x}}(\tilde{x}) d\tilde{x} \quad (52)$$

mit

$$f_{\tilde{x}}(\tilde{x}) = \frac{1}{2^{\frac{n-1}{2}} \Gamma(\frac{n-1}{2})} \cdot \tilde{x}^{\frac{(n-1)}{2} - 1} \exp(-\frac{1}{2} \tilde{x}) \quad (53)$$

als Dichtefunktion der Chi-Quadratverteilung mit (n-1) Freiheitsgraden.

Das Integral in Gl.(52) kann mit einer der bekannten Quadraturformeln zur numerischen Berechnung von Integralen unter Benutzung von geeigneten Entwicklungen der standardisierten Normalverteilung $\phi(\cdot)$ berechnet werden.

Bild 6 veranschaulicht schematisch die Integration in Gl.(52).

Das Verhalten der mit der parabolischen-Chi-Quadratverteilung errechneten Werte für die Versagenswahrscheinlichkeit ist in Bild 7 dargestellt. Offensichtlich gehen für $p = 0$ (d.h. Krümmung = 0) alle Kurven durch den zugehörigen Wert $\phi(-\beta)$. Es gilt für konvex sicheren Bereich

$$p \rightarrow -\infty \Rightarrow P_F^R \rightarrow 1$$

und für konvex unsicheren Bereich

$$p \rightarrow +\infty \Rightarrow P_F^R \rightarrow 0$$

Für große Werte β konvergiert die Versagenswahrscheinlichkeit schneller gegen die Grenzen als für kleine Werte β .

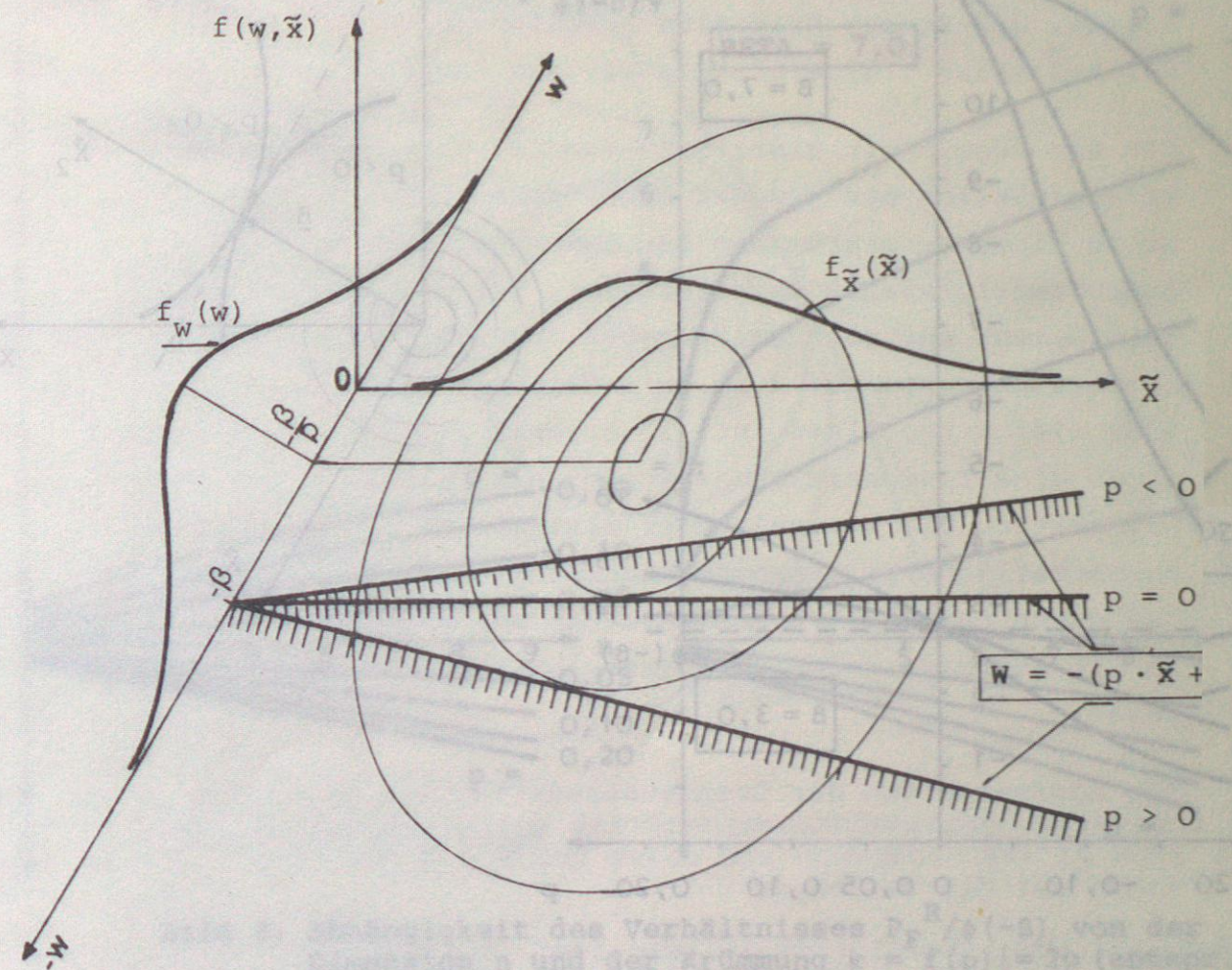


Bild 6: Darstellung des Integrationsbereiches

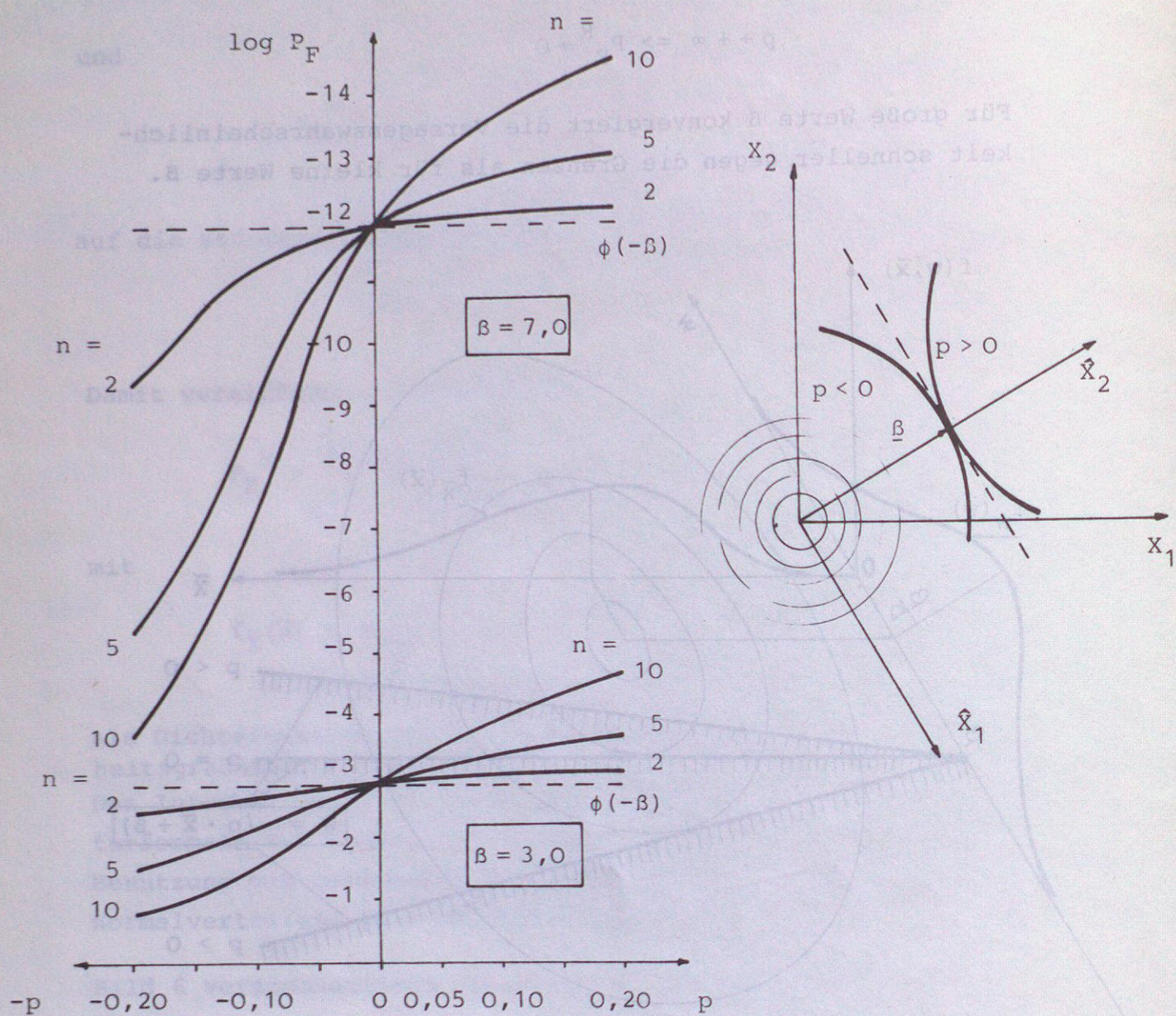


Bild 7: Versagenswahrscheinlichkeit P_F (Parabolische-Chi-Quadratverteilung) in Abhängigkeit von dem Koeffizienten p , dem Freiheitsgrad n und von β .

In Bild 8 ist die Abweichung der Versagenswahrscheinlichkeit P_F^R von $\phi(-\beta)$ in einem normierten Diagramm aufgetragen. Es ist zu sehen, daß die Abweichung mit zunehmender Krümmung und zunehmendem Freiheitsgrad (Anzahl der Basisvariablen) der Versagensfunktion anwächst.

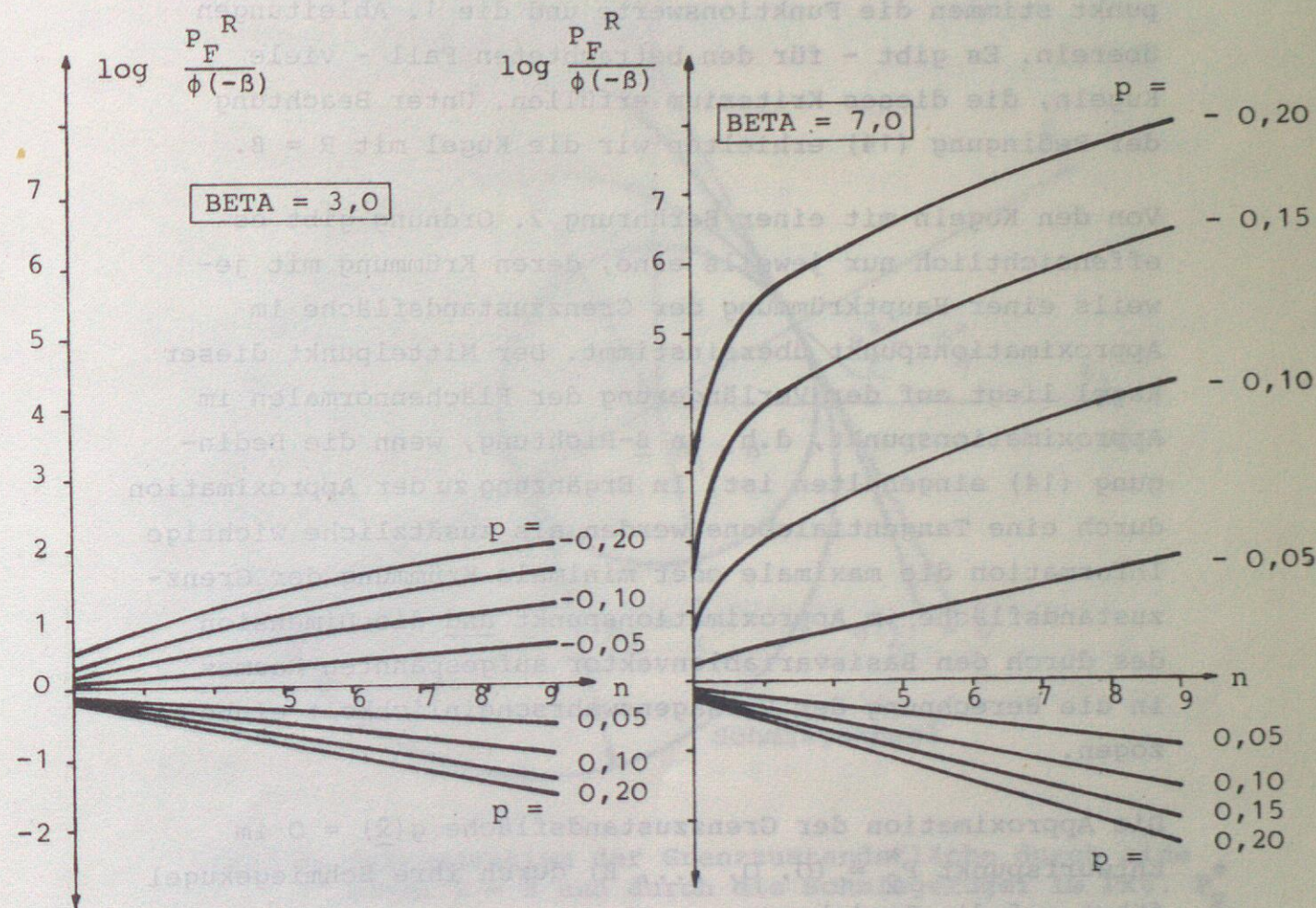


Bild 8: Abhängigkeit des Verhältnisses $P_F^R / \phi(-\beta)$ von der Dimension n und der Krümmung $\kappa = f(p) [= 2p \text{ (entspr. (42))}]$

In Anhang A 2 ist Gl.(52) für $\beta = 2 (0,5) 7, \pm p = 1/2R$; $R = \beta(2) 10, 12, 15, 20, 40, 100, 200, 1000$ und $n = 1(1) 20(2) 20(5) 40, 50$ tabellarisch dargestellt.

3.2.2 Approximation der Grenz Zustandsgleichung durch ihre Schmiegekugel

3.2.2.1 Ermittlung der Grenz Zustandsgleichung

Im Falle der Kugel mit $R = \beta$ liegt eine Berührung 1. Ordnung zwischen Kugel und Kurve vor, d.h. im Approximationspunkt stimmen die Funktionswerte und die 1. Ableitungen überein. Es gibt - für den betrachteten Fall - viele Kugeln, die dieses Kriterium erfüllen. Unter Beachtung der Bedingung (14) erhielten wir die Kugel mit $R = \beta$.

Von den Kugeln mit einer Berührung 2. Ordnung gibt es offensichtlich nur jeweils eine, deren Krümmung mit jeweils einer Hauptkrümmung der Grenz Zustandsfläche im Approximationspunkt übereinstimmt. Der Mittelpunkt dieser Kugel liegt auf der Verlängerung der Flächennormalen im Approximationspunkt, d.h. in β -Richtung, wenn die Bedingung (14) eingehalten ist. In Ergänzung zu der Approximation durch eine Tangentialebene werden als zusätzliche wichtige Information die maximale oder minimale Krümmung der Grenz Zustandsfläche im Approximationspunkt und die Dimension des durch den Basisvariablenvektor aufgespannten Raumes in die Berechnung der Versagenswahrscheinlichkeit einbezogen.

Die Approximation der Grenz Zustandsfläche $g(\underline{\hat{x}}) = 0$ im Entwurfspunkt $P_{\underline{\hat{x}}}^* = (0, 0, \dots, \beta)$ durch ihre Schmiegekugel führt auf die Beziehung

$$1) \quad g_k(\underline{\hat{x}}) = \left[\hat{x}_n + (R-\beta) \right]^2 + \sum_{i=1}^{n-1} \hat{x}_i^2 - R^2 = 0 \quad (54)$$

für den konvexen Bereich $g(\underline{y}) \geq 0$ und

$$g_k(\underline{\hat{x}}) = \left[\hat{x}_n - (R+\beta) \right]^2 + \sum_{i=1}^{n-1} \hat{x}_i^2 - R^2 = 0 \quad (55)$$

für den konvexen Bereich $g(\underline{y}) \leq 0$. Die Form (55) hat aller-

1) In den Gl.(54), (55) und den damit zusammenhängenden Ausführungen ist R als positive Größe aufgefaßt, d.h. $R = \left| \frac{1}{\kappa} \right|$.

dings nur theoretische Bedeutung, da geschlossene Versagensbereiche physikalisch kaum vorstellbar sind.

Bild 9 zeigt die schematische Darstellung der Approximation der Grenz Zustandsfläche entsprechend Gl.(18) und Gl.(54).

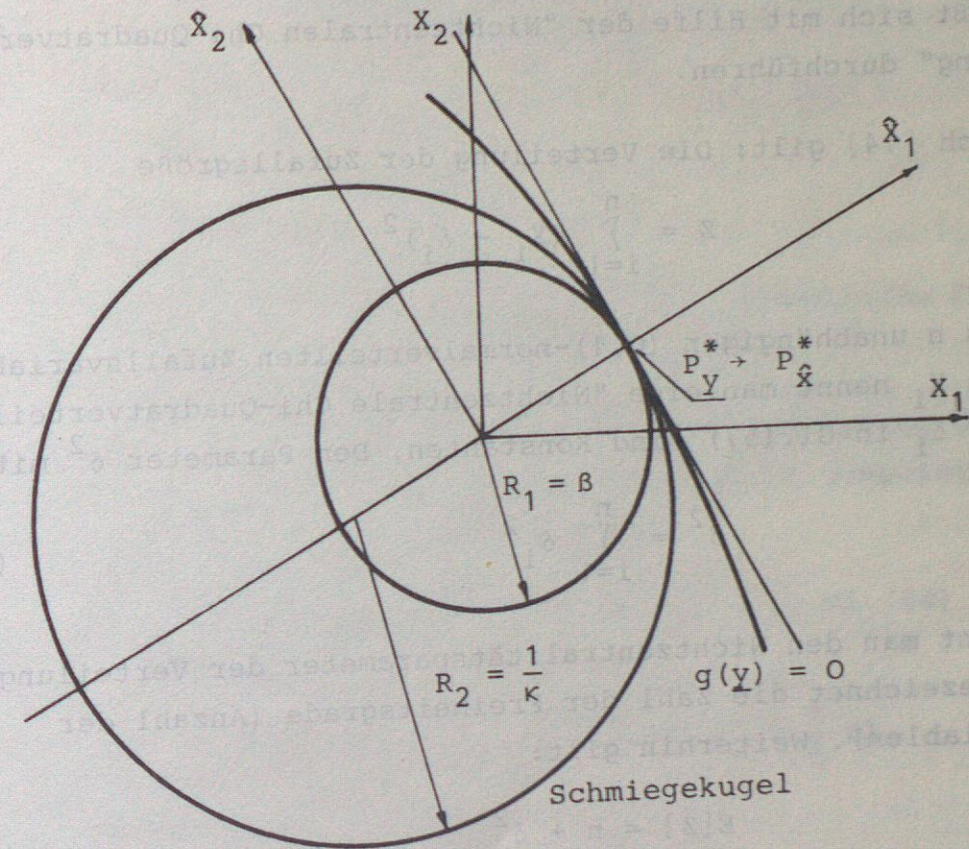


Bild 9: Approximation der Grenz Zustandsfläche durch eine Kugel $R = \beta$ und durch die Schmiegekugel im Pkt. P_x^*

Der Radius R aus Gl.(54) bzw. Gl.(55) ist der kleinste oder größte Hauptkrümmungsradius der Grenz Zustandsfläche $g(\underline{\hat{x}}) = 0$ im Entwurfspunkt $P_{\underline{\hat{x}}}^* = (0, 0, \dots, \beta)$. Für die Ermittlung des Krümmungsradius $R = \max(R_i) \vee \min(R_i)$ sei nochmals auf die Invarianzeigenschaften bez. des Koordinatensystems hingewiesen.

3.2.2.2 Berechnung der Versagenswahrscheinlichkeit P_F^K

Die Berechnung der Versagenswahrscheinlichkeit

$$P_F^K = \int_{g_K(\hat{x}) > 0} \varphi(\hat{x}) d\hat{x} \quad (56)$$

läßt sich mit Hilfe der "Nichtzentralen Chi-Quadratverteilung" durchführen.

Nach [14] gilt: Die Verteilung der Zufallsgröße

$$Z = \sum_{i=1}^n (X_i - \delta_i)^2 \quad (57)$$

aus n unabhängigen (0,1)-normalverteilten Zufallsvariablen X_i nennt man eine "Nichtzentrale Chi-Quadratverteilung". Die δ_i in Gl.(57) sind Konstanten. Den Parameter δ^2 mit

$$\delta^2 = \sum_{i=1}^n \delta_i^2 \quad (58)$$

nennt man den Nichtzentralitätsparameter der Verteilung; n bezeichnet die Zahl der Freiheitsgrade (Anzahl der Variablen). Weiterhin gilt:

$$E[Z] = n + \delta^2 \quad (59)$$

und

$$\text{Var}[Z] = 2n + 4\delta^2 \quad (60)$$

Entsprechend z.B. Gl.(54) können wir schreiben:

$$Z = \sum_{i=1}^{n-1} \hat{X}_i^2 + [\hat{X}_n - (\beta-R)]^2 \quad (61)$$

mit dem Nichtzentralitätsparameter

$$\delta^2 = (\beta-R)^2 \quad (62)$$

und n Freiheitsgraden.

Mit der Dichte der nichtzentralen Chi-Quadratverteilung [12]

$$f_{n,\delta}(z) = \exp(-\frac{\delta^2}{2}) \sum_{v=0}^{\infty} \frac{(\frac{\delta^2}{2})^v}{v!} \cdot f_{2v+n}(z) \quad (63)$$

läßt sich die Versagenswahrscheinlichkeit P_F^K über die Beziehung

$$P_F^K = 1 - P(Z \leq R^2) = 1 - \int_0^{R^2} f_{n,\delta}(z) dz \quad (64)$$

berechnen.

In Gl.(63) bezeichnet $f_{2v+n}(z)$ die gewöhnliche Chi-Quadratverteilung mit $(2v+n)$ Freiheitsgraden.

Für praktische Berechnungen ist die Auswertung der Gl.(64) ziemlich aufwendig. Man kann jedoch auf computergerechte Entwicklungen zurückgreifen [13].

Für geradzahliges n läßt sich nach [12] Gl.(64) auf den Ausdruck

$$P_F^K = 1 - P(Z < z) = 1 - \phi_p(U - V \cong \frac{1}{2} n) \quad (65)$$

zurückführen.

In Gl.(65) bezeichnen U und V unabhängige Poisson-Variable mit

$$E[U] = \frac{1}{2} z = \frac{1}{2} R^2 \quad (66)$$

und

$$E[V] = \frac{1}{2} \delta^2 \quad (67)$$

Mit Gl.(61) läßt sich Gl.(65) wie folgt entwickeln

$$P_F^K = 1 - \sum_{j=0}^{\infty} \frac{1}{j!} \exp(-\frac{1}{2} \delta^2) \cdot (\frac{1}{2} \delta^2)^j (1 - \frac{1}{2} R^2)^{n+j-1} \sum_{k=0}^{\infty} \frac{1}{k!} \exp(-\frac{1}{2} R^2) \cdot (\frac{1}{2} R^2)^k \quad (68)$$

$$n = 2, 4, 6, 8, \dots$$

Gl.(68) lässt sich schon mit einem programmierbaren Taschenrechner bequem auswerten.

Im Anhang A 3 ist Gl.(64) für

$$\beta = 2(0.5) 5,$$

$$R = \beta(2) 10, 12, 15, 20, 40, 100, 200, 1000$$

$$\text{und } n = 1(1) 10 (2) 20 (5) 40, 50$$

tabellarisch dargestellt. Das folgende Bild 10 zeigt schematisch, entsprechend Gl.(39) und Gl.(54) verschiedene Approximationen einer Grenzzustandsfläche und die jeweils dazugehörigen Versagenswahrscheinlichkeiten P_F .

3.2.3 Approximation der Grenzzustandsgleichung durch ein zweischaliges Rotationshyperboloid bzw. durch ein Rotationsellipsoid

Das zweischalige Rotationshyperboloid und das Rotationsellipsoid sind zwei weitere mögliche Formen der Approximation der Grenzzustandsfläche durch rotationssymmetrische Gebilde. Es sei vorweggenommen, daß die Entwicklung der Gleichung zur Berechnung der Versagenswahrscheinlichkeit auf einen Ausdruck führt, der ebensogut die (quadratische) Normalform der Taylorentwicklung 2. Ordnung der Grenzzustandsfläche $g(\underline{y}) = 0$, Gl.(28), verarbeitet [16]. Die Approximation der Grenzzustandsfläche durch ein zweischaliges Rotationshyperboloid bzw. durch ein Rotationsellipsoid ist deshalb unzuweckmäßig und soll im Detail hier nicht weiter verfolgt werden. Der Anhang A 1 enthält dazu einige weitere allgemeine Betrachtungen.

4. Ein verbesserter Sicherheitsindex

Der oft als Hasofer-Lind-Index bezeichnete Sicherheitsindex β charakterisiert im normierten Raum der Basisvariablen die kürzeste Entfernung der Grenzzustandsfläche vom Punkt der Mittelwerte der Basisvariablen. Wie bereits in [8] gezeigt, ist er bezüglich der Versagenswahrscheinlichkeit unterschiedlich informativ - insbesondere dann, wenn

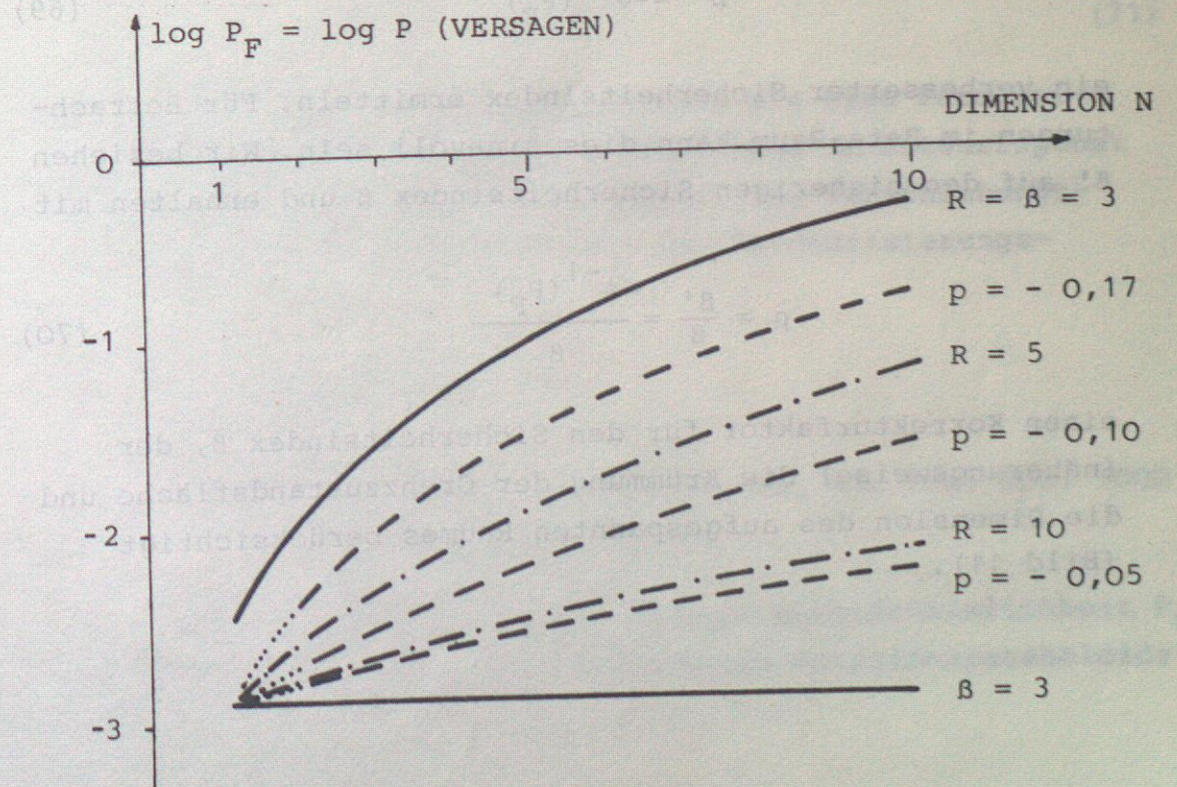
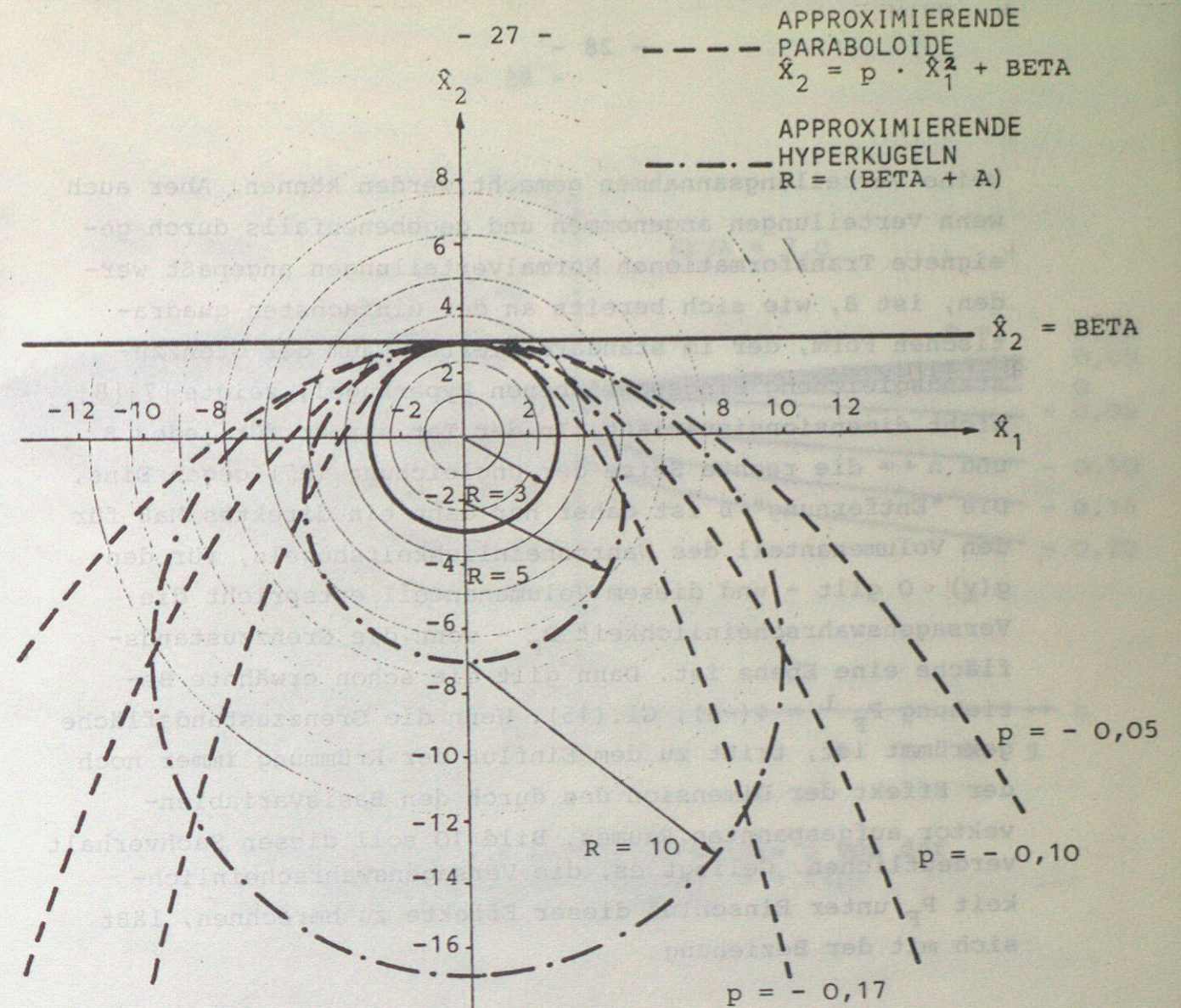


Bild 10: Versagenswahrscheinlichkeit für verschiedene n und unterschiedliche Approximationen (Beta = 3,0)

keine Verteilungsannahmen gemacht werden können. Aber auch wenn Verteilungen angenommen und gegebenenfalls durch geeignete Transformationen Normalverteilungen angepaßt werden, ist β , wie sich bereits an der einfachsten quadratischen Form, der im standardisierten Raum der Grenzzustandsgleichung eingeschriebenen Hyperkugel, zeigte [7][8], nicht dimensionsinvariant. In der Tat strebt für jedes β und $n \rightarrow \infty$ die rechte Seite der Ungleichung (27) gegen Eins. Die "Entfernung" β ist daher nur dann ein direktes Maß für den Volumenanteil des Wahrscheinlichkeitshügels, für den $g(\underline{y}) < 0$ gilt - und diesem Volumenanteil entspricht die Versagenswahrscheinlichkeit P_F - wenn die Grenzzustandsfläche eine Ebene ist. Dann gilt die schon erwähnte Beziehung $P_F^L = \Phi(-\beta)$, Gl.(15). Wenn die Grenzzustandsfläche gekrümmt ist, tritt zu dem Einfluß der Krümmung immer noch der Effekt der Dimension des durch den Basisvariablenvektor aufgespannten Raumes. Bild 10 soll diesen Sachverhalt verdeutlichen. Gelingt es, die Versagenswahrscheinlichkeit P_F unter Einschluß dieser Effekte zu berechnen, läßt sich mit der Beziehung

$$\beta' = -\Phi^{-1}(P_F) \quad (69)$$

ein verbesserter Sicherheitsindex ermitteln. Für Betrachtungen im Beta-Raum kann dies sinnvoll sein. Wir beziehen β' auf den bisherigen Sicherheitsindex β und erhalten mit

$$\rho = \frac{\beta'}{\beta} = \frac{-\Phi^{-1}(P_F)}{\beta} \quad (70)$$

einen Korrekturfaktor für den Sicherheitsindex β , der (näherungsweise) die Krümmung der Grenzzustandsfläche und die Dimension des aufgespannten Raumes berücksichtigt (Bild 11).

Bild 10: Versagenswahrscheinlichkeit für verschiedene n und unterschiedliche Approximationen (Beta = 3,0)

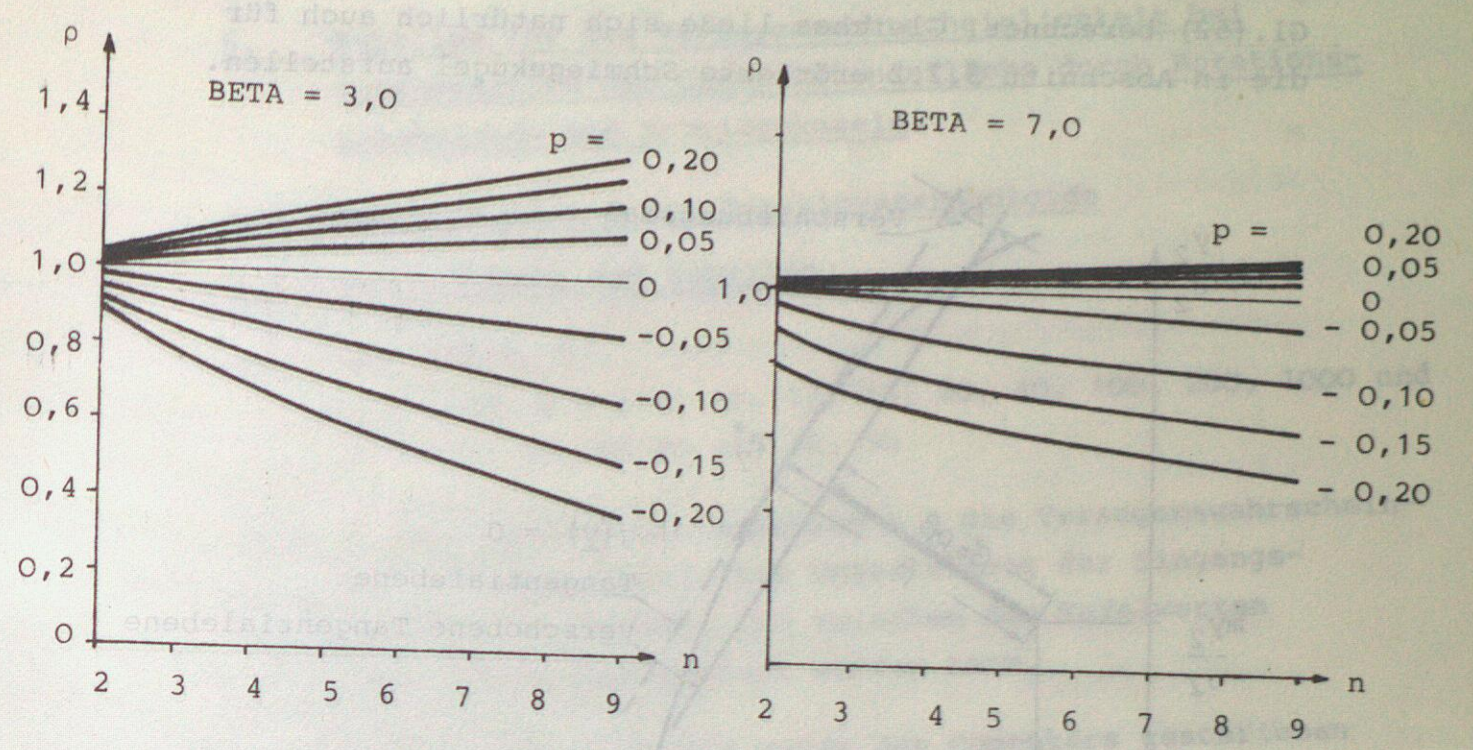


Bild 11: Abhängigkeit des Korrekturfaktors ρ von der Dimension n und der Krümmung $\kappa = f(p)$ [= $2p$ (entsprechend Gl.(42))]

Die Beziehung

$$\beta' = \rho \cdot \beta \quad (71)$$

läßt sich geometrisch interpretieren als eine Parallelverschiebung der die Grenzzustandsfläche im Entwurfspunkt P_y^* approximierenden Tangentialebene. Das Verschiebungsmaß Δ (Bild 12) veranschaulicht den "Linearisierungsfehler".

Im Anhang 4 ist Gl.(70) für

- $\beta = 2(0.5) 7,$
- $p = 1/2R; R = \beta(2) 10, 12, 15, 20, 40, 100, 200, 1000$
- und $n = 1(1) 10 (2) 20 (5) 40, 50$

tabellarisch dargestellt. Die Versagenswahrscheinlichkeit P_F wurde mit Hilfe eines approximierenden Rotationsparaboloids

Gl.(52) berechnet. Gleiches ließe sich natürlich auch für die in Abschnitt 3.2.2 erörterte Schmiegekugel aufstellen.

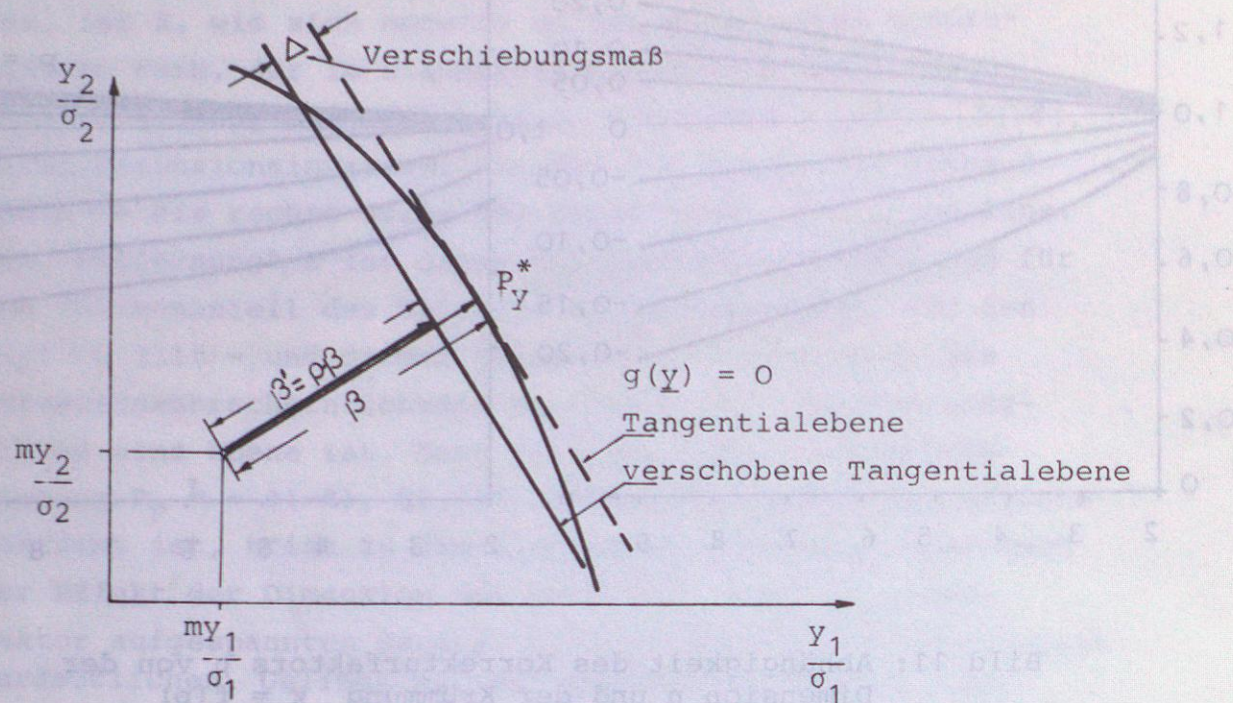


Bild 12: Darstellung des "Linearisierungsfehlers" als Verschiebungsmaß Δ

5. Tabellen für die Versagenswahrscheinlichkeit bei Approximation der Grenzzustandsfläche durch Rotationsparaboloide und Schmiegekugeln

5.1 Approximation durch Rotationsparaboloide

5.1.1 Beschreibung der Tabellen

Für $\beta = 2(0.5) 7$,
 $\pm p = 1/2R$; $R = \beta(2) 10, 12, 15, 20, 40, 100, 200, 1000$ und
 $n = 1(1) 10 (2) 20 (5) 40, 50$

wird in den Tabellen des Anhanges A 2 die Versagenswahrscheinlichkeit P_F^R dargestellt. Die Unterteilung der Eingangsparameter ist so gewählt, daß zwischen den Tafelwerten möglichst linear interpoliert werden kann.

Da die Tabellen direkt mit Hilfe des Computers geschrieben wurden, ist folgendes zu beachten:

- Zahlen kleiner Null sind ohne Null vor dem Dezimalpunkt geschrieben,
- bei Zahlen in Exponentialdarstellung ist der Buchstabe E identisch mit der Basis 10;
 z.B. $P_F = .522 E - 01 = 0.522 \cdot 10^{-1}$

5.1.2 Berechnung der Tabellen

Die Versagenswahrscheinlichkeit P_F in den Tabellen des Anhanges A 2 wurde mit Gl.(52) und Gl.(53)

$$P_F^R = \frac{1}{2^{\frac{m}{2}} \cdot \Gamma(\frac{m}{2})} \int_0^{\infty} \phi(-(p \cdot \tilde{x} + \beta)) \cdot \tilde{x}^{(\frac{m}{2}-1)} \cdot \exp(-\frac{1}{2}\tilde{x}) d\tilde{x} \quad (A 2.1)$$

ermittelt.

Das Integral in (A 2.1) wurde mit der Simpson'schen Näherungsformel zur Berechnung von Integralen unter Benutzung einer geeigneten Entwicklung der standardisierten Normalverteilung $\phi(\cdot)$ berechnet (siehe [10]).

5.2 Approximation durch Schmiegekugeln

5.2.1 Beschreibung der Tabellen

Für $\beta = 2(0.5) 5$
 $R = \beta(2) 10, 12, 15, 20, 40, 100, 200, 1000$ und
 $n = 1(1) 10 (2) 20 (5) 40, 50$

wird in den Tabellen des Anhangs A 3 das Komplement der Verteilungsfunktion der Nichtzentralen-Chi-Quadratverteilung - dem entspricht die Versagenswahrscheinlichkeit P_F - dargestellt. Bezüglich der Unterteilung der Eingangsparameter und der Zahlendarstellung wird auf Abschnitt 5.1.1 verwiesen.

5.2.2 Berechnung der Tabellen

Zur Berechnung der Tabellenwerte wurden die in [13] beschriebenen Programme verwendet.

5.3 Korrekturfaktor ρ für den Sicherheitsindex β

5.3.1 Beschreibung der Tabellen

Für $\beta = 2(0.5) 7,$
 $p = 1/2R; R = \beta(2) 10, 12, 15, 20, 40, 100, 200, 1000$ und
 $n = 1(1) 10 (2) 20 (5) 40, 50$

wird in den Tabellen des Anhangs A 4 der Korrekturfaktor für die Berechnung eines verbesserten Sicherheitsindex dargestellt. Bezüglich der Unterteilung der Eingangsparameter und der Zahlendarstellung wird auf Abschnitt 5.1.1 verwiesen.

5.3.2 Berechnung der Tabellen

Der Korrekturfaktor ρ in den Tabellen des Anhangs A 4 wurde mit Gl. (70)

$$\rho = \frac{-\Phi^{-1}(P_F)}{\beta} \quad (A 4.1)$$

berechnet. Die Versagenswahrscheinlichkeit P_F in Gl. (A 4.1) wurde mit Gl. (A 2.1) - approximierendes Rotationsparaboloid - ermittelt.

Für Versagenswahrscheinlichkeiten $P_F > 0.5$ ist die Ermittlung eines Korrekturfaktors für die Berechnung eines verbesserten Sicherheitsindex nicht mehr sinnvoll. Entsprechende Werte $\rho < 0$ sind deshalb in den Tabellen nicht ausgedruckt.

6. Anwendungsbeispiel

6.1 Beschreibung

Ein Stab wird zentrisch durch Zugkräfte L beansprucht (Bild 13). Die Werte für die Festigkeit und den Stabdurchmesser sind wie folgt zufallsverteilt:

Durchmesser: Normalverteilung

$$\bar{d} = 3,0 \text{ cm}$$

$$\sigma_d = 0,3 \text{ cm}$$

$$V_d = 10 \%$$

Festigkeit: Normalverteilung

$$\bar{f} = 2900 \text{ kp cm}^{-2}$$

$$\sigma_f = 250 \text{ kp cm}^{-2}$$

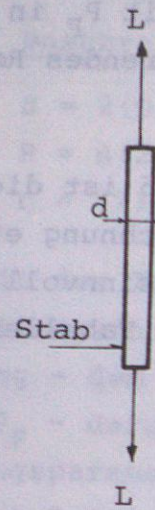
$$V_f = 8,6 \%$$

Die Grenzzustandsgleichung erhält die Form

$$g(f, d) = Z = \frac{1}{4} \pi d^2 \cdot f - L = 0 \quad (72)$$

Die Grenzzustandsgleichung ist nichtlinear. Für verschiedene Werte L wurden der Sicherheitsindex und die Versagenswahrscheinlichkeit berechnet. Bild 14 zeigt die g -Funktion für verschiedene Werte L . Dem Sicherheitsindex β entspricht die kürzeste Entfernung vom Punkt der Mittelwerte an die jeweilige Kurve. Diesen β -Werten (Spalte 4, Bild 13) ent-

Zugstab:



$$g(f, d) = z = \frac{\pi \cdot d^2}{4} \cdot f - L = 0$$

d: Durchmesser

NV, $\bar{d} = 3,0 \text{ cm}$,

$\sigma_d = 0,3 \text{ cm}$

$V_d = 10 \%$

f: Materialfestigkeit

NV, $\bar{f} = 2900 \text{ kp cm}^{-2}$

$\sigma_f = 250 \text{ kp cm}^{-2}$

$V_f = 8,6 \%$

L: Last

L	d*	f*	β	$\phi(-\beta)$	P_F^R	$P_F^R / \phi(-\beta)$	R
kp	cm	kp cm ⁻²					
1	2	3	4	5	6	7	8
12750	2,44	2726	2,00	$2,3 \cdot 10^{-2}$	$2,4 \cdot 10^{-2}$	1,04	23,7
7500	1,91	2624	3,80	$7,2 \cdot 10^{-6}$	$1,2 \cdot 10^{-4}$	1,67	26,2
5000	1,56	2600	4,93	$4,1 \cdot 10^{-7}$	$8,0 \cdot 10^{-7}$	1,95	29,9
1750	0,92	2650	7,01	$1,2 \cdot 10^{-12}$	$1,4 \cdot 10^{-12}$	1,17	49,8
$\bar{d} = 2,94, \sigma_d = 0,3 \text{ cm}, V_d = 10,2 \%$ $\bar{f} = 1700 \text{ kp cm}^{-2}, \sigma_f = 250 \text{ kp cm}^{-2}, V_f = 14,7 \%$							
5000	2,24	1271	2,90	$1,9 \cdot 10^{-3}$	$2,8 \cdot 10^{-3}$	1,47	8,8
1750	2,17	475	5,54	$1,5 \cdot 10^{-8}$	$4,1 \cdot 10^{-8}$	2,73	6,6
500	2,81	81	6,49	$4,3 \cdot 10^{-11}$	$4,4 \cdot 10^{-11}$	1,02	45,6

Bild 13

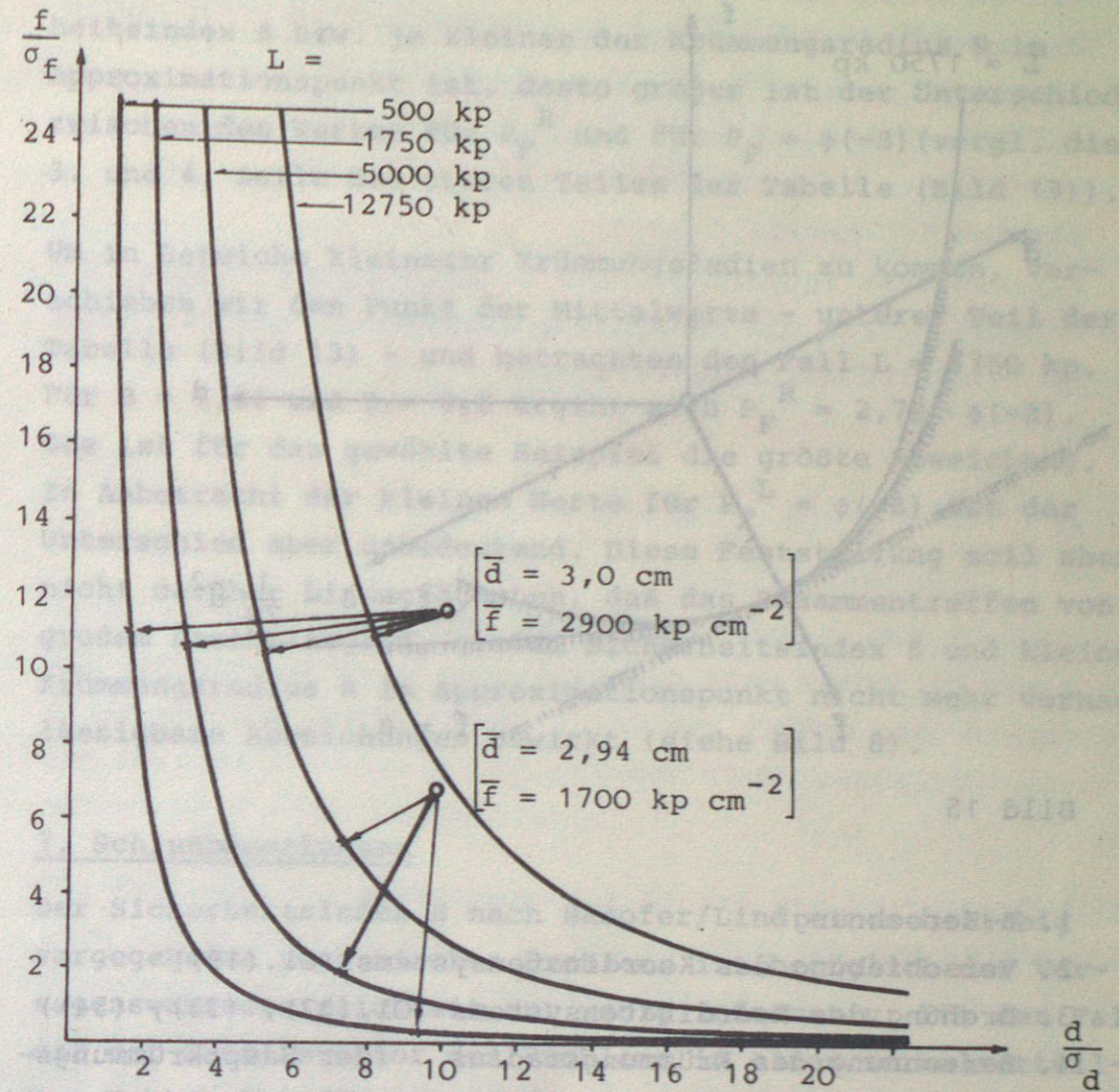


Bild 14

spricht die in Spalte 5 dargestellte Versagenswahrscheinlichkeit $P_F = \phi(-\beta)$. Spalte 8 enthält den Krümmungsradius im Approximationspunkt $[d^*, f^*]$ der jeweiligen Kurve. Mit Hilfe der Tafeln für die parabolische Chi-Quadratverteilung können die zugehörigen Werte für die Versagenswahrscheinlichkeit P_F^R in Spalte 6 bestimmt werden.

Mit Bild 15 soll noch einmal das methodische Vorgehen anschaulich dargestellt werden:

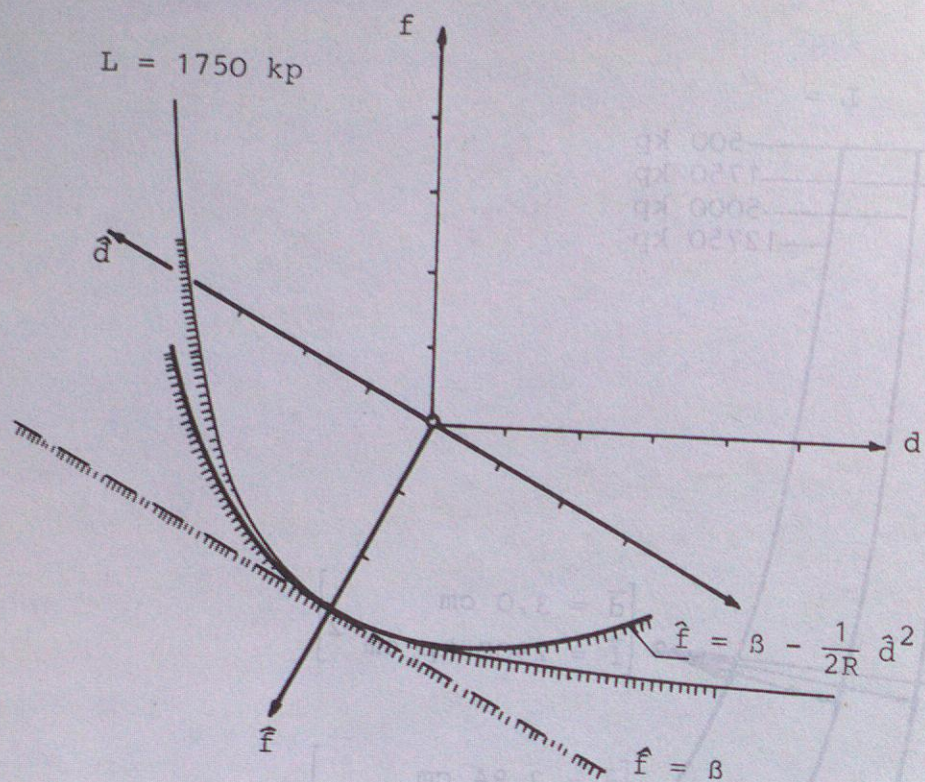


Bild 15

1. β -Berechnung
2. Verschiebung des Koordinatensystems (Gl. (19))
3. Drehung des Koordinatensystems (Gl. (32), (33), (34))
4. Berechnung des Krümmungsradius (der Hauptkrümmungsradien im $(2+i)$ -dimensionalen Fall ($i = 1, 2, \dots, n$))
5. Approximation durch die Parabel $\hat{f} = \beta - \frac{1}{2R} \hat{d}^2$ (Paraboloid im $(2+i)$ -dimensionalen Fall)
6. Berechnung der Versagenswahrscheinlichkeit mit Hilfe der parabolischen Chi-Quadratverteilung.

6.2 Auswertung

In der Spalte 7 (Bild 13) ist der Quotient $P_F^R / \phi(-\beta)$ dargestellt. Es ist zu erkennen, daß die Abweichungen der Werte für P_F^R von den Werten für $\phi(-\beta)$ bei gleichem Freiheitsgrad sowohl von dem Krümmungsradius im Approximationspunkt als auch vom Sicherheitsindex β abhängen. Je größer der Sicher-

heitsindex β bzw. je kleiner der Krümmungsradius R im Approximationspunkt ist, desto größer ist der Unterschied zwischen den Werten für P_F^R und für $P_F = \phi(-\beta)$ (vergl. die 3. und 4. Zeile des oberen Teiles der Tabelle (Bild 13)). Um in Bereiche kleinerer Krümmungsradien zu kommen, verschieben wir den Punkt der Mittelwerte - unterer Teil der Tabelle (Bild 13) - und betrachten den Fall $L = 1750$ kp. Für $\beta = 5,54$ und $R = 6,6$ ergibt sich $P_F^R = 2,73 \cdot \phi(-\beta)$. Das ist für das gewählte Beispiel die größte Abweichung. In Anbetracht der kleinen Werte für $P_F^L = \phi(-\beta)$ ist der Unterschied aber unbedeutend. Diese Feststellung soll aber nicht darüber hinwegtäuschen, daß das Zusammentreffen von großem Freiheitsgrad, großem Sicherheitsindex β und kleinem Krümmungsradius R im Approximationspunkt nicht mehr vernachlässigbare Abweichungen bewirkt (siehe Bild 8).

7. Schlußbemerkungen

Der Sicherheitsindex β nach Hasofer/Lind eines beliebig vorgegebenen mechanischen Problems ist bezüglich der Versagenswahrscheinlichkeit nur wenig informativ. Für den Fall, daß der Zufallsvektor des Problems in einen normalverteilten Vektor überführt werden kann, können für rotations-symmetrische, quadratische Näherungen der tatsächlichen Grenzzustandsfunktion im Approximationspunkt bedeutende Verbesserungen erreicht werden. Voraussetzung ist, daß die Grenzzustandsbedingung im Approximationspunkt stetig und zweimal differenzierbar ist. Formeln für den Wahrscheinlichkeitsinhalt von Rotationsparaboloiden bzw. von Hyperkugeln mit gleicher Krümmung im Approximationspunkt werden abgeleitet und Tabellen für den Zusammenhang dieser Wahrscheinlichkeit mit dem Sicherheitsindex β und der Krümmung $\kappa = \frac{1}{R} = f(p)$ angegeben. Zusätzliche Betrachtungen für Rotationsellipsoide und zweisechalige Rotationshyperboloide werden angestellt.

Ein verbesserter Sicherheitsindex β' wird vorgeschlagen. Die Anwendung der Methode ist vornehmlich bei stark nicht-linearen Grenzzustandsbedingungen oder stark von der Normalverteilung abweichenden Komponenten des Zufallsvektors angebracht. Es wird vorgeschlagen, die Methode als Zuverlässigkeitstheorie 2. Ordnung zu bezeichnen. Dabei wurden als einfache Sonderfälle nur rotationssymmetrische Fälle behandelt. Für die Behandlung allgemeiner quadratischer Formeln wird auf [16] verwiesen.

Anhang A 1: Betrachtungen zur Approximation der Grenzzustandsgleichung durch ein zweischaliges Rotationshyperboloid bzw. durch ein Rotationsellipsoid

Für die Berechnung der Versagenswahrscheinlichkeit erhalten wir formal den Ausdruck

$$P_f = P(Q > 1) = \bar{F}_Q(1) \quad (A 1.1)$$

mit

$$Q = \frac{\gamma_n}{C} (\hat{x}_n - \lambda_n)^2 + \frac{\gamma}{C} \sum_{i=1}^{n-1} \hat{x}_i^2 \quad (A 1.2)$$

In Gl.(A 1.2) entspricht der Koeffizient γ_n dem Eigenwert der approximierenden quadratischen Form bezüglich der X_n -Achse und der Koeffizient γ ist der größte oder kleinste der übrigen Eigenwerte; λ_n^2 ist der Nichtzentralitätsparameter und C ist eine Konstante.

Die Methoden zur Berechnung der Dichte und Verteilungsfunktion von Q sind in [16, 17, 18] ausführlich beschrieben. Man unterscheidet positive definite Formen ($\gamma_i > 0, (i = 1, 2, \dots, n)$) und indefinite Formen ($\gamma_i \leq 0, (i = 1, 2, \dots, n)$) sowie Formen mit zentralen Variablen ($\lambda_i = 0, (i = 1, 2, \dots, n)$) und Formen mit nichtzentralen Variablen ($\lambda_i \neq 0, (i = 1, 2, \dots, n)$). Am besten aufbereitet sind positiv definite Formen mit zentralen Variablen, aber auch für nichtzentrale Variable finden sich in der Literatur brauchbare numerische Entwicklungen für $F_Q(x)$ bzw. $\bar{F}_Q(x)$. Relativ unhandlich werden die Ansätze für indefinite Formen mit nichtzentralen Variablen. Doch gerade diese Formen sind für Betrachtungen zur Bauwerkszuverlässigkeit von vorrangigem Interesse. Nach [16] ist eine von Imhof [17] angegebene Form für $\bar{F}_Q(x)$ im allgemeinen gut brauchbar. Da aber numerisch integriert werden muß, wird sie für extreme Parameterkombinationen nicht immer voll befriedigen.

Anhang 2

Tafeln für die Versagenswahrscheinlichkeit bei Rotationsparaboloiden (Parabolische Chi-Quadratverteilung)

Table with multiple columns and rows, containing statistical data for failure probability and chi-square distribution.

Annahme A: Betrachtungen zur Approximation des Grenzwertes durch ein zweifaches schiefes Rotationsparaboloid...

Für die Berechnung der Versagenswahrscheinlichkeit erhalten wir formal den Ausdruck

P_f = E[Q] = \int_0^{\infty} Q(x) f(x) dx (A.1.1)

mit

Q(x) = \frac{1}{C} \sum_{i=1}^n \lambda_i x^{2i-1} + \frac{1}{C} \sum_{i=1}^{n-1} \lambda_i x^{2i} (A.1.2)

In Gl. (A.1.2) entspricht der Koeffizient \lambda_n dem Eigenwert der approximierenden quadratischen Form bezüglich der X-Achse...

Die Methoden zur Berechnung der Dichte und Verteilungsfunktion von Q sind in [16, 17, 18] ausführlich beschrieben. Man unterscheidet positive definite Formen (\lambda_i > 0, i=1, 2, ..., n) und indefinite Formen (\lambda_i \le 0, i=1, 2, ..., n) sowie Formen mit zentralen Variablen (\lambda_i = 0, i=1, 2, ..., n) und Formen mit nichtzentralen Variablen (\lambda_i \neq 0, i=1, 2, ..., n).

(parabolische Chi-Quadratverteilung)
 der Rotationsparaboloiden
 Tafeln für die Versagenswahrscheinlichkeit

Anhang 2

TAFEL DER PARABOLISCHEN CHIQUADRATVERTEILUNG

$\phi(0 > Z) = 1 - F(Z; N U E, P, B E T A)$
 $D: = X_N - B E T A + P X$
 $Z: = \frac{D}{\sigma}$
 $N U E: = \text{FREIHEITSGRAD}$
 $P: = \text{PARAMETER DES ROTATIONS PARABOLOIDES}$
 $= \frac{1}{1 + (2 * P)}$
 $R: = \text{KRÜMMUNGSRADIUS}$

B E T A = 2.0

$\phi(-B E T A) = .228 E - 01$

N U E	R	2.0	4.0	6.0	8.0	10.0	13.0	20.0	40.0	100.0	200.0	1000.0
	P	.25	.125	.083	.063	.050	.038	.025	.013	.005	.003	.001
2		.152E-01	.180E-01	.193E-01	.200E-01	.205E-01	.210E-01	.216E-01	.222E-01	.225E-01	.227E-01	.228E-01
3		.997E-02	.140E-01	.161E-01	.174E-01	.183E-01	.192E-01	.203E-01	.215E-01	.222E-01	.225E-01	.227E-01
4		.642E-02	.108E-01	.134E-01	.151E-01	.163E-01	.175E-01	.191E-01	.207E-01	.219E-01	.222E-01	.226E-01
5		.421E-02	.843E-02	.113E-01	.132E-01	.146E-01	.161E-01	.181E-01	.202E-01	.217E-01	.222E-01	.226E-01
6		.270E-02	.650E-02	.938E-02	.115E-01	.130E-01	.147E-01	.170E-01	.196E-01	.214E-01	.220E-01	.226E-01
7		.171E-02	.498E-02	.778E-02	.994E-02	.116E-01	.134E-01	.161E-01	.191E-01	.212E-01	.219E-01	.225E-01
8		.108E-02	.380E-02	.644E-02	.860E-02	.103E-01	.123E-01	.151E-01	.185E-01	.209E-01	.218E-01	.225E-01
9		.676E-03	.289E-02	.532E-02	.743E-02	.917E-02	.112E-01	.133E-01	.179E-01	.206E-01	.216E-01	.225E-01
10		.420E-03	.219E-02	.438E-02	.641E-02	.814E-02	.102E-01	.134E-01	.174E-01	.204E-01	.215E-01	.224E-01
12		.159E-03	.124E-02	.294E-02	.473E-02	.638E-02	.847E-02	.119E-01	.164E-01	.199E-01	.213E-01	.224E-01
14		.584E-04	.690E-03	.196E-02	.347E-02	.497E-02	.699E-02	.105E-01	.154E-01	.194E-01	.210E-01	.223E-01
16		.209E-04	.378E-03	.129E-02	.253E-02	.386E-02	.575E-02	.927E-02	.145E-01	.190E-01	.207E-01	.223E-01
18		.733E-05	.204E-03	.841E-03	.143E-02	.297E-02	.472E-02	.817E-02	.136E-01	.185E-01	.205E-01	.222E-01
20		.251E-05	.109E-03	.543E-03	.131E-02	.228E-02	.385E-02	.718E-02	.128E-01	.181E-01	.203E-01	.222E-01
25		.157E-06	.212E-04	.174E-03	.556E-03	.115E-02	.229E-02	.517E-02	.109E-01	.170E-01	.197E-01	.220E-01
30		.876E-08	.380E-05	.529E-04	.226E-03	.564E-03	.133E-02	.368E-02	.932E-02	.160E-01	.191E-01	.219E-01
35		.439E-09	.634E-06	.152E-04	.886E-04	.268E-03	.760E-03	.259E-02	.791E-02	.151E-01	.185E-01	.218E-01
40		.200E-10	.986E-07	.416E-05	.333E-04	.123E-03	.424E-03	.181E-02	.670E-02	.141E-01	.180E-01	.217E-01
50		.320E-13	.197E-08	.270E-06	.424E-05	.241E-04	.125E-03	.850E-03	.475E-02	.125E-01	.169E-01	.214E-01

TAFEL DER PARABOLISCHEN CHIQUADRATVERTEILUNG

$Q(D>Z) = 1 - F(Z|NUE, P, BETA)$

D: = $XN - BETA + PX$
 Z: = 0

NUE: = FREIHEITSGRAD
 P: = PARAMETER DES ROTATIONS-PARABOLOIDES
 = $1/(2 \cdot R)$

R: = KRUEMMUNGSRADIUS

BETA = 2.5

$\phi(-BETA) = .621E-02$

NUE	R	2.5	4.0	6.0	8.0	10.0	13.0	20.0	40.0	100.0	200.0	1000.0
	P	.20	.125	.083	.063	.050	.038	.025	.013	.005	.003	.001
2		.423E-02	.475E-02	.512E-02	.535E-02	.550E-02	.564E-02	.583E-02	.602E-02	.614E-02	.618E-02	.622E-02
3		.283E-02	.357E-02	.417E-02	.455E-02	.482E-02	.508E-02	.543E-02	.580E-02	.604E-02	.612E-02	.619E-02
4		.187E-02	.267E-02	.339E-02	.387E-02	.421E-02	.457E-02	.505E-02	.557E-02	.593E-02	.605E-02	.615E-02
5		.125E-02	.202E-02	.278E-02	.332E-02	.371E-02	.415E-02	.474E-02	.541E-02	.586E-02	.603E-02	.615E-02
6		.827E-03	.151E-02	.225E-02	.282E-02	.326E-02	.374E-02	.443E-02	.522E-02	.578E-02	.599E-02	.615E-02
7		.542E-03	.112E-02	.183E-02	.240E-02	.285E-02	.337E-02	.413E-02	.504E-02	.570E-02	.594E-02	.614E-02
8		.353E-03	.831E-03	.148E-02	.203E-02	.249E-02	.303E-02	.386E-02	.487E-02	.562E-02	.590E-02	.613E-02
9		.228E-03	.613E-03	.119E-02	.172E-02	.218E-02	.273E-02	.360E-02	.470E-02	.554E-02	.586E-02	.612E-02
10		.147E-03	.451E-03	.955E-03	.145E-02	.190E-02	.245E-02	.335E-02	.453E-02	.546E-02	.581E-02	.611E-02
12		.998E-04	.241E-03	.612E-03	.103E-02	.144E-02	.198E-02	.291E-02	.422E-02	.531E-02	.573E-02	.609E-02
14		.639E-04	.127E-03	.389E-03	.727E-03	.108E-02	.159E-02	.252E-02	.393E-02	.516E-02	.565E-02	.608E-02
16		.433E-05	.656E-04	.244E-03	.509E-03	.812E-03	.127E-02	.218E-02	.366E-02	.501E-02	.557E-02	.606E-02
18		.358E-05	.336E-04	.152E-03	.354E-03	.605E-03	.101E-02	.188E-02	.340E-02	.487E-02	.549E-02	.604E-02
20		.135E-05	.169E-04	.939E-04	.245E-03	.449E-03	.805E-03	.162E-02	.317E-02	.474E-02	.541E-02	.603E-02
25		.109E-06	.290E-05	.270E-04	.944E-04	.209E-03	.447E-03	.111E-02	.263E-02	.441E-02	.523E-02	.599E-02
30		.798E-08	.461E-06	.738E-05	.350E-04	.943E-04	.243E-03	.755E-03	.218E-02	.410E-02	.505E-02	.595E-02
35		.534E-09	.683E-07	.192E-05	.125E-04	.413E-04	.129E-03	.506E-03	.181E-02	.381E-02	.487E-02	.591E-02
40		.330E-10	.950E-08	.474E-06	.432E-05	.176E-04	.676E-04	.336E-03	.149E-02	.354E-02	.470E-02	.587E-02
50		.100E-12	.153E-09	.254E-07	.463E-06	.296E-05	.174E-04	.144E-03	.100E-02	.305E-02	.437E-02	.579E-02

1 42 1

TAFEL DER PARABOLISCHEN CHIQUADRATVERTEILUNG

$Q(D>Z) = 1 - F(Z|NUE, P, BETA)$

D: = $XN - BETA + PX$
 Z: = 0

NUE: = FREIHEITSGRAD
 P: = PARAMETER DES ROTATIONS-PARABOLOIDES
 = $1/(2 \cdot R)$

R: = KRUEMMUNGSRADIUS

BETA = 3.0

$\phi(-BETA) = .135E-02$

NUE	R	3.0	4.0	6.0	8.0	10.0	13.0	20.0	40.0	100.0	200.0	1000.0
	P	.17	.125	.083	.063	.050	.038	.025	.013	.005	.003	.001
2		.931E-03	.100E-02	.109E-02	.114E-02	.117E-02	.121E-02	.126E-02	.130E-02	.133E-02	.134E-02	.135E-02
3		.630E-03	.729E-03	.863E-03	.950E-03	.101E-02	.107E-02	.116E-02	.125E-02	.131E-02	.133E-02	.134E-02
4		.422E-03	.527E-03	.683E-03	.790E-03	.868E-03	.951E-03	.107E-02	.119E-02	.128E-02	.131E-02	.134E-02
5		.288E-03	.387E-03	.547E-03	.664E-03	.753E-03	.851E-03	.991E-03	.115E-02	.126E-02	.130E-02	.134E-02
6		.193E-03	.281E-03	.433E-03	.554E-03	.649E-03	.757E-03	.916E-03	.111E-02	.124E-02	.129E-02	.134E-02
7		.129E-03	.203E-03	.343E-03	.461E-03	.558E-03	.673E-03	.847E-03	.108E-02	.122E-02	.128E-02	.133E-02
8		.858E-04	.146E-03	.270E-03	.383E-03	.480E-03	.597E-03	.782E-03	.102E-02	.120E-02	.127E-02	.133E-02
9		.568E-04	.104E-03	.213E-03	.318E-03	.412E-03	.530E-03	.722E-03	.979E-03	.118E-02	.126E-02	.133E-02
10		.374E-04	.746E-04	.167E-03	.263E-03	.353E-03	.470E-03	.667E-03	.940E-03	.116E-02	.125E-02	.133E-02
12		.160E-04	.377E-04	.102E-03	.180E-03	.259E-03	.368E-03	.567E-03	.866E-03	.113E-02	.123E-02	.132E-02
14		.674E-05	.187E-04	.619E-04	.122E-03	.188E-03	.287E-03	.482E-03	.798E-03	.109E-02	.121E-02	.132E-02
16		.279E-05	.921E-05	.372E-04	.821E-04	.137E-03	.224E-03	.409E-03	.735E-03	.105E-02	.119E-02	.131E-02
18		.114E-05	.447E-05	.222E-04	.550E-04	.986E-04	.174E-03	.346E-03	.676E-03	.102E-02	.117E-02	.131E-02
20		.457E-06	.214E-05	.131E-04	.366E-04	.708E-04	.134E-03	.293E-03	.622E-03	.987E-03	.115E-02	.130E-02
25		.439E-07	.324E-06	.339E-05	.129E-04	.304E-04	.696E-04	.191E-03	.504E-03	.908E-03	.111E-02	.129E-02
30		.389E-08	.457E-07	.835E-06	.437E-05	.127E-04	.354E-04	.123E-03	.407E-03	.836E-03	.106E-02	.128E-02
35		.319E-09	.604E-08	.196E-06	.143E-05	.513E-05	.176E-04	.789E-04	.327E-03	.768E-03	.102E-02	.127E-02
40		.244E-10	.753E-09	.441E-07	.452E-06	.203E-05	.863E-05	.499E-04	.263E-03	.706E-03	.102E-02	.126E-02
50		.118E-12	.987E-11	.196E-08	.411E-07	.293E-06	.196E-05	.194E-04	.40E-04	.11E-03	.40E-04	.124E-02

1 43 1

TAFEL DER PARABOLISCHEN CHIQUADRATVERTEILUNG

$Q(D>Z) = 1 - F(Z|NUE, P, BETA)$

D: = $X^2 - BETA + PX$
 Z: = 0
 NUE: = FREIHEITSGRAD
 P: = PARAMETER DES ROTATIONS-PARABOLOIDES
 = $1/(2 \cdot R)$
 R: = KRÜMMUNGSRADIUS

BETA = 3.5

$\phi(-BETA) = .233E-03$

NUE	R	3.5	4.0	6.0	8.0	10.0	13.0	20.0	40.0	100.0	200.0	1000.0
2		.162E-03	.167E-03	.183E-03	.192E-03	.199E-03	.206E-03	.214E-03	.223E-03	.229E-03	.231E-03	.233E-03
3		.110E-03	.118E-03	.142E-03	.157E-03	.168E-03	.180E-03	.196E-03	.213E-03	.224E-03	.228E-03	.232E-03
4		.747E-04	.829E-04	.109E-03	.128E-03	.142E-03	.157E-03	.178E-03	.202E-03	.219E-03	.225E-03	.230E-03
5		.515E-04	.592E-04	.856E-04	.106E-03	.121E-03	.139E-03	.164E-03	.194E-03	.216E-03	.224E-03	.230E-03
6		.350E-04	.417E-04	.663E-04	.864E-04	.103E-03	.122E-03	.150E-03	.185E-03	.212E-03	.222E-03	.230E-03
7		.237E-04	.293E-04	.512E-04	.705E-04	.869E-04	.107E-03	.137E-03	.177E-03	.208E-03	.220E-03	.230E-03
8		.160E-04	.205E-04	.395E-04	.575E-04	.734E-04	.933E-04	.126E-03	.169E-03	.204E-03	.218E-03	.229E-03
9		.107E-04	.143E-04	.303E-04	.468E-04	.620E-04	.816E-04	.115E-03	.162E-03	.200E-03	.215E-03	.229E-03
10		.717E-05	.991E-05	.233E-04	.380E-04	.523E-04	.714E-04	.105E-03	.154E-03	.197E-03	.213E-03	.228E-03
12		.317E-05	.474E-05	.136E-04	.250E-04	.370E-04	.544E-04	.877E-04	.141E-03	.189E-03	.209E-03	.227E-03
14		.139E-05	.224E-05	.790E-05	.163E-04	.261E-04	.413E-04	.731E-04	.128E-03	.182E-03	.206E-03	.226E-03
16		.597E-06	.104E-05	.455E-05	.106E-04	.183E-04	.313E-04	.608E-04	.117E-03	.176E-03	.202E-03	.225E-03
18		.254E-06	.481E-06	.259E-05	.683E-05	.128E-04	.236E-04	.505E-04	.106E-03	.169E-03	.198E-03	.225E-03
20		.107E-06	.219E-06	.147E-05	.438E-05	.890E-05	.178E-04	.419E-04	.968E-04	.163E-03	.194E-03	.224E-03
25		.116E-07	.294E-07	.343E-06	.141E-05	.352E-05	.863E-05	.260E-04	.763E-04	.148E-03	.185E-03	.222E-03
30		.119E-08	.369E-08	.763E-07	.437E-06	.136E-05	.411E-05	.160E-04	.600E-04	.135E-03	.177E-03	.220E-03
35		.112E-09	.437E-09	.163E-07	.131E-06	.510E-06	.192E-05	.976E-05	.470E-04	.123E-03	.169E-03	.218E-03
40		.100E-10	.489E-10	.332E-08	.382E-07	.187E-06	.880E-06	.569E-05	.367E-04	.111E-03	.161E-03	.216E-03
50		.680E-13	.523E-12	.123E-09	.295E-08	.233E-07	.176E-06	.208E-05	.222E-04	.918E-04	.146E-03	.212E-03

TAFEL DER PARABOLISCHEN CHIQUADRATVERTEILUNG

$Q(D>Z) = 1 - F(Z|NUE, P, BETA)$

D: = $X^2 - BETA + PX$
 Z: = 0
 NUE: = FREIHEITSGRAD
 P: = PARAMETER DES ROTATIONS-PARABOLOIDES
 = $1/(2 \cdot R)$
 R: = KRÜMMUNGSRADIUS

BETA = 4.0

$\phi(-BETA) = .317E-04$

NUE	R	4.0	6.0	8.0	10.0	12.0	15.0	20.0	40.0	100.0	200.0	1000.0
2		.221E-04	.243E-04	.257E-04	.266E-04	.273E-04	.281E-04	.289E-04	.302E-04	.311E-04	.314E-04	.317E-04
3		.152E-04	.184E-04	.206E-04	.222E-04	.234E-04	.247E-04	.261E-04	.286E-04	.304E-04	.310E-04	.315E-04
4		.104E-04	.139E-04	.165E-04	.184E-04	.199E-04	.216E-04	.236E-04	.271E-04	.296E-04	.306E-04	.313E-04
5		.729E-05	.106E-04	.133E-04	.154E-04	.171E-04	.191E-04	.215E-04	.259E-04	.291E-04	.303E-04	.313E-04
6		.493E-05	.804E-05	.107E-04	.129E-04	.147E-04	.168E-04	.195E-04	.246E-04	.285E-04	.300E-04	.313E-04
7		.336E-05	.607E-05	.855E-05	.107E-04	.125E-04	.148E-04	.177E-04	.234E-04	.279E-04	.297E-04	.312E-04
8		.229E-05	.458E-05	.684F-05	.900E-05	.107E-04	.130E-04	.160E-04	.222E-04	.273E-04	.294E-04	.311E-04
9		.155E-05	.344E-05	.546E-05	.739E-05	.915E-05	.114E-04	.145E-04	.211E-04	.268E-04	.291E-04	.311E-04
10		.105E-05	.258E-05	.436E-05	.613E-05	.780E-05	.100E-04	.131E-04	.200E-04	.262E-04	.288E-04	.310E-04
12		.477E-06	.145E-05	.276E-05	.420E-05	.566E-05	.773E-05	.107E-04	.181E-04	.251E-04	.282E-04	.309E-04
14		.214E-06	.804E-06	.174E-05	.287E-05	.409E-05	.594E-05	.876E-05	.163E-04	.241E-04	.276E-04	.307E-04
16		.949E-07	.444E-06	.109E-05	.195E-05	.295E-05	.455E-05	.715E-05	.147E-04	.231E-04	.270E-04	.306E-04
18		.417E-07	.243E-06	.676E-06	.132E-05	.212E-05	.347E-05	.582E-05	.132E-04	.222E-04	.264E-04	.305E-04
20		.181E-07	.132E-06	.418E-06	.890E-06	.152E-05	.265E-05	.474E-05	.119E-04	.213E-04	.259E-04	.303E-04
25		.216E-08	.278E-07	.123E-06	.326E-06	.648E-06	.133E-05	.281E-05	.914E-05	.191E-04	.246E-04	.300E-04
30		.242E-09	.561E-08	.351E-07	.116E-06	.271E-06	.656E-06	.165E-05	.699E-05	.172E-04	.233E-04	.297E-04
35		.257E-10	.109E-08	.969E-08	.406E-07	.111E-06	.319E-06	.957E-06	.534E-05	.155E-04	.221E-04	.294E-04
40		.259E-11	.203E-09	.259E-08	.138E-07	.448E-07	.153E-06	.551E-06	.406E-05	.139E-04	.210E-04	.291E-04
50		.227E-13	.628E-11	.170E-09	.149E-08	.688E-08	.339E-07	.177E-06	.233E-05	.112E-04	.188E-04	.285E-04

TAFEL DER PARABOLISCHEN CHIQUADRATVERTEILUNG

$Q(D>Z) = 1 - F(Z; N, \nu, P, \beta)$

TAFEL DER PARABOLISCHEN CHIQUADRATVERTEILUNG

$Q(D>Z) = 1 - F(Z; N, \nu, P, \beta)$

D: = $X^2 - \beta \cdot P + \nu$
 Z: = FREIHEITSGRAD
 P: = PARAMETER DES ROTATIONS-PARABOLOIDES
 R: = KRUEHMUNGSRADIUS

$\beta = 4.5$

$\phi(-\beta) = .340E-05$

NUE	R	4.5	6.0	8.0	10.0	12.0	15.0	20.0	40.0	100.0	200.0	1000.0
2	P	.11	.083	.063	.050	.042	.033	.025	.013	.005	.003	.001
2		.238E-05	.255E-05	.271E-05	.281E-05	.289E-05	.298E-05	.307E-05	.323E-05	.333E-05	.337E-05	.340E-05
3		.164E-05	.189E-05	.213E-05	.230E-05	.243E-05	.258E-05	.275E-05	.304E-05	.325E-05	.332E-05	.338E-05
4		.113E-05	.139E-05	.167E-05	.188E-05	.204E-05	.224E-05	.246E-05	.286E-05	.316E-05	.327E-05	.336E-05
5		.787E-06	.104E-05	.133E-05	.155E-05	.174E-05	.196E-05	.222E-05	.272E-05	.310E-05	.324E-05	.336E-05
6		.542E-06	.772E-06	.104E-05	.127E-05	.147E-05	.170E-05	.199E-05	.257E-05	.303E-05	.320E-05	.336E-05
7		.373E-06	.571E-06	.820E-06	.104E-05	.124E-05	.148E-05	.179E-05	.243E-05	.296E-05	.317E-05	.335E-05
8		.255E-06	.421E-06	.644E-06	.853E-06	.104E-05	.128E-05	.160E-05	.229E-05	.289E-05	.313E-05	.334E-05
9		.175E-06	.310E-06	.505E-06	.697E-06	.876E-06	.111E-05	.144E-05	.217E-05	.282E-05	.309E-05	.333E-05
10		.119E-06	.228E-06	.395E-06	.569E-06	.736E-06	.967E-06	.129E-05	.205E-05	.276E-05	.305E-05	.332E-05
12		.550E-07	.122E-06	.241E-06	.378E-06	.519E-06	.676E-06	.829E-06	.103E-05	.138E-05	.169E-05	.209E-05
14		.252E-07	.652E-07	.147E-06	.250E-06	.365E-06	.477E-06	.594E-06	.726E-06	.863E-06	.101E-05	.120E-05
16		.114E-07	.345E-07	.885E-07	.165E-06	.256E-06	.340E-06	.407E-06	.504E-06	.604E-06	.711E-06	.827E-06
18		.513E-08	.181E-07	.532E-07	.108E-06	.179E-06	.226E-06	.266E-06	.304E-06	.329E-06	.329E-06	.329E-06
20		.228E-08	.946E-08	.318E-07	.706E-07	.124E-06	.162E-06	.192E-06	.207E-06	.218E-06	.228E-06	.228E-06
25		.291E-09	.181E-08	.858E-08	.240E-07	.497E-07	.107E-06	.239E-06	.423E-06	.633E-06	.863E-06	.107E-05
30		.353E-10	.332E-09	.225E-08	.795E-08	.195E-07	.498E-07	.134E-06	.643E-06	.1173E-05	.242E-05	.317E-05
35		.408E-11	.586E-10	.572E-09	.257E-08	.747E-08	.229E-07	.742E-07	.478E-06	.153E-05	.228E-05	.313E-05
40		.451E-12	.997E-11	.141E-09	.814E-09	.282E-08	.104E-07	.408E-07	.354E-06	.136E-05	.215E-05	.310E-05
50		.483E-14	.260E-12	.794E-11	.764E-10	.380E-09	.205E-08	.120E-07	.192E-06	.107E-05	.191E-05	.303E-05

TAFEL DER PARABOLISCHEN CHIQUADRATVERTEILUNG

$Q(D>Z) = 1 - F(Z; N, \nu, P, \beta)$

$Q(D>Z) = 1 - F(Z; N, \nu, P, \beta)$

D: = $X^2 - \beta \cdot P + \nu$
 Z: = FREIHEITSGRAD
 P: = PARAMETER DES ROTATIONS-PARABOLOIDES
 R: = KRUEHMUNGSRADIUS

$\beta = 5.0$

$\phi(-\beta) = .287E-06$

NUE	R	5.0	6.0	8.0	10.0	12.0	15.0	20.0	40.0	100.0	200.0	1000.0
2	P	.10	.083	.063	.050	.042	.033	.025	.013	.005	.003	.001
2		.202E-06	.211E-06	.224E-06	.234E-06	.241E-06	.248E-06	.257E-06	.271E-06	.281E-06	.284E-06	.287E-06
3		.140E-06	.153E-06	.173E-06	.188E-06	.200E-06	.213E-06	.228E-06	.254E-06	.273E-06	.280E-06	.285E-06
4		.960E-07	.110E-06	.133E-06	.151E-06	.165E-06	.182E-06	.201E-06	.238E-06	.265E-06	.275E-06	.283E-06
5		.673E-07	.808E-07	.104E-06	.123E-06	.139E-06	.157E-06	.180E-06	.225E-06	.259E-06	.272E-06	.283E-06
6		.466E-07	.586E-07	.804E-07	.993E-07	.115E-06	.135E-06	.160E-06	.211E-06	.253E-06	.269E-06	.283E-06
7		.322E-07	.424E-07	.621E-07	.800E-07	.959E-07	.116E-06	.142E-06	.198E-06	.246E-06	.265E-06	.282E-06
8		.222E-07	.306E-07	.479E-07	.644E-07	.796E-07	.997E-07	.127E-06	.187E-06	.240E-06	.262E-06	.281E-06
9		.153E-07	.221E-07	.369E-07	.518E-07	.661E-07	.855E-07	.112E-06	.175E-06	.234E-06	.259E-06	.280E-06
10		.105E-07	.159E-07	.284E-07	.417E-07	.548E-07	.733E-07	.998E-07	.165E-06	.228E-06	.255E-06	.280E-06
12		.490E-08	.819E-08	.167E-07	.268E-07	.376E-07	.538E-07	.786E-07	.146E-06	.217E-06	.249E-06	.278E-06
14		.228E-08	.419E-08	.980E-08	.172E-07	.257E-07	.394E-07	.618E-07	.128E-06	.206E-06	.242E-06	.277E-06
16		.105E-08	.213E-08	.572E-08	.110E-07	.175E-07	.288E-07	.486E-07	.113E-06	.196E-06	.236E-06	.275E-06
18		.480E-09	.541E-09	.922E-08	.700E-08	.119E-07	.210E-07	.381E-07	.186E-06	.230E-06	.274E-06	.280E-06
20		.218E-09	.940E-10	.476E-09	.444E-08	.809E-08	.152E-07	.298E-07	.177E-06	.224E-06	.272E-06	.280E-06
25		.293E-10	.157E-10	.476E-09	.140E-08	.302E-08	.680E-08	.161E-07	.155E-06	.210E-06	.269E-06	.280E-06
30		.377E-11	.254E-11	.270E-10	.431E-09	.111E-08	.300E-08	.658E-08	.136E-06	.197E-06	.266E-06	.280E-06
35		.465E-12	.395E-12	.616E-11	.130E-09	.399E-09	.130E-08	.454E-08	.120E-06	.185E-06	.262E-06	.280E-06
40		.552E-13	.868E-14	.297E-12	.383E-10	.141E-09	.558E-09	.238E-08	.105E-06	.173E-06	.259E-06	.280E-06
50		.693E-15	.868E-14	.297E-12	.313E-11	.168E-10	.987E-10	.639E-09	.125E-07	.809E-07	.152E-06	.253E-06

TAFEL DER PARABOLISCHEN CHIQUADRATVERTEILUNG

$Q(D>Z) = 1 - F(7 \cdot \text{NUE} + P, \text{RFTA})$

D: = $X_N - \text{BETA} + PX$

Z: = 0

NUE: = FREIHEITSGRAD

P: = PARAMETER DES ROTATIONS-PARABOLOIDES

= $1 / (2 \cdot R)$

R: = KRUEMMUNGSRADIUS

BETA = 5.5

$\phi(-\text{BETA}) = .190E-07$

R	5.5	6.0	8.0	10.0	12.0	15.0	20.0	40.0	100.0	200.0	1000.0
P	.09	.083	.063	.050	.042	.033	.025	.013	.005	.003	.001
NUE	2	3	4	5	6	7	8	9	10	12	14

2	.134E-07	.137E-07	.146E-07	.153E-07	.157E-07	.163E-07	.169E-07	.179E-07	.186E-07	.188E-07	.190E-07
3	.930E-08	.972E-08	.111E-07	.121E-07	.129E-07	.138E-07	.148E-07	.167E-07	.180E-07	.185E-07	.189E-07
4	.641E-08	.685E-08	.837E-08	.956E-08	.105E-07	.116E-07	.130E-07	.155E-07	.174E-07	.182E-07	.188E-07
5	.451E-08	.493E-08	.642E-08	.766E-08	.870E-08	.996E-08	.115E-07	.146E-07	.170E-07	.180E-07	.188E-07
6	.314E-08	.350E-08	.488E-08	.609E-08	.714E-08	.846E-08	.101E-07	.136E-07	.166E-07	.177E-07	.187E-07
7	.217E-08	.248E-08	.370E-08	.483E-08	.585E-08	.718E-08	.892E-08	.127E-07	.161E-07	.175E-07	.187E-07
8	.150E-08	.176E-08	.280E-08	.383E-08	.480E-08	.609E-08	.786E-08	.119E-07	.157E-07	.172E-07	.186E-07
9	.104E-08	.124E-08	.212E-08	.304E-08	.393E-08	.516E-08	.691E-08	.111E-07	.152E-07	.170E-07	.186E-07
10	.716E-09	.876E-09	.160E-08	.240E-08	.321E-08	.437E-08	.608E-08	.104E-07	.148E-07	.167E-07	.185E-07
12	.339E-09	.434E-09	.914E-09	.150E-08	.215E-08	.314E-08	.470E-08	.910E-08	.140E-07	.163E-07	.184E-07
14	.159E-09	.214E-09	.518E-09	.936E-09	.143E-08	.224E-08	.363E-08	.795E-08	.132E-07	.158E-07	.183E-07
16	.743E-10	.105E-09	.292E-09	.580E-09	.949E-09	.160E-08	.280E-08	.694E-08	.125E-07	.154E-07	.182E-07
18	.344E-10	.509E-10	.164E-09	.359E-09	.628E-09	.114E-08	.215E-08	.605E-08	.119E-07	.150E-07	.181E-07
20	.159E-10	.246E-10	.917E-10	.221E-09	.415E-09	.810E-09	.165E-08	.528E-08	.112E-07	.145E-07	.180E-07
25	.222E-11	.390E-11	.210E-10	.648E-10	.145E-09	.342E-09	.851E-09	.374E-08	.974E-08	.136E-07	.177E-07
30	.300E-12	.596E-12	.468E-11	.186E-10	.499E-10	.142E-09	.434E-09	.264E-08	.847E-08	.126E-07	.175E-07
35	.390E-13	.880E-13	.102E-11	.522E-11	.168E-10	.585E-10	.220E-09	.186E-08	.735E-08	.118E-07	.173E-07
40	.489E-14	.126E-13	.215E-12	.143E-11	.560E-11	.237E-10	.110E-09	.131E-08	.638E-08	.110E-07	.170E-07
50	.698E-16	.234E-15	.892E-14	.102E-12	.588E-12	.376E-11	.270E-10	.641E-09	.480E-08	.952E-08	.166E-07

TAFEL DER PARABOLISCHEN CHIQUADRATVERTEILUNG

$Q(D>Z) = 1 - F(7 \cdot \text{NUE} + P, \text{BETA})$

D: = $X_N - \text{BETA} + PX$

Z: = 0

NUE: = FREIHEITSGRAD

P: = PARAMETER DES ROTATIONS-PARABOLOIDES

= $1 / (2 \cdot R)$

R: = KRUEMMUNGSRADIUS

BETA = 6.0

$\phi(-\text{BETA}) = .990E-09$

R	6.0	7.0	8.0	10.0	12.0	15.0	20.0	40.0	100.0	200.0	1000.0
P	.08	.071	.063	.050	.042	.033	.025	.013	.005	.003	.001
NUE	2	3	4	5	6	7	8	9	10	12	14

2	.698E-09	.725E-09	.747E-09	.762E-09	.808E-09	.837E-09	.869E-09	.925E-09	.964E-09	.978E-09	.990E-09
3	.486E-09	.524E-09	.557E-09	.611E-09	.652E-09	.700E-09	.756E-09	.857E-09	.932E-09	.960E-09	.983E-09
4	.335E-09	.376E-09	.413E-09	.475E-09	.525E-09	.585E-09	.656E-09	.794E-09	.901E-09	.941E-09	.979E-09
5	.237E-09	.276E-09	.312E-09	.375E-09	.429E-09	.494E-09	.576E-09	.742E-09	.878E-09	.931E-09	.977E-09
6	.165E-09	.200E-09	.233E-09	.294E-09	.347E-09	.415E-09	.503E-09	.691E-09	.852E-09	.916E-09	.973E-09
7	.115E-09	.144E-09	.174E-09	.230E-09	.281E-09	.348E-09	.439E-09	.642E-09	.826E-09	.902E-09	.970E-09
8	.795E-10	.104E-09	.129E-09	.179E-09	.227E-09	.292E-09	.383E-09	.597E-09	.802E-09	.889E-09	.967E-09
9	.551E-10	.751E-10	.963E-10	.140E-09	.184E-09	.245E-09	.334E-09	.556E-09	.778E-09	.875E-09	.964E-09
10	.382E-10	.541E-10	.716E-10	.109E-09	.148E-09	.205E-09	.291E-09	.517E-09	.755E-09	.862E-09	.960E-09
12	.182E-10	.279E-10	.394E-10	.663E-10	.964E-10	.144E-09	.221E-09	.447E-09	.711E-09	.836E-09	.954E-09
14	.863E-11	.144E-10	.216E-10	.401E-10	.625E-10	.101E-09	.167E-09	.386E-09	.669E-09	.811E-09	.948E-09
16	.407E-11	.735E-11	.118E-10	.242E-10	.405E-10	.701E-10	.127E-09	.333E-09	.630E-09	.786E-09	.943E-09
18	.191E-11	.374E-11	.642E-11	.145E-10	.261E-10	.488E-10	.956E-10	.288E-09	.593E-09	.763E-09	.937E-09
20	.889E-12	.189E-11	.347E-11	.868E-11	.168E-10	.339E-10	.721E-10	.248E-09	.558E-09	.740E-09	.931E-09
25	.129E-12	.338E-12	.735E-12	.237E-11	.551E-11	.135E-10	.355E-10	.171E-09	.480E-09	.686E-09	.917E-09
30	.180E-13	.587E-13	.151E-12	.634E-12	.178E-11	.534E-11	.173E-10	.118E-09	.412E-09	.635E-09	.904E-09
35	.244E-14	.989E-14	.304E-13	.166E-12	.564E-12	.208E-11	.836E-11	.810E-10	.354E-09	.589E-09	.890E-09
40	.321E-15	.162E-14	.597E-14	.427E-13	.176E-12	.798E-12	.401E-11	.555E-10	.303E-09	.545E-09	.877E-09
50	.508E-17	.404E-16	.214E-15	.267E-14	.164E-13	.114E-12	.898E-12	.258E-10	.223E-09	.467E-09	.851E-09

T A F E L D E R P A R A B O L I S C H E N C H I Q U A D R A T V E R T E I L U N G

$Q(D>7) = 1 - F(7; \text{NUE}, P, \text{BETA})$

$D: = X_N - \text{BETA} + PX$

$Z: = 0$

$\text{NUE}: = \text{FREIHEITSGRAD}$

$P: = \text{PARAMETER DES ROTATIONS-PARABOLOIDES}$

$= 1 / (2 \cdot R)$

$R: = \text{KRUEMMUNGSRADIUS}$

$\text{BETA} = 6.5$

$\phi (-\text{BETA}) = .404E-10$

NUE	R	6.5	7.0	8.0	10.0	12.0	15.0	20.0	40.0	100.0	200.0	1000.0
P		.08	.071	.063	.050	.042	.033	.025	.013	.005	.003	.001
2	.285E-10	.290E-10	.299E-10	.314E-10	.325E-10	.337E-10	.351E-10	.375E-10	.392E-10	.398E-10	.403E-10	
3	.198E-10	.206E-10	.219E-10	.242E-10	.259E-10	.279E-10	.303E-10	.346E-10	.378E-10	.390E-10	.401E-10	
4	.137E-10	.145E-10	.160E-10	.185E-10	.206E-10	.230E-10	.260E-10	.319E-10	.365E-10	.382E-10	.398E-10	
5	.971E-11	.105E-10	.119E-10	.144E-10	.166E-10	.193E-10	.226E-10	.296E-10	.354E-10	.378E-10	.397E-10	
6	.678E-11	.744E-11	.873E-11	.111E-10	.133E-10	.160E-10	.196E-10	.274E-10	.343E-10	.371E-10	.396E-10	
7	.472E-11	.528E-11	.641E-11	.857E-11	.106E-10	.133E-10	.169E-10	.254E-10	.322E-10	.359E-10	.393E-10	
8	.329E-11	.375E-11	.469E-11	.660E-11	.845E-11	.110E-10	.146E-10	.235E-10	.311E-10	.353E-10	.392E-10	
9	.228E-11	.266E-11	.344E-11	.508E-11	.674E-11	.912E-11	.126E-10	.217E-10	.301E-10	.348E-10	.391E-10	
10	.159E-11	.188E-11	.251E-11	.390E-11	.537E-11	.755E-11	.109E-10	.201E-10	.282E-10	.336E-10	.388E-10	
12	.761E-12	.938E-12	.134E-11	.230E-11	.340E-11	.518E-11	.813E-11	.172E-10	.282E-10	.336E-10	.388E-10	
14	.364E-12	.466E-12	.712E-12	.135E-11	.215E-11	.354E-11	.605E-11	.147E-10	.265E-10	.325E-10	.385E-10	
16	.173E-12	.230E-12	.377E-12	.792E-12	.136E-11	.242E-11	.450E-11	.126E-10	.248E-10	.315E-10	.383E-10	
18	.817E-13	.113E-12	.198E-12	.463E-12	.854E-12	.165E-11	.334E-11	.107E-10	.232E-10	.305E-10	.380E-10	
20	.384E-13	.555E-13	.104E-12	.269E-12	.535E-12	.112E-11	.247E-11	.916E-11	.218E-10	.295E-10	.378E-10	
25	.571E-14	.913E-14	.204E-13	.686E-13	.165E-12	.423E-12	.116E-11	.616E-11	.185E-10	.272E-10	.372E-10	
30	.825E-15	.146E-14	.389E-14	.171E-13	.500E-13	.158E-12	.542E-12	.413E-11	.157E-10	.250E-10	.366E-10	
35	.116E-15	.228E-15	.726E-15	.420E-14	.149E-13	.582E-13	.250E-12	.276E-11	.133E-10	.230E-10	.360E-10	
40	.158E-16	.346E-16	.132E-15	.101E-14	.439E-14	.212E-13	.115E-12	.184E-11	.113E-10	.212E-10	.354E-10	
50	.272E-18	.741E-18	.411E-17	.553E-16	.363E-15	.272E-14	.236E-13	.814E-12	.812E-11	.180E-10	.343E-10	

T A F E L D E R P A R A B O L I S C H E N C H I Q U A D R A T V E R T E I L U N G

$Q(D>Z) = 1 - F(7; \text{NUE}, P, \text{BETA})$

$D: = X_N - \text{BETA} + PX$

$Z: = 0$

$\text{NUE}: = \text{FREIHEITSGRAD}$

$P: = \text{PARAMETER DES ROTATIONS-PARABOLOIDES}$

$= 1 / (2 \cdot R)$

$R: = \text{KRUEMMUNGSRADIUS}$

$\text{BETA} = 7.0$

$\phi (-\text{BETA}) = .129E-11$

NUE	R	7.0	8.0	9.0	10.0	12.0	15.0	20.0	40.0	100.0	200.0	1000.0
P		.07	.063	.056	.050	.042	.033	.025	.013	.005	.003	.001
2	.910E-12	.940E-12	.966E-12	.988E-12	.102E-11	.106E-11	.111E-11	.119E-11	.125E-11	.127E-11	.129E-11	
3	.635E-12	.678E-12	.716E-12	.749E-12	.806E-12	.871E-12	.948E-12	.109E-11	.120E-11	.124E-11	.128E-11	
4	.440E-12	.486E-12	.528E-12	.566E-12	.632E-12	.711E-12	.808E-12	.100E-11	.116E-11	.122E-11	.127E-11	
5	.311E-12	.355E-12	.396E-12	.434E-12	.503E-12	.588E-12	.697E-12	.926E-12	.112E-11	.120E-11	.127E-11	
6	.218E-12	.257E-12	.295E-12	.330E-12	.397E-12	.483E-12	.597E-12	.853E-12	.108E-11	.118E-11	.126E-11	
7	.152E-12	.186E-12	.219E-12	.251E-12	.313E-12	.396E-12	.512E-12	.785E-12	.105E-11	.116E-11	.126E-11	
8	.106E-12	.134E-12	.162E-12	.191E-12	.246E-12	.325E-12	.438E-12	.722E-12	.101E-11	.114E-11	.125E-11	
9	.739E-13	.964E-13	.120E-12	.145E-12	.194E-12	.266E-12	.375E-12	.665E-12	.976E-12	.112E-11	.125E-11	
10	.514E-13	.694E-13	.890E-13	.110E-12	.153E-12	.218E-12	.321E-12	.612E-12	.942E-12	.110E-11	.124E-11	
12	.248E-13	.359E-13	.487E-13	.629E-13	.944E-13	.146E-12	.235E-12	.518E-12	.879E-12	.106E-11	.123E-11	
14	.119E-13	.185E-13	.265E-13	.359E-13	.582E-13	.979E-13	.172E-12	.438E-12	.820E-12	.102E-11	.123E-11	
16	.570E-14	.947E-14	.144E-13	.205E-13	.358E-13	.654E-13	.125E-12	.371E-12	.765E-12	.987E-12	.122E-11	
18	.271E-14	.484E-14	.779E-14	.116E-13	.436E-13	.914E-13	.265E-12	.714E-12	.953E-12	.121E-11	.121E-11	
20	.129E-14	.246E-14	.420E-14	.658E-14	.134E-13	.290E-13	.665E-13	.200E-12	.666E-12	.920E-12	.120E-11	
25	.196E-15	.447E-15	.883E-15	.157E-14	.390E-14	.104E-13	.299E-13	.174E-12	.559E-12	.843E-12	.118E-11	
30	.289E-16	.792E-16	.182E-15	.366E-15	.111E-14	.367E-14	.133E-13	.469E-12	.772E-12	.116E-11	.116E-11	
35	.418E-17	.137E-16	.368E-16	.840E-16	.313E-15	.128E-14	.590E-14	.394E-12	.707E-12	.114E-11	.114E-11	
40	.589E-18	.233E-17	.728E-17	.189E-16	.866E-16	.444E-15	.259E-14	.481E-13	.647E-12	.112E-11	.112E-11	
50	.109E-19	.630E-19	.269E-18	.913E-18	.813E-17	.505E-16	.202E-15	.232E-12	.542E-12	.108E-11	.108E-11	

T A F E L D E R P A R A B O L I S C H E N C H I Q U A D R A T V E R T E I L U N G

T A F E L D E R P A R A B O L I S C H E N C H I Q U A D R A T V E R T E I L U N G

$Q(D>Z) = 1 - F(71NUE, P, BETA)$

$B E T A = 2.0$

$D1 = XN - BETA + PX$

$Z1 = 0$

$NUE1 = FREIHEITSGRAD$

$P1 = PARAMETER DES ROTATIONS-SPAROLOIDES$

$= 1 / (2 * P)$

$R1 = KRUEHMUNGSRADIUS$

$\phi (-BETA) = .228E-01$

NUE	R	2.0	4.0	6.0	8.0	10.0	13.0	20.0	40.0	100.0	200.0	1000.0
2	P	-.25	-.125	-.083	-.063	-.050	-.038	-.025	-.013	-.005	-.003	-.001
2		.500E-01	.324E-01	.285E-01	.268E-01	.259E-01	.251E-01	.242E-01	.235E-01	.231E-01	.229E-01	.228E-01
3		.897E-01	.451E-01	.353F-01	.314E-01	.293E-01	.276E-01	.257E-01	.241E-01	.233E-01	.230E-01	.228E-01
4		.139E+00	.602E-01	.431F-01	.365E-01	.330E-01	.301E-01	.272E-01	.248E-01	.235E-01	.230E-01	.228E-01
5		.197E+00	.784E-01	.523F-01	.423E-01	.372E-01	.331E-01	.289E-01	.256E-01	.238E-01	.233E-01	.228E-01
6		.262E+00	.996E-01	.626E-01	.487E-01	.417E-01	.362E-01	.307E-01	.264E-01	.241E-01	.234E-01	.228E-01
7		.331E+00	.124E+00	.742E-01	.558E-01	.467E-01	.395E-01	.325E-01	.271E-01	.244E-01	.235E-01	.229E-01
8		.403E+00	.151E+00	.873E-01	.636E-01	.520E-01	.431E-01	.344E-01	.279E-01	.247E-01	.236E-01	.229E-01
9		.475E+00	.181E+00	.102E+00	.721E-01	.579E-01	.469E-01	.364E-01	.287E-01	.249E-01	.238E-01	.229E-01
10		.544E+00	.214F+00	.118E+00	.815E-01	.641E-01	.509E-01	.385E-01	.296E-01	.252E-01	.239E-01	.229E-01
12		.670E+00	.286E+00	.154E+00	.103E+00	.782E-01	.598E-01	.430E-01	.313E-01	.258E-01	.242E-01	.230E-01
14		.773E+00	.365E+00	.196E+00	.127E+00	.943E-01	.698E-01	.479E-01	.332E-01	.264E-01	.245E-01	.230E-01
16		.851E+00	.447E+00	.243E+00	.155E+00	.113E+00	.811E-01	.533E-01	.351E-01	.270E-01	.248E-01	.231E-01
18		.906E+00	.528E+00	.294E+00	.186E+00	.133E+00	.935E-01	.591E-01	.371E-01	.277E-01	.251E-01	.231E-01
20		.942E+00	.606E+00	.349E+00	.221E+00	.156E+00	.107E+00	.654E-01	.392E-01	.283E-01	.254E-01	.232E-01
25		.984E+00	.770E+00	.492E+00	.319E+00	.222E+00	.148E+00	.833E-01	.449E-01	.300E-01	.261E-01	.233E-01
30		.995E+00	.881E+00	.631E+00	.428E+00	.300E+00	.196E+00	.105E+00	.513E-01	.318E-01	.269E-01	.235E-01
35		.998E+00	.945E+00	.750E+00	.539E+00	.387E+00	.253E+00	.129E+00	.584E-01	.336E-01	.277E-01	.236E-01
40		.998E+00	.977E+00	.842E+00	.645E+00	.478E+00	.316E+00	.158E+00	.662E-01	.356E-01	.285E-01	.238E-01
50		.999E+00	.996E+00	.948E+00	.816E+00	.654E+00	.455E+00	.225E+00	.841E-01	.397E-01	.302E-01	.241E-01

T A F E L D E R P A R A B O L I S C H E N C H I Q U A D R A T V E R T E I L U N G

$Q(D>Z) = 1 - F(71NUE, P, BETA)$

$B E T A = 2.5$

$D1 = XN - BETA + PX$

$Z1 = 0$

$NUE1 = FREIHEITSGRAD$

$P1 = PARAMETER DES ROTATIONS-SPAROLOIDES$

$= 1 / (2 * P)$

$R1 = KRUEHMUNGSRADIUS$

$\phi (-BETA) = .621E-02$

NUE	R	2.5	4.0	6.0	8.0	10.0	13.0	20.0	40.0	100.0	200.0	1000.0
2	P	-.20	-.125	-.083	-.063	-.050	-.038	-.025	-.013	-.005	-.003	-.001
2		.142E-01	.979E-02	.821E-02	.759E-02	.726E-02	.699E-02	.670E-02	.645E-02	.631E-02	.627E-02	.623E-02
3		.276E-01	.150E-01	.108E-01	.925E-02	.847E-02	.784E-02	.719E-02	.667E-02	.638E-02	.629E-02	.623E-02
4		.461E-01	.217E-01	.139E-01	.111E-01	.981E-02	.876E-02	.771E-02	.688E-02	.645E-02	.631E-02	.623E-02
5		.706E-01	.304E-01	.176E-01	.134E-01	.114E-01	.981E-02	.831E-02	.716E-02	.656E-02	.638E-02	.623E-02
6		.101E+00	.412E-01	.221E-01	.159E-01	.131E-01	.109E-01	.892E-02	.741E-02	.665E-02	.642E-02	.624E-02
7		.138E+00	.544E-01	.274E-01	.189E-01	.150E-01	.122E-01	.956E-02	.767E-02	.674E-02	.646E-02	.625E-02
8		.181E+00	.703E-01	.336E-01	.222E-01	.172E-01	.135E-01	.103E-01	.795E-02	.684E-02	.651E-02	.626E-02
9		.229E+00	.889E-01	.408E-01	.260E-01	.196E-01	.150E-01	.110E-01	.823E-02	.693E-02	.655E-02	.626E-02
10		.281E+00	.110E+00	.492E-01	.303E-01	.223E-01	.166E-01	.118E-01	.852E-02	.703E-02	.660E-02	.627E-02
12		.393E+00	.162E+00	.693E-01	.406E-01	.286E-01	.203E-01	.135E-01	.912E-02	.723E-02	.669E-02	.629E-02
14		.507E+00	.223E+00	.947E-01	.533E-01	.361E-01	.246E-01	.154E-01	.977E-02	.743E-02	.678E-02	.630E-02
16		.614E+00	.293E+00	.125E+00	.686E-01	.452E-01	.296E-01	.175E-01	.105E-01	.764E-02	.688E-02	.632E-02
18		.709E+00	.369E+00	.162E+00	.872E-01	.559E-01	.355E-01	.198E-01	.112E-01	.785E-02	.697E-02	.634E-02
20		.788E+00	.448E+00	.203E+00	.109E+00	.685E-01	.422E-01	.225E-01	.120E-01	.808E-02	.707E-02	.636E-02
25		.917E+00	.637E+00	.326E+00	.177E+00	.108E+00	.632E-01	.304E-01	.141E-01	.865E-02	.733E-02	.640E-02
30		.972E+00	.789E+00	.464E+00	.264E+00	.161E+00	.912E-01	.403E-01	.166E-01	.927E-02	.759E-02	.645E-02
35		.991E+00	.890E+00	.601E+00	.365E+00	.227E+00	.127E+00	.527E-01	.194E-01	.993E-02	.786E-02	.650E-02
40		.997E+00	.949E+00	.723E+00	.473E+00	.305E+00	.171E+00	.679E-01	.227E-01	.106E-01	.814E-02	.655E-02
50		.999E+00	.991E+00	.890E+00	.680E+00	.479E+00	.281E+00	.108E+00	.305E-01	.121E-01	.872E-02	.665E-02

TAFEL DER PARABOLISCHEN CHIQUADRATVERTEILUNG

$Q(D>Z) = 1 - F(7INUE, P, BETA)$

TAFEL DER PARABOLISCHEN CHIQUADRATVERTEILUNG

$Q(D>Z) = 1 - F(7INUE, P, BETA)$

$Q(D>Z) = 1 - F(7INUE, P, BETA)$

D: = $X^2 - BETA + PX$
 Z: = 0
 NUE: = FREIHEITSGRAD
 P: = PARAMETER DES ROTATIONS-PARABOLOIDES
 R: = KRUEHMUNGS-RADIUS

P	3.0	4.0	6.0	8.0	10.0	13.0	20.0	40.0	100.0	200.0	1000.0
P	.17	.125	.083	.063	.050	.038	.025	.013	.005	.003	.001

NUE	2	3	4	5	6	7	8	9	10	12	14	16	18	20	25	30	35	40	50
	.316E-02	.662E-02	.118E-01	.193E-01	.297E-01	.434E-01	.610E-01	.826E-01	.108E+00	.172E+00	.251E+00	.340E+00	.434E+00	.528E+00	.735E+00	.874E+00	.948E+00	.981E+00	.997E+00
	.190E-02	.413E-02	.653E-02	.990E-02	.144E-01	.204E-01	.280E-01	.376E-01	.493E-01	.633E-02	.834E-02	.107E-01	.136E-01	.171E-01	.226E-01	.262E-01	.300E+00	.300E+00	.300E+00
	.172E-02	.219E-02	.274E-02	.342E-02	.423E-02	.519E-02	.633E-02	.768E-02	.926E-02	.113E-01	.149E-01	.194E-01	.249E-01	.311E-01	.384E-01	.452E-01	.522E-01	.573E+00	.573E+00
	.163E-02	.196E-02	.234E-02	.279E-02	.331E-02	.391E-02	.459E-02	.539E-02	.629E-02	.702E-02	.800E-02	.909E-02	.109E-01	.135E-01	.167E-01	.202E-01	.239E-01	.239E-01	.239E-01
	.147E-02	.161E-02	.174E-02	.190E-02	.207E-02	.225E-02	.244E-02	.265E-02	.287E-02	.317E-02	.357E-02	.401E-02	.438E-02	.489E-02	.537E-02	.595E-02	.663E-02	.663E-02	.663E-02
	.138E-02	.139E-02	.141E-02	.144E-02	.146E-02	.149E-02	.151E-02	.154E-02	.156E-02	.161E-02	.167E-02	.172E-02	.178E-02	.184E-02	.199E-02	.216E-02	.234E-02	.234E-02	.234E-02
	.136E-02																		

1 5 4 1

TAFEL DER PARABOLISCHEN CHIQUADRATVERTEILUNG

$Q(D>Z) = 1 - F(7INUE, P, BETA)$

D: = $X^2 - BETA + PX$
 Z: = 0
 NUE: = FREIHEITSGRAD
 P: = PARAMETER DES ROTATIONS-PARABOLOIDES
 R: = KRUEHMUNGS-RADIUS

P	3.5	4.0	6.0	8.0	10.0	13.0	20.0	40.0	100.0	200.0	1000.0
P	.14	.125	.083	.063	.050	.038	.025	.013	.005	.003	.001

NUE	2	3	4	5	6	7	8	9	10	12	14	16	18	20	25	30	35	40	50
	.554E-03	.123E-02	.230E-02	.399E-02	.652E-02	.102E-01	.152E-01	.219E-01	.307E-01	.411E-01	.554E-01	.735E-01	.948E-01	.123E+00	.166E+00	.222E+00	.288E+00	.366E+00	.458E+00
	.475E-03	.939E-03	.164E-02	.271E-02	.428E-02	.651E-02	.956E-02	.137E-01	.190E-01	.262E-02	.344E-01	.441E-01	.566E-01	.722E-01	.911E-01	.113E+00	.139E+00	.177E+00	.222E+00
	.310E-03	.413E-03	.540E-03	.702E-03	.904E-03	.115E-02	.146E-02	.184E-02	.230E-02	.288E-02	.353E-02	.430E-02	.522E-02	.633E-02	.773E-02	.941E-02	.113E-01	.139E-01	.177E-01
	.290E-03	.361E-03	.445E-03	.548E-03	.669E-03	.815E-03	.987E-03	.119E-02	.143E-02	.173E-02	.205E-02	.248E-02	.297E-02	.363E-02	.441E-02	.533E-02	.641E-02	.773E-02	.941E-02
	.274E-03	.322E-03	.376E-03	.440E-03	.513E-03	.596E-03	.692E-03	.801E-03	.925E-03	.106E-02	.123E-02	.141E-02	.161E-02	.181E-02	.211E-02	.243E-02	.288E-02	.344E-02	.411E-02
	.258E-03	.285E-03	.313E-03	.347E-03	.382E-03	.421E-03	.463E-03	.509E-03	.560E-03	.616E-03	.675E-03	.736E-03	.799E-03	.873E-03	.948E-03	.103E-02	.113E-02	.123E-02	.133E-02
	.245E-03	.256E-03	.268E-03	.282E-03	.296E-03	.310E-03	.325E-03	.340E-03	.357E-03	.372E-03	.388E-03	.404E-03	.420E-03	.436E-03	.452E-03	.468E-03	.484E-03	.500E-03	.516E-03
	.238E-03																		

1 5 1

TAFEL DER PARABOLISCHEN CHIQUADRATVERTEILUNG

TAFEL DER PARABOLISCHEN CHIQUADRATVERTEILUNG

$\Phi(D>Z) = 1 - F(7/16NUE + P \cdot BETA)$

D: = $X^2 - BETA + PX$

Z: = 0

NUE: = FREIHEITSGRAD

P: = PARAMETER DES ROTATIONS PARABOLOIDES

= $1/(2 \cdot R)$

R: = KRIEMUNGSRADIUS

BETA = 4.0

$\Phi(-BETA) = .317E-04$

NUE	R	4.0	6.0	8.0	10.0	12.0	15.0	20.0	40.0	100.0	200.0	1000.0
2		.764E-04	.516E-04	.443E-04	.409E-04	.389E-04	.372E-04	.356E-04	.335E-04	.324E-04	.321E-04	.318E-04
3		.178E-03	.846E-04	.622E-04	.529E-04	.478E-04	.436E-04	.399E-04	.353E-04	.330E-04	.323E-04	.318E-04
4		.346E-03	.131E-03	.852E-04	.674E-04	.582E-04	.507E-04	.446E-04	.372E-04	.336E-04	.326E-04	.319E-04
5		.627E-03	.198E-03	.116E-03	.857E-04	.710E-04	.593E-04	.500E-04	.394E-04	.345E-04	.330E-04	.319E-04
6		.108E-02	.293E-03	.155E-03	.108E-03	.860E-04	.690E-04	.559E-04	.416E-04	.352E-04	.333E-04	.320E-04
7		.177E-02	.426E-03	.207E-03	.136E-03	.104E-03	.801E-04	.624E-04	.439E-04	.359E-04	.337E-04	.320E-04
8		.280E-02	.608E-03	.273E-03	.170E-03	.125E-03	.929E-04	.697E-04	.463E-04	.367E-04	.340E-04	.321E-04
9		.427E-02	.855E-03	.357E-03	.212E-03	.150E-03	.108E-03	.777E-04	.488E-04	.375E-04	.344E-04	.321E-04
10		.634E-02	.118E-02	.464E-03	.262E-03	.180E-03	.124E-03	.866E-04	.515E-04	.383E-04	.347E-04	.322E-04
12		.129E-01	.219E-02	.767E-03	.398E-03	.256E-03	.165E-03	.107E-03	.573E-04	.399E-04	.355E-04	.323E-04
14		.239E-01	.384E-02	.123E-02	.594E-03	.361E-03	.218E-03	.133E-03	.637E-04	.416E-04	.362E-04	.325E-04
16		.408E-01	.647E-02	.194E-02	.873E-03	.503E-03	.287E-03	.163E-03	.708E-04	.434E-04	.370E-04	.326E-04
18		.651E-01	.104E-01	.297E-02	.126E-02	.694E-03	.375E-03	.201E-03	.786E-04	.453E-04	.378E-04	.327E-04
20		.978E-01	.162E-01	.444E-02	.181E-02	.949E-03	.487E-03	.246E-03	.873E-04	.473E-04	.386E-04	.329E-04
25		.217E+00	.419E-01	.111E-01	.413E-02	.199E-02	.912E-03	.402E-03	.113E-03	.525E-04	.407E-04	.332E-04
30		.380E+00	.900E-01	.244E-01	.869E-02	.393E-02	.165E-02	.646E-03	.146E-03	.583E-04	.429E-04	.336E-04
35		.556E+00	.165E+00	.480E-01	.169E-01	.735E-02	.287E-02	.102E-02	.187E-03	.647E-04	.452E-04	.340E-04
40		.714E+00	.267E+00	.854E-01	.306E-01	.130E-01	.484E-02	.157E-02	.240E-03	.718E-04	.477E-04	.343E-04
50		.913E+00	.518E+00	.210E+00	.824E-01	.354E-01	.124E-01	.356E-02	.387E-03	.861E-04	.530E-04	.351E-04

TAFEL DER PARABOLISCHEN CHIQUADRATVERTEILUNG

$\Phi(D>Z) = 1 - F(7/16NUE + P \cdot BETA)$

D: = $X^2 - BETA + PX$

Z: = 0

NUE: = FREIHEITSGRAD

P: = PARAMETER DES ROTATIONS PARABOLOIDES

= $1/(2 \cdot R)$

R: = KRIEMUNGSRADIUS

BETA = 4.5

$\Phi(-BETA) = .340E-05$

NUE	R	4.5	6.0	8.0	10.0	12.0	15.0	20.0	40.0	100.0	200.0	1000.0
2		.827E-05	.604E-05	.501E-05	.455E-05	.430E-05	.407E-05	.388E-05	.362E-05	.349E-05	.345E-05	.342E-05
3		.199E-04	.109E-04	.745E-05	.613E-05	.544E-05	.488E-05	.441E-05	.384E-05	.356E-05	.348E-05	.342E-05
4		.400E-04	.181E-04	.107E-04	.811E-05	.682E-05	.581E-05	.500E-05	.407E-05	.364E-05	.351E-05	.342E-05
5		.753E-04	.293E-04	.153E-04	.107E-04	.855E-05	.693E-05	.569E-05	.434E-05	.374E-05	.356E-05	.343E-05
6		.135E-03	.462E-04	.215E-04	.140E-04	.106E-04	.823E-05	.646E-05	.461E-05	.382E-05	.360E-05	.343E-05
7		.231E-03	.712E-04	.298E-04	.181E-04	.132E-04	.976E-05	.732E-05	.490E-05	.391E-05	.364E-05	.344E-05
8		.382E-03	.108E-03	.411E-04	.234E-04	.163E-04	.115E-04	.829E-05	.520E-05	.401E-05	.368E-05	.345E-05
9		.613E-03	.160E-03	.561E-04	.301E-04	.201E-04	.136E-04	.938E-05	.552E-05	.410E-05	.368E-05	.345E-05
10		.956E-03	.234E-03	.758E-04	.386E-04	.248E-04	.161E-04	.106E-04	.587E-05	.420E-05	.377E-05	.346E-05
12		.216E-02	.478E-03	.136E-03	.623E-04	.371E-04	.222E-04	.135E-04	.661E-05	.440E-05	.386E-05	.348E-05
14		.447E-02	.925E-03	.236E-03	.988E-04	.549E-04	.306E-04	.172E-04	.745E-05	.461E-05	.395E-05	.349E-05
16		.856E-02	.170E-02	.398E-03	.154E-03	.805E-04	.418E-04	.218E-04	.839E-05	.484E-05	.404E-05	.351E-05
18		.153E-01	.300E-02	.655E-03	.237E-03	.117E-03	.567E-04	.275E-04	.944E-05	.507E-05	.414E-05	.353E-05
20		.255E-01	.506E-02	.105E-02	.358E-03	.167E-03	.766E-04	.346E-04	.106E-04	.532E-05	.424E-05	.354E-05
25		.733E-01	.158E-01	.309E-02	.940E-03	.394E-03	.158E-03	.608E-04	.142E-04	.598E-05	.450E-05	.359E-05
30		.161E+00	.400E-01	.789E-02	.226E-02	.873E-03	.312E-03	.105E-03	.189E-04	.673E-05	.477E-05	.363E-05
35		.288E+00	.847E-01	.178E-01	.497E-02	.182E-02	.595E-03	.176E-03	.251E-04	.756E-05	.506E-05	.368E-05
40		.441E+00	.155E+00	.360E-01	.101E-01	.358E-02	.109E-02	.291E-03	.332E-04	.849E-05	.537E-05	.372E-05
50		.732E+00	.367E+00	.111E+00	.336E-01	.118E-01	.331E-02	.750E-03	.572E-04	.4035E-05	.20-05	.381E-05

T A F E L D E R P A R A B O L I S C H E N C H I Q U A D R A T V E R T E I L U N G

$Q(D>Z) = 1 - F(Z|NUE, P, BETA)$

$B E T A = 5.0$

$D: = X_N - BETA + PX$

$Z: = 0$

$NUE: = \text{FREIHEITSGRAD}$

$P: = \text{PARAMETER DES ROTATIONSPARABOLOIDES}$

$= 1/(2 \cdot R)$

$R: = \text{KRUEHMUNGSRADIUS}$

$\phi (-BETA) = .287E-06$

R	5.0	6.0	8.0	10.0	12.0	15.0	20.0	40.0	100.0	200.0	1000.0
P	-.10	-.083	-.063	-.050	-.042	-.033	-.025	-.013	-.005	-.003	-.001

N U E

2	.703E-06	.562E-06	.448E-06	.400E-06	.374E-06	.351E-06	.332E-06	.308E-06	.295E-06	.292E-06	.289E-06
3	.174E-05	.113E-05	.710E-06	.562E-06	.489E-06	.431E-06	.384E-06	.329E-06	.302E-06	.294E-06	.289E-06
4	.359E-05	.203E-05	.108E-05	.773E-06	.632E-06	.525E-06	.442E-06	.351E-06	.309E-06	.297E-06	.289E-06
5	.694E-05	.353E-05	.161E-05	.106E-05	.815E-06	.640E-06	.511E-06	.377E-06	.319E-06	.302E-06	.290E-06
6	.128E-04	.593E-05	.238E-05	.143E-05	.104E-05	.776E-06	.589E-06	.403E-06	.327E-06	.306E-06	.290E-06
7	.227E-04	.973E-05	.346E-05	.193E-05	.133E-05	.940E-06	.677E-06	.431E-06	.335E-06	.310E-06	.291E-06
8	.390E-04	.156E-04	.498E-05	.258E-05	.169E-05	.114E-05	.778E-06	.460E-06	.344E-06	.314E-06	.292E-06
9	.652E-04	.245E-04	.710E-05	.343E-05	.215E-05	.137E-05	.894E-06	.492E-06	.353E-06	.318E-06	.292E-06
10	.106E-03	.379E-04	.100E-04	.454E-05	.271E-05	.165E-05	.103E-05	.526E-06	.363E-06	.322E-06	.293E-06
12	.263E-03	.862E-04	.195E-04	.782E-05	.428E-05	.238E-05	.135E-05	.601E-06	.382E-06	.330E-06	.294E-06
14	.600E-03	.185E-03	.366E-04	.132E-04	.669E-05	.341E-05	.176E-05	.686E-06	.402E-06	.339E-06	.296E-06
16	.127E-02	.375E-03	.668E-04	.220E-04	.103E-04	.485E-05	.230E-05	.783E-06	.424E-06	.348E-06	.297E-06
18	.252E-02	.724E-03	.118E-03	.359E-04	.157E-04	.685E-05	.299E-05	.893E-06	.447E-06	.357E-06	.299E-06
20	.468E-02	.134E-02	.204E-03	.576E-04	.237E-04	.961E-05	.388E-05	.102E-05	.471E-06	.366E-06	.301E-06
25	.174E-01	.511E-02	.714E-03	.175E-03	.632E-04	.218E-04	.731E-05	.141E-05	.536E-06	.391E-06	.305E-06
30	.485E-01	.154E-01	.215E-02	.482E-03	.158E-03	.475E-04	.135E-04	.194E-05	.611E-06	.417E-06	.309E-06
35	.108E+00	.381E-01	.562E-02	.121E-02	.368E-03	.995E-04	.244E-04	.267E-05	.695E-06	.446E-06	.313E-06
40	.200E+00	.798E-01	.130E-01	.278E-02	.808E-03	.200E-03	.432E-04	.364E-05	.791E-06	.476E-06	.317E-06
50	.461E+00	.235E+00	.506E-01	.116E-01	.326E-02	.722E-03	.127E-03	.670E-05	.102E-05	.541E-06	.326E-06

T A F E L D E R P A R A B O L I S C H E N C H I Q U A D R A T V E R T E I L U N G

$Q(D>Z) = 1 - F(Z|NUE, P, BETA)$

$D: = X_N - BETA + PX$

$Z: = 0$

$NUE: = \text{FREIHEITSGRAD}$

$P: = \text{PARAMETER DES ROTATIONSPARABOLOIDES}$

$= 1/(2 \cdot R)$

$R: = \text{KRUEHMUNGSRADIUS}$

$B E T A = 5.5$

$\phi (-BETA) = .190E-07$

R	5.5	6.0	8.0	10.0	12.0	15.0	20.0	40.0	100.0	200.0	1000.0
P	-.09	-.083	-.063	-.050	-.042	-.033	-.025	-.013	-.005	-.003	-.001

N U E

2	.468E-07	.416E-07	.316E-07	.277E-07	.256E-07	.238E-07	.224E-07	.206E-07	.196E-07	.194E-07	.191E-07
3	.119E-06	.938E-07	.537E-07	.407E-07	.347E-07	.300E-07	.263E-07	.221E-07	.202E-07	.196E-07	.191E-07
4	.249E-06	.184E-06	.863E-07	.584E-07	.462E-07	.374E-07	.308E-07	.238E-07	.207E-07	.198E-07	.192E-07
5	.493E-06	.344E-06	.136E-06	.829E-07	.614E-07	.466E-07	.361E-07	.257E-07	.213E-07	.201E-07	.192E-07
6	.933E-06	.619E-06	.211E-06	.117E-06	.811E-07	.578E-07	.422E-07	.276E-07	.220E-07	.204E-07	.193E-07
7	.170E-05	.108E-05	.322E-06	.163E-06	.107E-06	.715E-07	.493E-07	.298E-07	.226E-07	.207E-07	.193E-07
8	.302E-05	.185E-05	.485E-06	.226E-06	.139E-06	.883E-07	.576E-07	.320E-07	.232E-07	.207E-07	.194E-07
9	.521E-05	.308E-05	.723E-06	.311E-06	.109E-06	.671E-07	.435E-07	.239E-07	.213E-07	.204E-07	.194E-07
10	.878E-05	.504E-05	.107E-05	.427E-06	.182E-06	.782E-07	.430E-07	.246E-07	.216E-07	.204E-07	.195E-07
12	.235E-04	.128E-04	.226E-05	.787E-06	.236E-06	.134E-06	.782E-07	.430E-07	.260E-07	.222E-07	.196E-07
14	.582E-04	.305E-04	.461E-05	.142E-05	.106E-06	.106E-06	.430E-07	.260E-07	.222E-07	.204E-07	.196E-07
16	.135E-03	.685E-04	.912E-05	.252E-05	.106E-06	.301E-06	.143E-06	.497E-07	.276E-07	.228E-07	.197E-07
18	.293E-03	.146E-03	.175E-04	.439E-05	.170E-05	.447E-06	.192E-06	.575E-07	.292E-07	.235E-07	.198E-07
20	.601E-03	.295E-03	.326E-04	.750E-05	.257E-06	.665E-07	.309E-07	.309E-07	.242E-07	.199E-07	.199E-07
25	.287E-02	.140E-02	.137E-03	.265E-04	.818E-05	.962E-06	.344E-06	.328E-07	.249E-07	.200E-07	.200E-07
30	.102E-01	.514E-02	.487E-03	.843E-04	.231E-04	.139E-05	.698E-06	.110E-06	.378E-07	.267E-07	.203E-07
35	.284E-01	.150E-01	.149E-02	.243E-03	.606E-04	.134E-04	.269E-05	.157E-06	.436E-07	.287E-07	.206E-07
40	.649E-01	.364E-01	.400E-02	.637E-03	.149E-03	.296E-04	.512E-05	.223E-06	.503E-07	.308E-07	.209E-07
50	.214E+00	.136E+00	.201E-01	.338E-02	.749E-03	.128E-03	.173E-04	.620E-06	.766E-07	.381E-07	.218E-07

TAFEL DER PARABOLISCHEN CHIQUADRATVERTEILUNG

$Q(D>Z) = 1 - F(Z|NUE, P, BETA)$
 $D: = XN - BETA + PX$
 $Z: = 0$
 $NUE: = \text{FREIHEITSGRAD}$
 $P: = \text{PARAMETER DES ROTATIONS PARABOLOIDES}$
 $R: = \text{KRUEHMUNGSRADIUS}$

BETA = 6.0

NUE	R	6.0	7.0	8.0	10.0	12.0	15.0	20.0	40.0	100.0	200.0	1000.0
2	P	-.08	-.071	-.063	-.050	-.042	-.033	-.025	-.013	-.005	-.003	-.001
2		.245E-08	.200E-08	.176E-08	.150E-08	.138E-08	.127E-08	.118E-08	.108E-08	.102E-08	.101E-08	.996E-09
3		.630E-08	.421E-08	.323E-08	.233E-08	.194E-08	.164E-08	.141E-08	.117E-08	.105E-08	.102E-08	.996E-09
4		.135E-07	.792E-08	.550E-08	.349E-08	.267E-08	.209E-08	.168E-08	.126E-08	.108E-08	.103E-08	.998E-09
5		.271E-07	.143E-07	.917E-08	.516E-08	.366E-08	.267E-08	.201E-08	.137E-08	.112E-08	.105E-08	.100E-08
6		.523E-07	.252E-07	.150E-07	.756E-08	.498E-08	.339E-08	.238E-08	.149E-08	.116E-08	.107E-08	.100E-08
7		.977E-07	.433E-07	.240E-07	.110E-07	.675E-08	.429E-08	.283E-08	.161E-08	.119E-08	.108E-08	.101E-08
8		.177E-06	.729E-07	.380E-07	.158E-07	.910E-08	.542E-08	.335E-08	.175E-08	.123E-08	.110E-08	.101E-08
9		.315E-06	.121E-06	.593F-07	.226E-07	.122E-07	.684E-08	.397E-08	.190E-08	.127E-08	.112E-08	.101E-08
10		.546E-06	.197E-06	.915E-07	.320E-07	.163E-07	.860E-08	.470E-08	.205E-08	.131E-08	.113E-08	.101E-08
12		.155E-05	.501E-06	.212E-06	.634E-07	.289E-07	.135E-07	.656E-08	.241E-08	.139E-08	.117E-08	.102E-08
14		.413E-05	.121E-05	.471E-06	.123F-06	.504E-07	.211E-07	.913E-08	.283E-08	.148E-08	.121E-08	.103E-08
16		.103E-04	.281E-05	.101E-05	.233E-06	.866E-07	.327E-07	.127E-07	.332E-08	.158E-08	.124E-08	.103E-08
18		.243E-04	.622E-05	.210E-05	.432E-06	.147E-06	.502E-07	.175E-07	.390E-08	.168E-08	.128E-08	.104E-08
20		.544E-04	.132E-04	.424E-05	.787E-06	.247E-06	.766E-07	.241E-07	.456E-08	.179E-08	.132E-08	.105E-08
25		.326E-03	.740E-04	.215E-04	.326E-05	.851E-06	.214E-06	.528E-07	.677E-08	.209E-08	.143E-08	.106E-08
30		.147E-02	.331E-03	.917E-04	.120E-04	.273E-05	.569E-06	.113E-06	.999E-08	.244E-08	.155E-08	.108E-08
35		.516E-02	.121E-02	.333E-03	.401E-04	.812E-05	.145E-05	.237E-06	.147E-07	.285E-08	.167E-08	.110E-08
40		.147E-01	.371E-02	.104E-02	.121E-03	.225E-04	.354E-05	.484E-06	.215E-07	.333E-08	.181E-08	.111E-08
50		.710E-01	.220E-01	.687E-02	.825E-03	.142E-03	.185E-04	.189E-05	.452E-07	.452E-08	.211E-08	.115E-08

TAFEL DER PARABOLISCHEN CHIQUADRATVERTEILUNG

$Q(D>Z) = 1 - F(Z|NUE, P, BETA)$
 $D: = XN - BETA + PX$
 $Z: = 0$
 $NUE: = \text{FREIHEITSGRAD}$
 $P: = \text{PARAMETER DES ROTATIONS PARABOLOIDES}$
 $R: = \text{KRUEHMUNGSRADIUS}$

BETA = 6.5

$\phi(-BETA) = .404E-10$

NUE	R	6.5	7.0	8.0	10.0	12.0	15.0	20.0	40.0	100.0	200.0	1000.0
2	P	-.08	-.071	-.063	-.050	-.042	-.033	-.025	-.013	-.005	-.003	-.001
2		.100E-09	.900E-10	.772E-10	.644E-10	.581E-10	.531E-10	.490E-10	.442E-10	.418E-10	.411E-10	.406E-10
3		.261E-09	.211E-09	.154E-09	.105E-09	.850E-10	.704E-10	.597E-10	.482E-10	.432E-10	.417E-10	.406E-10
4		.565E-09	.427E-09	.280E-09	.165E-09	.121E-09	.921E-10	.722E-10	.526E-10	.445E-10	.422E-10	.408E-10
5		.116E-08	.827E-09	.493E-09	.255E-09	.172E-09	.120E-09	.875E-10	.576E-10	.462E-10	.431E-10	.408E-10
6		.227E-08	.155E-08	.849E-09	.389E-09	.242E-09	.157E-09	.106E-09	.629E-10	.477E-10	.438E-10	.410E-10
7		.431E-08	.282E-08	.143E-08	.587E-09	.338E-09	.203E-09	.127E-09	.686E-10	.494E-10	.445E-10	.411E-10
8		.799E-08	.501E-08	.238E-08	.877E-09	.470E-09	.263E-09	.154E-09	.749E-10	.511E-10	.453E-10	.412E-10
9		.145E-07	.876E-08	.390E-08	.192E-08	.897E-09	.436E-09	.222E-09	.893E-10	.546E-10	.468E-10	.415E-10
10		.257E-07	.150E-07	.631E-08	.192E-08	.897E-09	.436E-09	.222E-09	.893E-10	.546E-10	.468E-10	.415E-10
12		.771E-07	.424E-07	.159E-07	.408E-08	.168E-08	.717E-09	.321E-09	.106E-09	.584E-10	.484E-10	.417E-10
14		.217E-06	.113E-06	.387E-07	.847E-08	.311E-08	.117E-08	.460E-09	.127E-09	.625E-10	.500E-10	.420E-10
16		.578E-06	.289E-06	.906E-07	.172E-07	.566E-08	.189E-08	.659E-09	.151E-09	.669E-10	.517E-10	.423E-10
18		.146E-05	.703E-06	.205E-06	.342E-07	.102E-07	.304E-08	.940E-09	.179E-09	.716E-10	.535E-10	.426E-10
20		.352E-05	.164E-05	.448E-06	.666E-07	.180E-07	.485E-08	.213E-09	.766E-10	.553E-10	.428E-10	.428E-10
25		.258E-04	.114E-04	.277E-05	.324E-06	.712E-07	.150E-07	.316E-08	.327E-09	.907E-10	.601E-10	.436E-10
30		.145E-03	.628E-04	.143E-04	.140E-05	.260E-06	.445E-07	.731E-08	.500E-09	.107E-09	.654E-10	.443E-10
35		.638E-03	.279E-03	.618E-04	.542E-05	.880E-06	.124E-06	.165E-07	.761E-09	.127E-09	.711E-10	.451E-10
40		.226E-02	.101E-02	.228E-03	.188E-04	.277E-05	.340E-06	.364E-07	.115E-08	.150E-09	.774E-10	.459E-10
50		.164E-01	.807E-02	.202E-02	.169E-03	.221E-04	.216E-05	.165E-06	.260E-08	.209E-09	.914E-10	.474E-10

TAFEL DER PARABOLISCHEN CHIQUADRATVERTEILUNG

$Q(D>Z) = 1 - F(71NUE, P, BETA)$

BETA = 7.0

D: = $X^2 - BETA \cdot PX$

Z: = 0

NUE: = FREIHEITSGRAD

P: = PARAMETER DES ROTATIONS PARABOLOIDES

R: = $1/(2 \cdot P)$

R: = KRUEHMUNGSRADIUS

$\phi(-BETA) = .129E-11$

NUE	R	7.0	8.0	9.0	10.0	12.0	15.0	20.0	40.0	100.0	200.0	1000.0
2	P	-.07	-.063	-.056	-.050	-.042	-.033	-.025	-.013	-.005	-.003	-.001
2		.320E-11	.267E-11	.236E-11	.216E-11	.192E-11	.174E-11	.159E-11	.142E-11	.134E-11	.131E-11	.130E-11
3		.846E-11	.584E-11	.452E-11	.376E-11	.294E-11	.237E-11	.197E-11	.156E-11	.139E-11	.133E-11	.130E-11
4		.185E-10	.113E-10	.798E-11	.617E-11	.434E-11	.319E-11	.243E-11	.171E-11	.143E-11	.135E-11	.130E-11
5		.382E-10	.212E-10	.138E-10	.996E-11	.638E-11	.427E-11	.299E-11	.189E-11	.149E-11	.138E-11	.130E-11
6		.761E-10	.385E-10	.232E-10	.158E-10	.927E-11	.570E-11	.368E-11	.208E-11	.154E-11	.141E-11	.131E-11
7		.147E-09	.684E-10	.386E-10	.249E-10	.134E-10	.757E-11	.451E-11	.229E-11	.160E-11	.143E-11	.131E-11
8		.277E-09	.119E-09	.633E-10	.388E-10	.192E-10	.100E-10	.553E-11	.252E-11	.166E-11	.146E-11	.132E-11
9		.510E-09	.205E-09	.103E-09	.598E-10	.275E-10	.132E-10	.677E-11	.277E-11	.172E-11	.148E-11	.132E-11
10		.925E-09	.348E-09	.165E-09	.914E-10	.390E-10	.175E-10	.827E-11	.304E-11	.178E-11	.151E-11	.133E-11
12		.289E-08	.965E-09	.411E-09	.209E-09	.777E-10	.301E-10	.123E-10	.367E-11	.192E-11	.157E-11	.134E-11
14		.855E-08	.256E-08	.995E-09	.467E-09	.152E-09	.514E-10	.183E-10	.443E-11	.206E-11	.162E-11	.134E-11
16		.240E-07	.654E-08	.233E-08	.102E-08	.294E-09	.870E-10	.270E-10	.535E-11	.222E-11	.168E-11	.135E-11
18		.643E-07	.161E-07	.532E-08	.217E-08	.559E-09	.146E-09	.398E-10	.646E-11	.239E-11	.174E-11	.136E-11
20		.165E-06	.383E-07	.118E-07	.452E-08	.105E-08	.244E-09	.584E-10	.778E-11	.257E-11	.181E-11	.137E-11
25		.144E-05	.290E-06	.776E-07	.260E-07	.476E-08	.843E-09	.150E-09	.124E-10	.308E-11	.198E-11	.140E-11
30		.985E-05	.182E-05	.438E-06	.132E-06	.199E-07	.278E-08	.375E-09	.196E-10	.369E-11	.217E-11	.142E-11
35		.535E-04	.949E-05	.214E-05	.597E-06	.770E-07	.874E-08	.915E-09	.310E-10	.443E-11	.237E-11	.145E-11
40		.235E-03	.418E-04	.912E-05	.241E-05	.275E-06	.262E-07	.218E-08	.486E-10	.530E-11	.259E-11	.148E-11
50		.258E-02	.508E-03	.112E-03	.286E-04	.281E-05	.204E-06	.115E-07	.118E-09	.759E-11	.310E-11	.153E-11

Anhang 3

Tafeln für die Versagenswahrscheinlichkeit bei Schmiegekugeln (= Tafeln der nichtzentralen Chi-Quadratverteilung)

T A F E L D E R N I C H T Z E N T R A L E N C H I Q U A D R A T V E R T E I L U N G

$Q [X^2 (\text{LAMBDA}) > X] = 1 - F (X; \text{NUE}, \text{LAMBDA})$
 $X: = R * R$
 $\text{NUE: FWEIHEITSGRAD}$
 $\text{LAMBDA: NICHTZENTRALITAETSPARAMETER}$
 $= (P - \text{BETA}) * 2 \quad (= \text{SUMME}(\text{DELTA}(I) * \text{DELTA}(I)))$

NUE	R	2.0	4	6	8	10	13	20	40	100	200	1000
1		.455E-01	.228E-01									
2		.135E+00	.341E-01	.289E-01	.269E-01	.259E-01	.251E-01	.242E-01	.235E-01	.230E-01	.229E-01	.228E-01
3		.261E+00	.497E-01	.362E-01	.317E-01	.295E-01	.277E-01	.257E-01	.242E-01	.233E-01	.230E-01	.228E-01
4		.406E+00	.704E-01	.451E-01	.372E-01	.335E-01	.304E-01	.274E-01	.249E-01	.236E-01	.232E-01	.228E-01
5		.549E+00	.970E-01	.557E-01	.435E-01	.378E-01	.334E-01	.291E-01	.257E-01	.239E-01	.233E-01	.229E-01
6		.677E+00	.130E+00	.680E-01	.506E-01	.427E-01	.366E-01	.309E-01	.264E-01	.241E-01	.234E-01	.229E-01
7		.780E+00	.170E+00	.824E-01	.585E-01	.480E-01	.401E-01	.327E-01	.272E-01	.244E-01	.236E-01	.229E-01
8		.857E+00	.216E+00	.989E-01	.674E-01	.538E-01	.439E-01	.347E-01	.281E-01	.247E-01	.237E-01	.229E-01
9		.911E+00	.268E+00	.118E+00	.773E-01	.602E-01	.479E-01	.368E-01	.289E-01	.250E-01	.239E-01	.230E-01
10		.947E+00	.325E+00	.139E+00	.883E-01	.672E-01	.522E-01	.390E-01	.297E-01	.253E-01	.240E-01	.230E-01
12		.983E+00	.449E+00	.188E+00	.114E+00	.829E-01	.618E-01	.436E-01	.315E-01	.259E-01	.243E-01	.230E-01
14		.995E+00	.576E+00	.247E+00	.144E+00	.101E+00	.726E-01	.487E-01	.334E-01	.265E-01	.246E-01	.231E-01
16		.999E+00	.693E+00	.314E+00	.179E+00	.123E+00	.849E-01	.543E-01	.353E-01	.272E-01	.249E-01	.232E-01
18		.100E+01	.791E+00	.388E+00	.218E+00	.147E+00	.986E-01	.603E-01	.374E-01	.278E-01	.252E-01	.232E-01
20		.100E+01	.866E+00	.466E+00	.263E+00	.174E+00	.114E+00	.669E-01	.395E-01	.285E-01	.255E-01	.233E-01
25		.100E+01	.966E+00	.577E+00	.391E+00	.254E+00	.159E+00	.857E-01	.453E-01	.301E-01	.262E-01	.234E-01
30		.100E+01	.994E+00	.813E+00	.531E+00	.351E+00	.215E+00	.108E+00	.518E-01	.319E-01	.270E-01	.235E-01
35		.100E+01	.999E+00	.914E+00	.667E+00	.458E+00	.281E+00	.135E+00	.589E-01	.338E-01	.278E-01	.237E-01
40		.100E+01	.100E+01	.967E+00	.783E+00	.567E+00	.355E+00	.165E+00	.668E-01	.357E-01	.286E-01	.238E-01
50		.100E+01	.100E+01	.997E+00	.930E+00	.765E+00	.517E+00	.239E+00	.851E-01	.398E-01	.303E-01	.241E-01

B E T A = 2.0

$\phi (-\text{BETA}) = .228E-01$

T A F E L D E R N I C H T Z E N T R A L E N C H I Q U A D R A T V E R T E I L U N G

0 [X²(LAMBDA)>X] = 1 - F (X;NUE,LAMBDA)

B E T A = 2.5

X: = R*R
 NUE: FPEIHEITSGRAD
 LAMBDA: NICHTZENTRALITAETSPARAMETER
 = (2-BETA)*2 [SUMME(DELTA(I)*DELTA(I))]

φ(-BETA) = .621E-02

NUE	R	2.5	4	6	8	10	13	20	40	100	200	1000
1	.124E-01	.621E-02										
2	.439E-01	.108E-01	.839E-02	.766E-02	.730E-02	.700E-02	.669E-02	.669E-02	.644E-02	.630E-02	.625E-02	.622E-02
3	.100E+00	.179E-01	.112E-01	.949E-02	.855E-02	.788E-02	.721E-02	.721E-02	.668E-02	.639E-02	.630E-02	.623E-02
4	.181E+00	.286E-01	.148E-01	.115E-01	.998E-02	.885E-02	.776E-02	.776E-02	.692E-02	.648E-02	.634E-02	.624E-02
5	.283E+00	.439E-01	.194E-01	.139E-01	.116E-01	.993E-02	.835E-02	.835E-02	.718E-02	.657E-02	.639E-02	.625E-02
6	.396E+00	.648E-01	.251E-01	.168E-01	.135E-01	.111E-01	.898E-02	.898E-02	.744E-02	.667E-02	.648E-02	.626E-02
7	.511E+00	.923E-01	.321E-01	.202E-01	.156E-01	.124E-01	.965E-02	.965E-02	.771E-02	.676E-02	.653E-02	.627E-02
8	.519E+00	.127E+00	.407E-01	.242E-01	.180E-01	.139E-01	.104E-01	.104E-01	.798E-02	.686E-02	.653E-02	.627E-02
9	.715E+00	.169E+00	.509E-01	.288E-01	.207E-01	.155E-01	.111E-01	.111E-01	.827E-02	.696E-02	.657E-02	.628E-02
10	.794E+00	.219E+00	.532E-01	.340E-01	.238E-01	.172E-01	.119E-01	.119E-01	.857E-02	.706E-02	.662E-02	.629E-02
12	.903E+00	.336E+00	.942E-01	.470E-01	.310E-01	.212E-01	.137E-01	.137E-01	.919E-02	.726E-02	.671E-02	.631E-02
14	.960E+00	.467E+00	.135E+00	.636E-01	.399E-01	.259E-01	.157E-01	.157E-01	.985E-02	.746E-02	.681E-02	.632E-02
16	.985E+00	.598E+00	.186E+00	.844E-01	.509E-01	.315E-01	.179E-01	.179E-01	.105E-01	.767E-02	.690E-02	.634E-02
18	.995E+00	.710E+00	.248E+00	.110E+00	.641E-01	.381E-01	.204E-01	.204E-01	.113E-01	.789E-02	.700E-02	.636E-02
20	.999E+00	.812E+00	.318E+00	.140E+00	.797E-01	.457E-01	.232E-01	.232E-01	.121E-01	.811E-02	.710E-02	.638E-02
25	.100E+01	.949E+00	.517E+00	.240E+00	.131E+00	.701E-01	.315E-01	.315E-01	.143E-01	.869E-02	.735E-02	.642E-02
30	.100E+01	.990E+00	.709E+00	.367E+00	.202E+00	.104E+00	.422E-01	.422E-01	.168E-01	.931E-02	.761E-02	.647E-02
35	.100E+01	.999E+00	.852E+00	.511E+00	.292E+00	.147E+00	.557E-01	.557E-01	.196E-01	.996E-02	.788E-02	.651E-02
40	.100E+01	.100E+01	.937E+00	.652E+00	.396E+00	.202E+00	.724E-01	.724E-01	.229E-01	.107E-01	.816E-02	.656E-02
50	.100E+01	.100E+01	.993E+00	.867E+00	.619E+00	.341E+00	.117E+00	.117E+00	.309E-01	.122E-01	.873E-02	.665E-02

1 5 1

T A F E L D E R N I C H T Z E N T R A L E N C H I Q U A D R A T V E R T E I L U N G

0 [X²(LAMBDA)>X] = 1 - F (X;NUE,LAMBDA)

B E T A = 3.0

X: = R*R
 NUE: FPEIHEITSGRAD
 LAMBDA: NICHTZENTRALITAETSPARAMETER
 = (P-BETA)*2 [SUMME(DELTA(I)*DELTA(I))]

φ(-BETA) = .135E-02

NUE	R	3.0	4	6	8	10	13	20	40	100	200	1000
1	.270E-02	.135E-02										
2	.111E-01	.269E-02	.197E-02	.174E-02	.164E-02	.156E-02	.148E-02	.148E-02	.141E-02	.137E-02	.136E-02	.135E-02
3	.293E-01	.578E-02	.283E-02	.224E-02	.198E-02	.179E-02	.161E-02	.161E-02	.147E-02	.140E-02	.137E-02	.135E-02
4	.611E-01	.108E-01	.401E-02	.285E-02	.239E-02	.206E-02	.176E-02	.176E-02	.153E-02	.142E-02	.138E-02	.136E-02
5	.109E+00	.141E-01	.562E-02	.362E-02	.287E-02	.236E-02	.192E-02	.192E-02	.160E-02	.144E-02	.140E-02	.136E-02
6	.174E+00	.317E-01	.777E-02	.456E-02	.344E-02	.271E-02	.209E-02	.209E-02	.167E-02	.147E-02	.141E-02	.136E-02
7	.253E+00	.501E-01	.106E-01	.572E-02	.411E-02	.310E-02	.227E-02	.227E-02	.174E-02	.149E-02	.142E-02	.136E-02
8	.342E+00	.752E-01	.143E-01	.713E-02	.489E-02	.333E-02	.247E-02	.247E-02	.181E-02	.152E-02	.143E-02	.137E-02
9	.437E+00	.108E+00	.190E-01	.884E-02	.581E-02	.403E-02	.269E-02	.269E-02	.189E-02	.154E-02	.144E-02	.137E-02
10	.532E+00	.149E+00	.250E-01	.109E-01	.686E-02	.458E-02	.292E-02	.292E-02	.197E-02	.157E-02	.145E-02	.137E-02
12	.703E+00	.254E+00	.415E-01	.163E-01	.950E-02	.589E-02	.345E-02	.345E-02	.214E-02	.162E-02	.148E-02	.137E-02
14	.831E+00	.383E+00	.554E-01	.238E-01	.130E-01	.752E-02	.405E-02	.405E-02	.232E-02	.167E-02	.150E-02	.138E-02
16	.913E+00	.521E+00	.996E-01	.339E-01	.175E-01	.955E-02	.475E-02	.475E-02	.252E-02	.173E-02	.153E-02	.138E-02
18	.960E+00	.651E+00	.144E+00	.474E-01	.233E-01	.120E-01	.555E-02	.555E-02	.273E-02	.179E-02	.155E-02	.139E-02
20	.983E+00	.763E+00	.200E+00	.648E-01	.307E-01	.150E-01	.647E-02	.647E-02	.295E-02	.184E-02	.158E-02	.139E-02
25	.999E+00	.932E+00	.383E+00	.129E+00	.576E-01	.256E-01	.939E-02	.939E-02	.359E-02	.200E-02	.164E-02	.140E-02
30	.100E+01	.987E+00	.592E+00	.228E+00	.100E+00	.416E-01	.134E-01	.134E-01	.436E-02	.217E-02	.171E-02	.142E-02
35	.100E+01	.998E+00	.774E+00	.357E+00	.162E+00	.649E-01	.188E-01	.188E-01	.526E-02	.235E-02	.178E-02	.143E-02
40	.100E+01	.100E+01	.896E+00	.504E+00	.244E+00	.973E-01	.260E-01	.260E-01	.633E-02	.254E-02	.186E-02	.144E-02
50	.100E+01	.100E+01	.987E+00	.775E+00	.456E+00	.194E+00	.472E-01	.472E-01	.906E-02	.297E-02	.201E-02	.146E-02

1 5 1

TAFEL DER NICHTZENTRALEN CHIQUADRATVERTEILUNG

0 χ^2 (LAMBDA) > XJ = 1 - F (XJNUE, LAMBDA)

BETA = 3.5

XJ = R*R
 NUE: FREIHEITSGRAD
 LAMBDA: NICHTZENTRALITAETSPARAMETER
 LAMBDA = (R-BETA)*2 [-SUMME(DELTA(I))*DELTA(I)]

NUE	R	4	6	8	10	13	20	40	100	200	1000
1	1	.465E-03	.236E-03	.233E-03							
2	2	.219E-02	.737E-03	.371E-03	.293E-03	.275E-03	.258E-03	.244E-03	.237E-03	.235E-03	.233E-03
3	3	.657E-02	.195E-02	.582E-03	.367E-03	.324E-03	.286E-03	.257E-03	.242E-03	.237E-03	.234E-03
4	4	.156E-01	.450E-02	.898E-03	.572E-03	.382E-03	.316E-03	.269E-03	.246E-03	.239E-03	.234E-03
5	5	.315E-01	.931E-02	.136E-02	.762E-03	.449E-03	.349E-03	.283E-03	.251E-03	.242E-03	.234E-03
6	6	.566E-01	.176E-01	.204E-02	.101E-02	.527E-03	.386E-03	.297E-03	.256E-03	.244E-03	.235E-03
7	7	.926E-01	.306E-01	.300E-02	.133E-02	.617E-03	.426E-03	.311E-03	.261E-03	.246E-03	.235E-03
8	8	.140E+00	.498E-01	.173E-02	.108E-02	.721E-03	.471E-03	.327E-03	.266E-03	.249E-03	.236E-03
9	9	.200E+00	.764E-01	.619E-02	.132E-02	.841E-03	.519E-03	.343E-03	.271E-03	.251E-03	.236E-03
10	10	.269E+00	.111E+00	.870E-02	.161E-02	.979E-03	.572E-03	.360E-03	.276E-03	.253E-03	.237E-03
12	12	.426E+00	.207E+00	.164E-01	.472E-02	.132E-02	.693E-03	.395E-03	.287E-03	.258E-03	.237E-03
14	14	.586E+00	.331E+00	.292E-01	.750E-02	.177E-02	.837E-03	.434E-03	.298E-03	.263E-03	.238E-03
16	16	.727E+00	.470E+00	.490E-01	.110E-01	.234E-02	.101E-02	.477E-03	.309E-03	.268E-03	.239E-03
18	18	.834E+00	.608E+00	.781E-01	.175E-01	.309E-02	.121E-02	.524E-03	.321E-03	.273E-03	.240E-03
20	20	.907E+00	.729E+00	.118E+00	.259E-01	.404E-02	.145E-02	.574E-03	.333E-03	.278E-03	.241E-03
25	25	.984E+00	.919E+00	.270E+00	.615E-01	.766E-02	.225E-02	.721E-03	.365E-03	.291E-03	.243E-03
30	30	.998E+00	.984E+00	.478E+00	.127E+00	.138E-01	.344E-02	.903E-03	.401E-03	.305E-03	.246E-03
35	35	.100E+01	.998E+00	.686E+00	.227E+00	.781E-01	.515E-02	.112E-02	.439E-03	.320E-03	.248E-03
40	40	.100E+01	.100E+01	.844E+00	.132E+00	.396E-01	.758E-02	.140E-02	.481E-03	.335E-03	.250E-03
50	50	.100E+01	.100E+01	.978E+00	.662E+00	.950E-01	.156E-01	.213E-02	.576E-03	.367E-03	.255E-03

TAFEL DER NICHTZENTRALEN CHIQUADRATVERTEILUNG

0 χ^2 (LAMBDA) > XJ = 1 - F (XJNUE, LAMBDA)

BETA = 4.0

XJ = R*R
 NUE: FREIHEITSGRAD
 LAMBDA: NICHTZENTRALITAETSPARAMETER
 LAMBDA = (R-BETA)*2 [-SUMME(DELTA(I))*DELTA(I)]

NUE	R	4.0	6	8	10	12	15	20	40	100	200	1000
1	1	.633E-04	.317E-04									
2	2	.335E-03	.565E-04	.456E-04	.392E-04	.373E-04	.356E-04	.335E-04	.324E-04	.320E-04	.317E-04	.317E-04
3	3	.113E-02	.986E-04	.651E-04	.540E-04	.484E-04	.438E-04	.400E-04	.354E-04	.324E-04	.318E-04	.318E-04
4	4	.302E-02	.169E-03	.923E-04	.700E-04	.596E-04	.515E-04	.450E-04	.374E-04	.327E-04	.319E-04	.319E-04
5	5	.684E-02	.283E-03	.130E-03	.905E-04	.732E-04	.603E-04	.505E-04	.395E-04	.331E-04	.319E-04	.319E-04
6	6	.138E-01	.464E-03	.182E-03	.117E-03	.897E-04	.706E-04	.566E-04	.418E-04	.353E-04	.320E-04	.320E-04
7	7	.251E-01	.747E-03	.252E-03	.144E-03	.110E-03	.825E-04	.634E-04	.441E-04	.360E-04	.321E-04	.321E-04
8	8	.424E-01	.118E-02	.346E-03	.191E-03	.134E-03	.963E-04	.710E-04	.466E-04	.368E-04	.321E-04	.321E-04
9	9	.609E-01	.182E-02	.473E-03	.243E-03	.163E-03	.112E-03	.794E-04	.492E-04	.376E-04	.322E-04	.322E-04
10	10	.996E-01	.277E-02	.641E-03	.308E-03	.197E-03	.131E-03	.888E-04	.519E-04	.384E-04	.323E-04	.323E-04
12	12	.191E+00	.602E-02	.115E-02	.488E-03	.289E-03	.176E-03	.111E-03	.579E-04	.401E-04	.324E-04	.324E-04
14	14	.313E+00	.122E-01	.201E-02	.762E-03	.418E-03	.236E-03	.138E-03	.644E-04	.418E-04	.326E-04	.326E-04
16	16	.493E+00	.230E-01	.341E-02	.117E-02	.598E-03	.315E-03	.171E-03	.717E-04	.436E-04	.327E-04	.327E-04
18	18	.593E+00	.406E-01	.563E-02	.177E-02	.849E-03	.418E-03	.211E-03	.866E-04	.475E-04	.330E-04	.330E-04
20	20	.717E+00	.674E-01	.902E-02	.265E-02	.119E-02	.551E-03	.260E-03	.886E-04	.475E-04	.330E-04	.330E-04
25	25	.915E+00	.186E+00	.260E-01	.671E-02	.268E-02	.107E-02	.433E-03	.528E-04	.408E-04	.333E-04	.333E-04
30	30	.983E+00	.379E+00	.635E-01	.155E-01	.566E-02	.201E-02	.709E-03	.586E-04	.430E-04	.337E-04	.337E-04
35	35	.998E+00	.600E+00	.133E+00	.327E-01	.113E-01	.365E-02	.114E-02	.650E-04	.454E-04	.340E-04	.340E-04
40	40	.100E+01	.787E+00	.245E+00	.630E-01	.212E-01	.179E-02	.245E-03	.721E-04	.478E-04	.344E-04	.344E-04
50	50	.100E+01	.967E+00	.538E+00	.142E+00	.631E-01	.422E-02	.397E-03	.884E-04	.530E-04	.351E-04	.351E-04

TAFEL DER NICHTZENTRALEN CHIQUADRATVERTEILUNG

$Q(X^2(\lambda) > X) = 1 - F(X; \nu, \lambda)$

X: FREIHEITSGRAD
 NUE: NICHTZENTRALITÄTSPARAMETER
 LAMBDA: $(R - \beta) / 2$

BETA = 4.5
 $\phi(-\beta) = .340E-05$

NUE	R	4.5	6	8	10	12	15	20	40	100	200	1000
1		.679E-05	.340E-05									
2		.401E-04	.701E-05	.522E-05	.464E-05	.434E-05	.409E-05	.388E-05	.362E-05	.348E-05	.344E-05	.340E-05
3		.151E-03	.141E-04	.796E-05	.630E-05	.553E-05	.492E-05	.443E-05	.385E-05	.357E-05	.348E-05	.341E-05
4		.446E-03	.274E-04	.120E-04	.833E-05	.702E-05	.591E-05	.505E-05	.410E-05	.365E-05	.352E-05	.342E-05
5		.112E-02	.519E-04	.180E-04	.115E-04	.890E-05	.708E-05	.576E-05	.436E-05	.374E-05	.356E-05	.343E-05
6		.250E-02	.958E-04	.268E-04	.154E-04	.112E-04	.848E-05	.655E-05	.464E-05	.383E-05	.361E-05	.343E-05
7		.505E-02	.172E-03	.394E-04	.206E-04	.142E-04	.101E-04	.746E-05	.493E-05	.392E-05	.365E-05	.344E-05
8		.943E-02	.300E-03	.575E-04	.274E-04	.178E-04	.121E-04	.848E-05	.524E-05	.402E-05	.369E-05	.345E-05
9		.164E-01	.512E-03	.833E-04	.427E-04	.279E-04	.171E-04	.109E-04	.669E-05	.442E-05	.374E-05	.346E-05
10		.270E-01	.849E-03	.119E-03	.478E-04	.279E-04	.144E-04	.963E-05	.557E-05	.412E-05	.369E-05	.345E-05
12		.627E-01	.217E-02	.240E-03	.819E-04	.433E-04	.241E-04	.140E-04	.669E-05	.442E-05	.378E-05	.347E-05
14		.122E+00	.507E-02	.465E-03	.138E-03	.665E-04	.470E-04	.230E-04	.851E-05	.486E-05	.406E-05	.352E-05
16		.209E+00	.104E-01	.873E-03	.229E-03	.101E-03	.651E-04	.293E-04	.959E-05	.510E-05	.416E-05	.353E-05
18		.319E+00	.213E-01	.158E-02	.372E-03	.152E-03	.895E-04	.372E-04	.108E-04	.534E-05	.426E-05	.355E-05
20		.442E+00	.389E-01	.278E-02	.596E-03	.225E-03	.193E-03	.667E-04	.145E-04	.601E-05	.451E-05	.359E-05
25		.734E+00	.130E+00	.993E-02	.179E-02	.402E-03	.402E-03	.117E-03	.193E-04	.676E-05	.479E-05	.363E-05
30		.910E+00	.302E+00	.202E-01	.486E-02	.140E-02	.805E-03	.202E-03	.257E-04	.759E-05	.507E-05	.368E-05
35		.978E+00	.525E+00	.720E-01	.866E-02	.140E-02	.156E-02	.342E-03	.341E-04	.852E-05	.538E-05	.372E-05
40		.996E+00	.733E+00	.150E+00	.264E-01	.672E-02	.156E-02	.342E-03	.341E-04	.852E-05	.538E-05	.372E-05
50		.100E+01	.954E+00	.419E+00	.977E-01	.251E-01	.520E-02	.926E-03	.590E-04	.107E-04	.604E-05	.381E-05

TAFEL DER NICHTZENTRALEN CHIQUADRATVERTEILUNG

$Q(X^2(\lambda) > X) = 1 - F(X; \nu, \lambda)$

X: FREIHEITSGRAD
 NUE: NICHTZENTRALITÄTSPARAMETER
 LAMBDA: $(R - \beta) / 2$

BETA = 5.0
 $\phi(-\beta) = .287E-06$

NUE	R	5.0	6	8	10	12	15	20	40	100	200	1000
1		.573E-06	.287E-06									
2		.373E-05	.729E-06	.476E-06	.410E-06	.379E-06	.354E-06	.333E-06	.308E-06	.294E-06	.291E-06	.287E-06
3		.154E-04	.177E-05	.792E-06	.504E-06	.499E-06	.435E-06	.386E-06	.330E-06	.302E-06	.295E-06	.287E-06
4		.503E-04	.413E-05	.127E-05	.827E-06	.656E-06	.535E-06	.447E-06	.330E-06	.310E-06	.298E-06	.287E-06
5		.139E-03	.921E-05	.205E-05	.117E-05	.859E-06	.657E-06	.517E-06	.378E-06	.319E-06	.302E-06	.287E-06
6		.341E-03	.197E-04	.326E-05	.164E-05	.112E-05	.805E-06	.599E-06	.405E-06	.327E-06	.306E-06	.287E-06
7		.759E-03	.404E-04	.515E-05	.229E-05	.146E-05	.985E-06	.692E-06	.434E-06	.336E-06	.310E-06	.287E-06
8		.155E-02	.798E-04	.804E-05	.316E-05	.190E-05	.799E-06	.464E-06	.345E-06	.315E-06	.288E-06	.287E-06
9		.247E-02	.152E-03	.124E-04	.439E-05	.246E-05	.147E-05	.922E-06	.497E-06	.354E-06	.319E-06	.289E-06
10		.351E-02	.279E-03	.190E-04	.605E-05	.317E-05	.179E-05	.106E-05	.532E-06	.364E-06	.323E-06	.290E-06
12		.148E-01	.511E-03	.432E-04	.113E-04	.524E-05	.263E-05	.141E-05	.609E-06	.384E-06	.331E-06	.291E-06
14		.346E-01	.230E-02	.944E-04	.207E-04	.857E-05	.386E-05	.186E-05	.696E-06	.404E-06	.340E-06	.293E-06
16		.699E-01	.555E-02	.194E-03	.371E-04	.138E-04	.562E-05	.246E-05	.796E-06	.426E-06	.349E-06	.294E-06
18		.125E+00	.121E-01	.401E-03	.654E-04	.221E-04	.814E-05	.323E-05	.909E-06	.449E-06	.358E-06	.296E-06
20		.201E+00	.241E-01	.780E-03	.113E-03	.349E-04	.117E-04	.423E-05	.104E-05	.473E-06	.368E-06	.297E-06
25		.462E+00	.953E-01	.350E-02	.410E-03	.282E-04	.818E-05	.144E-05	.539E-06	.392E-06	.301E-06	.301E-06
30		.725E+00	.248E+00	.126E-01	.132E-02	.289E-03	.155E-04	.199E-05	.613E-06	.419E-06	.305E-06	.305E-06
35		.895E+00	.468E+00	.770E-01	.781E-02	.749E-03	.145E-03	.288E-04	.274E-05	.698E-06	.447E-06	.309E-06
40		.969E+00	.689E+00	.895E-01	.983E-02	.181E-02	.311E-03	.526E-04	.375E-05	.794E-06	.476E-06	.314E-06
50		.999E+00	.943E+00	.115E+00	.476E-01	.867E-02	.127E-02	.164E-03	.695E-05	.102E-05	.542E-06	.322E-06

Anhang 4

Tafeln für einen Korrekturfaktor für den Sicherheitsindex β

Tafel 1

β	0	5	10	15	20	25	30	35	40	45	50	55	60	65	70	75	80	85	90	95	100	
0	100000	99999	99998	99997	99996	99995	99994	99993	99992	99991	99990	99989	99988	99987	99986	99985	99984	99983	99982	99981	99980	99979
1	99978	99977	99976	99975	99974	99973	99972	99971	99970	99969	99968	99967	99966	99965	99964	99963	99962	99961	99960	99959	99958	99957
2	99956	99955	99954	99953	99952	99951	99950	99949	99948	99947	99946	99945	99944	99943	99942	99941	99940	99939	99938	99937	99936	99935
3	99934	99933	99932	99931	99930	99929	99928	99927	99926	99925	99924	99923	99922	99921	99920	99919	99918	99917	99916	99915	99914	99913
4	99912	99911	99910	99909	99908	99907	99906	99905	99904	99903	99902	99901	99900	99899	99898	99897	99896	99895	99894	99893	99892	99891
5	99890	99889	99888	99887	99886	99885	99884	99883	99882	99881	99880	99879	99878	99877	99876	99875	99874	99873	99872	99871	99870	99869
6	99868	99867	99866	99865	99864	99863	99862	99861	99860	99859	99858	99857	99856	99855	99854	99853	99852	99851	99850	99849	99848	99847
7	99846	99845	99844	99843	99842	99841	99840	99839	99838	99837	99836	99835	99834	99833	99832	99831	99830	99829	99828	99827	99826	99825
8	99824	99823	99822	99821	99820	99819	99818	99817	99816	99815	99814	99813	99812	99811	99810	99809	99808	99807	99806	99805	99804	99803
9	99802	99801	99800	99799	99798	99797	99796	99795	99794	99793	99792	99791	99790	99789	99788	99787	99786	99785	99784	99783	99782	99781
10	99780	99779	99778	99777	99776	99775	99774	99773	99772	99771	99770	99769	99768	99767	99766	99765	99764	99763	99762	99761	99760	99759
11	99758	99757	99756	99755	99754	99753	99752	99751	99750	99749	99748	99747	99746	99745	99744	99743	99742	99741	99740	99739	99738	99737
12	99736	99735	99734	99733	99732	99731	99730	99729	99728	99727	99726	99725	99724	99723	99722	99721	99720	99719	99718	99717	99716	99715
13	99714	99713	99712	99711	99710	99709	99708	99707	99706	99705	99704	99703	99702	99701	99700	99699	99698	99697	99696	99695	99694	99693
14	99692	99691	99690	99689	99688	99687	99686	99685	99684	99683	99682	99681	99680	99679	99678	99677	99676	99675	99674	99673	99672	99671
15	99670	99669	99668	99667	99666	99665	99664	99663	99662	99661	99660	99659	99658	99657	99656	99655	99654	99653	99652	99651	99650	99649
16	99648	99647	99646	99645	99644	99643	99642	99641	99640	99639	99638	99637	99636	99635	99634	99633	99632	99631	99630	99629	99628	99627
17	99626	99625	99624	99623	99622	99621	99620	99619	99618	99617	99616	99615	99614	99613	99612	99611	99610	99609	99608	99607	99606	99605
18	99604	99603	99602	99601	99600	99599	99598	99597	99596	99595	99594	99593	99592	99591	99590	99589	99588	99587	99586	99585	99584	99583
19	99582	99581	99580	99579	99578	99577	99576	99575	99574	99573	99572	99571	99570	99569	99568	99567	99566	99565	99564	99563	99562	99561
20	99560	99559	99558	99557	99556	99555	99554	99553	99552	99551	99550	99549	99548	99547	99546	99545	99544	99543	99542	99541	99540	99539
21	99538	99537	99536	99535	99534	99533	99532	99531	99530	99529	99528	99527	99526	99525	99524	99523	99522	99521	99520	99519	99518	99517
22	99516	99515	99514	99513	99512	99511	99510	99509	99508	99507	99506	99505	99504	99503	99502	99501	99500	99499	99498	99497	99496	99495
23	99494	99493	99492	99491	99490	99489	99488	99487	99486	99485	99484	99483	99482	99481	99480	99479	99478	99477	99476	99475	99474	99473
24	99472	99471	99470	99469	99468	99467	99466	99465	99464	99463	99462	99461	99460	99459	99458	99457	99456	99455	99454	99453	99452	99451
25	99450	99449	99448	99447	99446	99445	99444	99443	99442	99441	99440	99439	99438	99437	99436	99435	99434	99433	99432	99431	99430	99429
26	99428	99427	99426	99425	99424	99423	99422	99421	99420	99419	99418	99417	99416	99415	99414	99413	99412	99411	99410	99409	99408	99407
27	99406	99405	99404	99403	99402	99401	99400	99399	99398	99397	99396	99395	99394	99393	99392	99391	99390	99389	99388	99387	99386	99385
28	99384	99383	99382	99381	99380	99379	99378	99377	99376	99375	99374	99373	99372	99371	99370	99369	99368	99367	99366	99365	99364	99363
29	99362	99361	99360	99359	99358	99357	99356	99355	99354	99353	99352	99351	99350	99349	99348	99347	99346	99345	99344	99343	99342	99341
30	99340	99339	99338	99337	99336	99335	99334	99333	99332	99331	99330	99329	99328	99327	99326	99325	99324	99323	99322	99321	99320	99319
31	99318	99317	99316	99315	99314	99313	99312	99311	99310	99309	99308	99307	99306	99305	99304	99303	99302	99301	99300	99299	99298	99297
32	99296	99295	99294	99293	99292	99291	99290	99289	99288	99287	99286	99285	99284	99283	99282	99281	99280	99279	99278	99277	99276	99275
33	99274	99273	99272	99271	99270	99269	99268	99267	99266	99265	99264	99263	99262	99261	99260	99259	99258	99257	99256	99255	99254	99253
34	99252	99251	99250	99249	99248	99247	99246	99245	99244	99243	99242	99241	99240	99239	99238	99237	99236	99235	99234	99233	99232	99231
35	99230	99229	99228	99227	99226	99225	99224	99223	99222	99221	99220	99219	99218	99217	99216	99215	99214	99213	99212	99211	99210	99209
36	99208	99207	99206	99205	99204	99203	99202	99201	99200	99199	99198	99197	99196	99195	99194	99193	99192	99191	99190	99189	99188	99187
37	99186	99185	99184	99183	99182	99181	99180	99179	99178	99177	99176	99175	99174	99173	99172	99171	99170	99169	99168	99167	99166	99165
38	99164	99163	99162	99161	99160	99159	99158	99157	99156	99155	99154	99153	99152	99151	99150	99149	99148	99147	99146	99145	99144	99143
39	99142	99141	99140	99139	99138	99137	99136	99135	99134	99133	99132	99131	99130	99129	99128	99127	99126	99125	99124	99123	99122	99121
40	99120	99119	99118	99117	99116	99115	99114	99113	99112	99111	99110	99109	99108	99107	99106	99105	99104	99103	99102	99101	99100	99099
41	99098	99097	99096	99095	99094	99093	99092	99091	99090	99089	99088	99087	99086	99085	99084	99083	99082	99081	99080	99079	99078	99077
42	99076	99075	99074	99073	99072	99071	99070	99069	99068	99067	99066	99065	99064	99063	99062	99061	99060	99059	99058	99057	99056	99055
43	99054	99053	99052	99051	99050	99049	99048	99047	99046	99045	99044	99043	99042	99041	99040	99039	99038	99037	99036	99035	99034	99033
44	99032	99031	99030	99029	99028	99027	99026	99025	99024	99023	99022	99021	99020	99019	99018	99017	99016	99015	99014	99013	99012	99011
45	99010	99009	99008	99007	99006	99005	99004	99003	99002	99001	99000	98999	98998	98997	98996	98995	98994	98993	98992	98991	98990	98989
46	98988	98987	98986	98985	98984	98983	98982	98981	98980	98979	98978	98977	98976	98975	98974	98973	98972</					

Tafeln für einen Korrekturfaktor für den
Sicherheitsindex β

Anhang 4

T A F E L D E S F A K T O R S R O H F U E R D E N S I C H E R H E I T S I N D E X B E T A

DIESE TAFELWERTE KORRESPONDIEREN MIT DEN TAFELWERTEN (PF) DER
PARABOLISCHEN CHIDUPATVERTEILUNG FÜR BETA = 2.0

ROH = KOREKTURFAKTOR FÜR BETA
 $\beta = 1 - (PF) / BETA$
 NIIF = FREIHEITSGRAD
 PI = PARAMETER DES ROTATIONS-PARABOLOIDES
 R = 1 / (2 * PI)
 R = KRÜMMUNGSRADIUS

N U E	R	P	2.0	4.0	6.0	8.0	10.0	13.0	20.0	40.0	100.0	200.0	1000.0
2	1.082	1.049	1.035	1.027	1.022	1.017	1.011	1.006	1.001	1.006	1.002	1.001	1.000
3	1.164	1.099	1.071	1.056	1.046	1.036	1.024	1.013	1.003	1.013	1.005	1.003	1.001
4	1.244	1.149	1.107	1.084	1.069	1.055	1.037	1.020	1.005	1.020	1.009	1.005	1.002
5	1.318	1.195	1.141	1.110	1.091	1.071	1.048	1.025	1.005	1.025	1.010	1.005	1.002
6	1.391	1.242	1.175	1.137	1.113	1.089	1.060	1.031	1.007	1.031	1.015	1.007	1.002
7	1.463	1.289	1.210	1.164	1.135	1.107	1.072	1.037	1.008	1.037	1.015	1.008	1.002
8	1.534	1.335	1.244	1.191	1.157	1.124	1.083	1.043	1.009	1.043	1.018	1.009	1.002
9	1.602	1.380	1.277	1.218	1.180	1.142	1.095	1.049	1.011	1.049	1.020	1.011	1.003
10	1.670	1.425	1.311	1.245	1.202	1.159	1.107	1.055	1.012	1.055	1.023	1.012	1.003
12	1.800	1.513	1.377	1.298	1.246	1.194	1.131	1.068	1.015	1.068	1.028	1.015	1.004
14	1.927	1.600	1.443	1.350	1.289	1.229	1.154	1.080	1.017	1.080	1.033	1.017	1.004
16	2.049	1.684	1.507	1.402	1.332	1.264	1.178	1.092	1.019	1.092	1.038	1.019	1.005
18	2.167	1.767	1.571	1.453	1.375	1.298	1.201	1.104	1.022	1.104	1.043	1.022	1.005
20	2.282	1.849	1.634	1.504	1.418	1.332	1.224	1.116	1.024	1.116	1.048	1.024	1.006
25	2.557	2.047	1.788	1.630	1.524	1.418	1.282	1.146	1.031	1.146	1.060	1.031	1.007
30	2.817	2.238	1.939	1.754	1.628	1.502	1.340	1.176	1.043	1.176	1.072	1.043	1.008
35	3.065	2.422	2.085	1.875	1.731	1.586	1.401	1.201	1.043	1.201	1.085	1.043	1.009
40	3.302	2.601	2.228	1.994	1.833	1.668	1.449	1.249	1.049	1.249	1.097	1.049	1.010
50	3.750	2.943	2.506	2.226	2.032	1.832	1.581	1.340	1.061	1.340	1.121	1.061	1.013

TAFEL DES FAKTORS ROHFUER DEN SICHERHEITSINDEX BETA

DIESE TAFELWERTE KORRESPONDIEREN MIT DEN TAFELWERTEN (PF) DER PARABOLISCHEN CHIQUADRATVERTEILUNG FUER BETA = 2.5

ROH = KOREKTURFAKTOR FUER BETA
 $\text{NUE} = \phi^{-1}(\text{PF})/\text{BETA}$
 NUF: = FREIHEITSGRAD
 P: = PARAMETER DES ROTATIONS PARABOLOIDES
 $= 1/(2 \cdot \text{R})$
 R: = KRUEMMUNGSRADIUS

NUE	R	2.5	4.0	6.0	8.0	10.0	13.0	20.0	40.0	100.0	200.0	1000.0
	P	.20	.125	.083	.063	.050	.038	.025	.013	.005	.003	.001
2		1.053	1.038	1.027	1.021	1.017	1.014	1.009	1.005	1.002	1.001	1.000
3		1.107	1.076	1.055	1.043	1.036	1.028	1.019	1.010	1.004	1.002	1.001
4		1.160	1.115	1.083	1.066	1.054	1.043	1.029	1.015	1.007	1.004	1.001
5		1.209	1.150	1.109	1.086	1.071	1.056	1.038	1.020	1.008	1.004	1.001
6		1.259	1.187	1.136	1.107	1.088	1.070	1.047	1.025	1.010	1.005	1.001
7		1.307	1.222	1.163	1.128	1.106	1.084	1.057	1.029	1.012	1.006	1.002
8		1.355	1.258	1.189	1.149	1.123	1.098	1.066	1.034	1.014	1.007	1.002
9		1.402	1.293	1.216	1.170	1.141	1.112	1.075	1.039	1.016	1.008	1.002
10		1.448	1.328	1.242	1.191	1.158	1.125	1.085	1.044	1.018	1.009	1.002
12		1.539	1.397	1.293	1.233	1.193	1.153	1.103	1.054	1.022	1.011	1.003
14		1.627	1.464	1.344	1.274	1.227	1.180	1.122	1.063	1.026	1.013	1.003
16		1.712	1.530	1.395	1.314	1.261	1.208	1.140	1.073	1.030	1.015	1.004
18		1.796	1.595	1.445	1.355	1.295	1.235	1.159	1.083	1.034	1.017	1.004
20		1.877	1.658	1.494	1.395	1.328	1.262	1.177	1.092	1.038	1.019	1.004
25		2.073	1.813	1.615	1.493	1.411	1.329	1.223	1.116	1.048	1.024	1.005
30		2.260	1.963	1.733	1.590	1.494	1.395	1.269	1.140	1.058	1.029	1.006
35		2.439	2.108	1.848	1.686	1.575	1.461	1.315	1.164	1.067	1.034	1.007
40		2.612	2.248	1.961	1.779	1.655	1.527	1.360	1.188	1.077	1.039	1.008
50		2.939	2.518	2.179	1.963	1.812	1.656	1.451	1.236	1.097	1.049	1.010

TAFEL DES FAKTORS ROHFUER DEN SICHERHEITSINDEX BETA

DIESE TAFELWERTE KORRESPONDIEREN MIT DEN TAFELWERTEN (PF) DER PARABOLISCHEN CHIQUADRATVERTEILUNG FUER BETA = 3.0

ROH = KOREKTURFAKTOR FUER BETA
 $\text{NUE} = \phi^{-1}(\text{PF})/\text{BETA}$
 NUF: = FREIHEITSGRAD
 P: = PARAMETER DES ROTATIONS PARABOLOIDES
 $= 1/(2 \cdot \text{R})$
 R: = KRUEMMUNGSRADIUS

NUE	R	3.0	4.0	6.0	8.0	10.0	13.0	20.0	40.0	100.0	200.0	1000.0
	P	.17	.125	.083	.063	.050	.038	.025	.013	.005	.003	.001
2		1.037	1.030	1.022	1.017	1.014	1.011	1.007	1.004	1.001	1.001	1.000
3		1.075	1.061	1.045	1.035	1.029	1.023	1.016	1.008	1.003	1.002	1.001
4		1.113	1.092	1.067	1.053	1.044	1.035	1.024	1.013	1.006	1.003	1.001
5		1.148	1.121	1.089	1.070	1.058	1.046	1.031	1.016	1.007	1.004	1.001
6		1.183	1.150	1.110	1.087	1.072	1.057	1.039	1.020	1.008	1.004	1.001
7		1.218	1.179	1.132	1.104	1.087	1.069	1.047	1.024	1.010	1.005	1.001
8		1.253	1.208	1.153	1.122	1.101	1.080	1.054	1.028	1.012	1.006	1.002
9		1.287	1.236	1.175	1.139	1.115	1.091	1.062	1.032	1.013	1.007	1.002
10		1.320	1.264	1.196	1.156	1.129	1.103	1.070	1.036	1.015	1.008	1.002
12		1.386	1.320	1.238	1.189	1.157	1.125	1.085	1.044	1.018	1.009	1.002
14		1.451	1.374	1.279	1.223	1.185	1.148	1.100	1.052	1.022	1.011	1.003
16		1.514	1.428	1.321	1.256	1.213	1.170	1.116	1.060	1.025	1.013	1.003
18		1.576	1.480	1.361	1.289	1.241	1.193	1.131	1.068	1.028	1.014	1.003
20		1.636	1.532	1.401	1.322	1.268	1.215	1.146	1.076	1.031	1.016	1.004
25		1.783	1.659	1.500	1.403	1.337	1.270	1.184	1.096	1.040	1.020	1.004
30		1.924	1.781	1.597	1.482	1.404	1.325	1.222	1.116	1.048	1.024	1.005
35		2.060	1.899	1.691	1.560	1.470	1.379	1.260	1.136	1.056	1.028	1.006
40		2.191	2.014	1.783	1.637	1.536	1.433	1.297	1.156	1.064	1.032	1.007
50		2.442	2.236	1.962	1.787	1.665	1.539	1.371	1.196	1.080	1.041	1.008

TAFEL DES FAKTORS ROH FUER DEN SICHERHEITSINDEX BETA

DIESE TAFELWERTE KORRESPONDIEREN MIT DEN TAFELWERTEN (PF) DER PARABOLISCHEN CHIQUADRATVERTEILUNG FUER BETA = 3.5

ROH = KOREKTURFAKTOR FUER BETA

NUE = $\phi - 1 (PF) / BETA$

NUF = FREIHEITSGRAD

P = PARAMETER DES ROTATIONS-PARABOLOIDES

R = $1 / (2 * R)$

R1 = KRUEMMUNGSRADIUS

BETA = 3.5
 $\phi(-BETA) = .233E-03$

NUE	R	3.5	4.0	6.0	8.0	10.0	13.0	20.0	40.0	100.0	200.0	1000.0
	P	.14	.125	.083	.063	.050	.038	.025	.013	.005	.003	.001
2		1.027	1.025	1.018	1.014	1.012	1.009	1.006	1.003	1.001	1.001	1.000
3		1.055	1.050	1.037	1.029	1.024	1.019	1.013	1.007	1.003	1.001	1.000
4		1.084	1.076	1.056	1.045	1.037	1.030	1.020	1.011	1.005	1.003	1.001
5		1.110	1.100	1.074	1.059	1.049	1.039	1.026	1.014	1.006	1.003	1.001
6		1.136	1.124	1.092	1.073	1.061	1.048	1.033	1.017	1.007	1.004	1.001
7		1.162	1.148	1.110	1.088	1.073	1.058	1.039	1.021	1.009	1.004	1.001
8		1.188	1.172	1.128	1.102	1.085	1.068	1.046	1.024	1.010	1.005	1.001
9		1.214	1.196	1.146	1.116	1.097	1.077	1.052	1.027	1.011	1.006	1.001
10		1.240	1.219	1.163	1.130	1.109	1.087	1.059	1.031	1.013	1.007	1.002
12		1.290	1.265	1.199	1.159	1.132	1.106	1.072	1.038	1.016	1.008	1.002
14		1.339	1.311	1.233	1.187	1.156	1.125	1.085	1.045	1.018	1.009	1.002
16		1.388	1.356	1.268	1.215	1.179	1.144	1.098	1.051	1.021	1.011	1.002
18		1.435	1.400	1.302	1.243	1.203	1.162	1.111	1.058	1.024	1.012	1.003
20		1.482	1.443	1.336	1.270	1.226	1.181	1.124	1.065	1.027	1.014	1.003
25		1.596	1.549	1.419	1.338	1.283	1.228	1.156	1.082	1.034	1.017	1.004
30		1.706	1.652	1.500	1.405	1.340	1.274	1.188	1.099	1.041	1.021	1.004
35		1.812	1.752	1.579	1.471	1.396	1.320	1.220	1.116	1.048	1.024	1.005
40		1.916	1.849	1.657	1.536	1.452	1.365	1.252	1.133	1.055	1.028	1.006
50		2.114	2.035	1.808	1.663	1.561	1.455	1.315	1.167	1.069	1.035	1.007

TAFEL DES FAKTORS ROH FUER DEN SICHERHEITSINDEX BETA

DIESE TAFELWERTE KORRESPONDIEREN MIT DEN TAFELWERTEN (PF) DER PARABOLISCHEN CHIQUADRATVERTEILUNG FUER BETA = 4.0

ROH = KOREKTURFAKTOR FUER BETA

NUE = $\phi - 1 (PF) / BETA$

NUF = FREIHEITSGRAD

P = PARAMETER DES POTATIONS-PARABOLOIDES

R = $1 / (2 * R)$

R1 = KRUEMMUNGSRADIUS

BETA = 4.0
 $\phi(-BETA) = .317E-04$

NUE	R	4.0	6.0	8.0	10.0	12.0	15.0	20.0	40.0	100.0	200.0	1000.0
	P	.13	.083	.063	.050	.042	.033	.025	.013	.005	.003	.001
2		1.021	1.016	1.012	1.010	1.009	1.007	1.005	1.003	1.001	1.000	1.000
3		1.043	1.032	1.025	1.021	1.018	1.015	1.011	1.006	1.002	1.001	1.000
4		1.064	1.048	1.038	1.032	1.027	1.022	1.017	1.009	1.004	1.002	1.001
5		1.084	1.063	1.050	1.042	1.036	1.029	1.023	1.012	1.005	1.003	1.001
6		1.105	1.078	1.063	1.052	1.045	1.037	1.028	1.015	1.006	1.003	1.001
7		1.125	1.094	1.075	1.062	1.053	1.044	1.034	1.018	1.007	1.004	1.001
8		1.146	1.109	1.087	1.073	1.062	1.051	1.040	1.021	1.009	1.004	1.001
9		1.166	1.124	1.099	1.083	1.071	1.059	1.045	1.024	1.010	1.005	1.001
10		1.186	1.139	1.112	1.093	1.080	1.066	1.051	1.027	1.011	1.006	1.001
12		1.225	1.169	1.136	1.114	1.098	1.080	1.062	1.033	1.014	1.007	1.002
14		1.264	1.199	1.160	1.134	1.115	1.095	1.074	1.039	1.016	1.008	1.002
16		1.302	1.229	1.184	1.154	1.132	1.109	1.085	1.045	1.018	1.009	1.002
18		1.340	1.258	1.208	1.174	1.150	1.124	1.096	1.051	1.021	1.011	1.002
20		1.377	1.287	1.232	1.194	1.167	1.138	1.107	1.056	1.023	1.012	1.003
25		1.468	1.358	1.290	1.244	1.210	1.174	1.135	1.071	1.029	1.015	1.003
30		1.556	1.428	1.348	1.293	1.253	1.209	1.163	1.086	1.036	1.018	1.004
35		1.642	1.496	1.404	1.341	1.295	1.245	1.191	1.101	1.042	1.021	1.004
40		1.725	1.563	1.460	1.389	1.337	1.280	1.218	1.115	1.048	1.024	1.005
50		1.886	1.693	1.570	1.483	1.419	1.349	1.273	1.145	1.060	1.030	1.006

TAFEL DES FAKTORS ROH FÜR DEN SICHERHEITSINDEX BETA

DIESE TAFELWERTE KORRESPONDIEREN MIT DEN TAFELWERTEN (PF) DER PARABOLISCHEN CHIQUADRATVERTEILUNG FÜR BETA = 4,5

BETA = 4,5

ROH = KOREKTURFAKTOR FÜR BETA
 = $\phi^{-1}(PF)/BETA$
 NU: = FREIHEITSGRAD
 P: = PARAMETER DES ROTATIONS-PARABOLOIDES
 = $1/(2 \cdot R)$
 R: = KRÜMMUNGSRADIUS

$\phi(-BETA) = .340E-05$

NU: E	R	4,5	6,0	8,0	10,0	12,0	15,0	20,0	40,0	100,0	200,0	1000,0
	P	.11	.083	.063	.050	.042	.033	.025	.013	.005	.003	.001
2		1.017	1.013	1.011	1.009	1.008	1.006	1.005	1.002	1.001	1.000	1.000
3		1.034	1.027	1.022	1.018	1.016	1.013	1.010	1.005	1.002	1.001	1.000
4		1.051	1.041	1.033	1.028	1.024	1.020	1.015	1.008	1.003	1.002	1.000
5		1.067	1.054	1.044	1.036	1.031	1.026	1.020	1.010	1.004	1.002	1.000
6		1.083	1.068	1.054	1.045	1.039	1.032	1.025	1.013	1.005	1.003	1.001
7		1.100	1.081	1.065	1.054	1.047	1.039	1.030	1.016	1.007	1.003	1.001
8		1.116	1.094	1.076	1.063	1.054	1.045	1.035	1.018	1.008	1.004	1.001
9		1.132	1.108	1.087	1.072	1.062	1.051	1.040	1.021	1.009	1.004	1.001
10		1.148	1.121	1.097	1.081	1.070	1.056	1.045	1.024	1.010	1.005	1.001
12		1.180	1.147	1.118	1.099	1.085	1.071	1.055	1.029	1.012	1.006	1.001
14		1.211	1.173	1.139	1.117	1.101	1.083	1.065	1.034	1.014	1.007	1.002
16		1.242	1.199	1.160	1.135	1.116	1.096	1.075	1.039	1.016	1.008	1.002
18		1.272	1.224	1.181	1.152	1.131	1.109	1.084	1.045	1.018	1.009	1.002
20		1.303	1.249	1.202	1.170	1.146	1.121	1.094	1.050	1.021	1.010	1.002
25		1.377	1.311	1.253	1.213	1.184	1.153	1.119	1.063	1.026	1.013	1.003
30		1.449	1.372	1.303	1.256	1.221	1.184	1.143	1.076	1.031	1.016	1.003
35		1.519	1.432	1.353	1.298	1.258	1.215	1.168	1.089	1.037	1.019	1.004
40		1.588	1.490	1.402	1.340	1.295	1.246	1.192	1.102	1.042	1.021	1.004
50		1.721	1.604	1.498	1.423	1.367	1.307	1.240	1.128	1.053	1.027	1.005

TAFEL DES FAKTORS ROH FÜR DEN SICHERHEITSINDEX BETA

DIESE TAFELWERTE KORRESPONDIEREN MIT DEN TAFELWERTEN (PF) DER PARABOLISCHEN CHIQUADRATVERTEILUNG FÜR BETA = 5,0

BETA = 5,0

ROH = KOREKTURFAKTOR FÜR BETA
 = $\phi^{-1}(PF)/BETA$
 NU: = FREIHEITSGRAD
 P: = PARAMETER DES ROTATIONS-PARABOLOIDES
 = $1/(2 \cdot R)$
 R: = KRÜMMUNGSRADIUS

$\phi(-BETA) = .287E-06$

NU: E	R	5,0	6,0	8,0	10,0	12,0	15,0	20,0	40,0	100,0	200,0	1000,0
	P	.10	.083	.063	.050	.042	.033	.025	.013	.005	.003	.001
2		1.013	1.012	1.009	1.008	1.007	1.005	1.004	1.002	1.001	1.000	1.000
3		1.027	1.024	1.019	1.016	1.014	1.011	1.009	1.005	1.002	1.001	1.000
4		1.041	1.036	1.029	1.024	1.021	1.017	1.013	1.007	1.003	1.002	1.000
5		1.054	1.048	1.038	1.032	1.028	1.023	1.018	1.009	1.004	1.002	1.000
6		1.068	1.060	1.048	1.040	1.034	1.029	1.022	1.012	1.005	1.002	1.000
7		1.081	1.071	1.057	1.048	1.041	1.034	1.027	1.014	1.006	1.003	1.001
8		1.094	1.083	1.067	1.056	1.048	1.040	1.031	1.016	1.007	1.003	1.001
9		1.108	1.095	1.076	1.064	1.055	1.046	1.035	1.019	1.008	1.004	1.001
10		1.121	1.106	1.086	1.072	1.062	1.051	1.040	1.021	1.009	1.004	1.001
12		1.147	1.129	1.104	1.088	1.076	1.063	1.049	1.026	1.011	1.005	1.001
14		1.172	1.152	1.123	1.103	1.089	1.074	1.058	1.030	1.013	1.006	1.001
16		1.198	1.175	1.142	1.119	1.103	1.085	1.066	1.035	1.015	1.007	1.002
18		1.223	1.197	1.160	1.135	1.116	1.096	1.075	1.040	1.017	1.008	1.002
20		1.248	1.219	1.178	1.150	1.130	1.108	1.084	1.045	1.018	1.009	1.002
25		1.309	1.274	1.223	1.189	1.163	1.136	1.106	1.056	1.023	1.012	1.002
30		1.369	1.328	1.268	1.227	1.196	1.163	1.128	1.068	1.028	1.014	1.003
35		1.428	1.381	1.312	1.264	1.229	1.191	1.149	1.080	1.033	1.017	1.004
40		1.485	1.432	1.355	1.301	1.262	1.218	1.171	1.091	1.038	1.019	1.004
50		1.597	1.534	1.440	1.375	1.326	1.273	1.214	1.115	1.048	1.024	1.005

TAFEL DES FAKTORS ROH FÜR DEN SICHERHEITSINDEX BETA

DIESE TAFELWERTE KORRESPONDIEREN MIT DEN TAFELWERTEN (PF) DER PARABOLISCHEN CHIQUADRATVERTEILUNG FÜR BETA = 5.5

TAFEL DES FAKTORS ROH FÜR DEN SICHERHEITSINDEX BETA

DIESE TAFELWERTE KORRESPONDIEREN MIT DEN TAFELWERTEN (PF) DER PARABOLISCHEN CHIQUADRATVERTEILUNG FÜR BETA = 5.5

ROH = KOREKTURFAKTOR FÜR BETA
 $\phi = \phi_{1-p}(PF)/BETA$
 NUE: = FREIHEITSGRAD
 P: = PARAMETER DES ROTATIONS-PARABOLOIDES
 R: = KRÜMMUNGSRADIUS

NUE	R	5.5	6.0	8.0	10.0	12.0	15.0	20.0	40.0	100.0	200.0	1000.0
2	P	.09	.083	.063	.050	.042	.033	.025	.013	.005	.003	.001
2	R	1.011	1.010	1.008	1.007	1.006	1.005	1.004	1.002	1.001	1.000	1.000
3	R	1.023	1.021	1.017	1.014	1.012	1.010	1.008	1.004	1.001	1.000	1.000
4	R	1.034	1.032	1.026	1.022	1.019	1.016	1.012	1.006	1.001	1.000	1.000
5	R	1.045	1.042	1.034	1.029	1.025	1.020	1.016	1.008	1.001	1.000	1.000
6	R	1.056	1.053	1.043	1.036	1.031	1.026	1.024	1.011	1.001	1.000	1.000
7	R	1.067	1.063	1.051	1.043	1.037	1.031	1.028	1.015	1.001	1.000	1.000
8	R	1.078	1.074	1.060	1.050	1.043	1.036	1.032	1.017	1.001	1.000	1.000
9	R	1.089	1.084	1.068	1.057	1.049	1.041	1.036	1.019	1.001	1.000	1.000
10	R	1.100	1.094	1.076	1.064	1.055	1.046	1.044	1.023	1.001	1.000	1.000
12	R	1.122	1.115	1.093	1.078	1.068	1.056	1.052	1.028	1.001	1.000	1.000
14	R	1.143	1.135	1.110	1.092	1.080	1.066	1.060	1.032	1.001	1.000	1.000
16	R	1.165	1.155	1.126	1.106	1.092	1.076	1.068	1.036	1.001	1.000	1.000
18	R	1.186	1.175	1.143	1.120	1.104	1.087	1.075	1.040	1.001	1.000	1.000
20	R	1.207	1.195	1.159	1.134	1.116	1.097	1.095	1.051	1.001	1.000	1.000
25	R	1.259	1.244	1.199	1.169	1.146	1.122	1.115	1.061	1.001	1.000	1.000
30	R	1.309	1.292	1.239	1.203	1.176	1.147	1.134	1.072	1.001	1.000	1.000
35	R	1.359	1.339	1.279	1.236	1.205	1.171	1.154	1.082	1.001	1.000	1.000
40	R	1.408	1.386	1.317	1.270	1.235	1.196	1.183	1.082	1.001	1.000	1.000
50	R	1.503	1.476	1.394	1.336	1.292	1.245	1.193	1.104	1.001	1.000	1.000

TAFEL DES FAKTORS ROH FÜR DEN SICHERHEITSINDEX BETA

DIESE TAFELWERTE KORRESPONDIEREN MIT DEN TAFELWERTEN (PF) DER PARABOLISCHEN CHIQUADRATVERTEILUNG FÜR BETA = 6.0

ROH = KOREKTURFAKTOR FÜR BETA
 $\phi = \phi_{1-p}(PF)/BETA$
 NUE: = FREIHEITSGRAD
 P: = PARAMETER DES ROTATIONS-PARABOLOIDES
 R: = KRÜMMUNGSRADIUS

NUE	R	6.0	7.0	8.0	10.0	12.0	15.0	20.0	40.0	100.0	200.0	1000.0
2	P	.08	.071	.063	.050	.042	.033	.025	.013	.005	.003	.001
2	R	1.009	1.008	1.007	1.006	1.005	1.004	1.003	1.002	1.001	1.000	1.000
3	R	1.019	1.017	1.015	1.013	1.011	1.009	1.007	1.004	1.001	1.000	1.000
4	R	1.029	1.026	1.023	1.020	1.017	1.014	1.011	1.006	1.001	1.000	1.000
5	R	1.038	1.034	1.031	1.026	1.022	1.018	1.014	1.008	1.001	1.000	1.000
6	R	1.047	1.042	1.038	1.032	1.028	1.023	1.018	1.010	1.001	1.000	1.000
7	R	1.057	1.051	1.046	1.039	1.033	1.028	1.022	1.011	1.001	1.000	1.000
8	R	1.066	1.059	1.054	1.045	1.039	1.032	1.025	1.013	1.001	1.000	1.000
9	R	1.075	1.067	1.061	1.051	1.045	1.037	1.029	1.015	1.001	1.000	1.000
10	R	1.085	1.076	1.069	1.058	1.050	1.042	1.032	1.017	1.001	1.000	1.000
12	R	1.103	1.092	1.084	1.071	1.061	1.051	1.040	1.021	1.001	1.000	1.000
14	R	1.121	1.109	1.099	1.083	1.072	1.060	1.047	1.025	1.001	1.000	1.000
16	R	1.139	1.125	1.114	1.096	1.083	1.069	1.054	1.029	1.001	1.000	1.000
18	R	1.157	1.141	1.128	1.109	1.094	1.078	1.061	1.033	1.001	1.000	1.000
20	R	1.175	1.157	1.143	1.121	1.105	1.087	1.068	1.037	1.001	1.000	1.000
25	R	1.219	1.197	1.179	1.152	1.132	1.110	1.086	1.046	1.001	1.000	1.000
30	R	1.262	1.237	1.215	1.183	1.159	1.133	1.104	1.056	1.001	1.000	1.000
35	R	1.305	1.275	1.251	1.213	1.186	1.155	1.122	1.066	1.001	1.000	1.000
40	R	1.347	1.313	1.286	1.244	1.212	1.178	1.140	1.075	1.001	1.000	1.000
50	R	1.429	1.388	1.355	1.303	1.264	1.222	1.175	1.094	1.001	1.000	1.000

TAFEL DES FAKTORS ROH FÜR DEN SICHERHEITSINDEX BETA

DIESE TAFELWERTE KORRESPONDIEREN MIT DEN TAFELWERTEN (PF) DER PARABOLISCHEN CHIQUADRATVERTEILUNG FÜR BETA = 6,5

BETA = 6,5

ROH = KORREKTURFAKTOR FÜR BETA

NUE = FREIHEITSGRAD

P = PARAMETER DES ROTATIONS-PARABOLOIDES

R = KRÜMMUNGSRADIUS

$\phi(-BETA) = .404E-10$

NUE	R	6,5	7,0	8,0	10,0	12,0	15,0	20,0	40,0	100,0	200,0	1000,0
	P	.08	.071	.063	.050	.042	.033	.025	.013	.005	.003	.001
2		1.008	1.007	1.007	1.006	1.005	1.004	1.003	1.002	1.000	1.000	1.000
3		1.016	1.015	1.014	1.012	1.010	1.008	1.006	1.003	1.001	1.001	1.000
4		1.024	1.023	1.021	1.018	1.015	1.013	1.010	1.005	1.002	1.001	1.000
5		1.032	1.031	1.028	1.023	1.020	1.017	1.013	1.007	1.003	1.001	1.000
6		1.040	1.038	1.035	1.029	1.025	1.021	1.016	1.009	1.004	1.002	1.000
7		1.048	1.046	1.042	1.035	1.030	1.025	1.020	1.011	1.004	1.002	1.000
8		1.056	1.053	1.048	1.041	1.035	1.029	1.023	1.012	1.005	1.003	1.000
9		1.064	1.061	1.055	1.047	1.040	1.034	1.026	1.014	1.006	1.003	1.001
10		1.072	1.069	1.062	1.053	1.046	1.038	1.030	1.016	1.007	1.004	1.001
12		1.088	1.084	1.076	1.064	1.056	1.046	1.036	1.019	1.008	1.004	1.001
14		1.104	1.098	1.089	1.076	1.066	1.055	1.043	1.023	1.010	1.005	1.001
16		1.119	1.113	1.103	1.087	1.076	1.063	1.049	1.026	1.011	1.006	1.001
18		1.135	1.128	1.116	1.099	1.086	1.071	1.056	1.030	1.013	1.006	1.001
20		1.150	1.143	1.130	1.110	1.095	1.080	1.063	1.034	1.014	1.007	1.001
25		1.188	1.179	1.163	1.138	1.120	1.100	1.079	1.042	1.018	1.009	1.002
30		1.225	1.214	1.195	1.166	1.145	1.121	1.095	1.051	1.021	1.011	1.002
35		1.262	1.250	1.228	1.194	1.169	1.142	1.111	1.060	1.025	1.013	1.002
40		1.298	1.284	1.260	1.221	1.193	1.162	1.128	1.069	1.029	1.015	1.003
50		1.370	1.352	1.322	1.276	1.241	1.202	1.160	1.087	1.036	1.018	1.004

TAFEL DES FAKTORS ROH FÜR DEN SICHERHEITSINDEX BETA

DIESE TAFELWERTE KORRESPONDIEREN MIT DEN TAFELWERTEN (PF) DER PARABOLISCHEN CHIQUADRATVERTEILUNG FÜR BETA = 7,0

BETA = 7,0

ROH = KORREKTURFAKTOR FÜR BETA

NUE = FREIHEITSGRAD

P = PARAMETER DES ROTATIONS-PARABOLOIDES

R = KRÜMMUNGSRADIUS

$\phi(-BETA) = .129E-11$

NUE	R	7,0	8,0	9,0	10,0	12,0	15,0	20,0	40,0	100,0	200,0	1000,0
	P	.07	.063	.056	.050	.042	.033	.025	.013	.005	.003	.001
2		1.007	1.006	1.006	1.005	1.004	1.004	1.003	1.001	1.000	1.000	1.000
3		1.014	1.013	1.012	1.011	1.009	1.008	1.006	1.003	1.001	1.001	1.000
4		1.021	1.019	1.018	1.016	1.014	1.012	1.009	1.005	1.002	1.001	1.000
5		1.028	1.025	1.023	1.021	1.018	1.015	1.012	1.006	1.003	1.001	1.000
6		1.035	1.032	1.029	1.027	1.023	1.019	1.015	1.008	1.003	1.002	1.000
7		1.042	1.038	1.035	1.032	1.028	1.023	1.018	1.010	1.004	1.002	1.000
8		1.049	1.044	1.040	1.037	1.032	1.027	1.021	1.011	1.005	1.002	1.000
9		1.056	1.050	1.046	1.043	1.037	1.031	1.024	1.013	1.005	1.003	1.001
10		1.062	1.057	1.052	1.048	1.042	1.035	1.027	1.015	1.006	1.004	1.001
12		1.076	1.069	1.063	1.059	1.051	1.042	1.033	1.018	1.007	1.004	1.001
14		1.090	1.082	1.075	1.069	1.060	1.050	1.039	1.021	1.009	1.004	1.001
16		1.103	1.094	1.086	1.080	1.069	1.058	1.045	1.024	1.010	1.005	1.001
18		1.117	1.106	1.097	1.090	1.078	1.066	1.051	1.028	1.012	1.006	1.001
20		1.130	1.118	1.109	1.101	1.087	1.073	1.058	1.031	1.013	1.007	1.001
25		1.163	1.149	1.137	1.126	1.110	1.092	1.073	1.039	1.016	1.008	1.002
30		1.196	1.179	1.164	1.152	1.133	1.111	1.088	1.047	1.020	1.010	1.002
35		1.228	1.208	1.192	1.177	1.155	1.130	1.103	1.056	1.023	1.012	1.002
40		1.259	1.237	1.219	1.203	1.177	1.149	1.117	1.064	1.027	1.014	1.003
50		1.322	1.295	1.272	1.252	1.221	1.186	1.147	1.080	1.034	1.017	1.003

TAFEL DES FAKTORS ROH FÜR DEN SICHERHEITSINDEX BETA

DIESE TAFELWERTE KORRESPONDIEREN MIT DEN TAFELWERTEN (PF) DER PARABOLISCHEN CHIQUADRATVERTEILUNG FÜR BETA = 2.0

ROH = KOREKTURFAKTOR FÜR BETA
 = $\phi^{-1}(PF)/BETA$
 NU: = FREIHEITSGRAD
 P: = PARAMETER DES ROTATIONS-PARABOLOIDES
 = $1/(2 \cdot R)$
 R: = KRÜMMUNGSRADIUS

BETA = 2.0
 $\phi(-BETA) = .228E-01$

NU: E	R	2.0	4.0	6.0	8.0	10.0	13.0	20.0	40.0	100.0	200.0	1000.0
	P	-.25	-.125	-.083	-.063	-.050	-.038	-.025	-.013	-.005	-.003	-.001
2		.823	.923	.952	.965	.973	.979	.987	.993	.997	.998	.999
3		.671	.847	.904	.931	.946	.959	.974	.988	.995	.998	.999
4		.543	.777	.858	.897	.919	.940	.962	.982	.994	.998	.999
5		.426	.708	.812	.863	.892	.919	.949	.975	.991	.996	.999
6		.319	.642	.767	.829	.866	.898	.936	.969	.988	.994	.999
7		.218	.578	.723	.796	.839	.878	.923	.963	.986	.993	.999
8		.122	.516	.679	.763	.813	.858	.910	.956	.983	.992	.999
9		.031	.455	.636	.730	.787	.838	.897	.950	.981	.991	.999
10			.396	.593	.698	.761	.818	.884	.944	.978	.990	.999
12			.282	.510	.633	.709	.778	.859	.931	.973	.987	.998
14			.172	.428	.570	.657	.739	.833	.918	.968	.985	.998
16			.067	.349	.507	.606	.699	.807	.906	.963	.982	.997
18				.271	.446	.556	.660	.781	.893	.958	.980	.997
20				.194	.385	.506	.621	.756	.880	.953	.977	.996
25				.009	.235	.382	.523	.692	.848	.941	.971	.995
30					.091	.261	.427	.628	.816	.928	.964	.994
35						.143	.333	.565	.785	.915	.958	.992
40						.027	.239	.502	.753	.902	.952	.991
50							.057	.377	.689	.877	.939	.988

TAFEL DES FAKTORS ROH FÜR DEN SICHERHEITSINDEX BETA

DIESE TAFELWERTE KORRESPONDIEREN MIT DEN TAFELWERTEN (PF) DER PARABOLISCHEN CHIQUADRATVERTEILUNG FÜR BETA = 2.5

ROH = KOREKTURFAKTOR FÜR BETA
 = $\phi^{-1}(PF)/BETA$
 NU: = FREIHEITSGRAD
 P: = PARAMETER DES ROTATIONS-PARABOLOIDES
 = $1/(2 \cdot R)$
 R: = KRÜMMUNGSRADIUS

BETA = 2.5
 $\phi(-BETA) = .621E-02$

NU: E	R	2.5	4.0	6.0	8.0	10.0	13.0	20.0	40.0	100.0	200.0	1000.0
	P	-.20	-.125	-.083	-.063	-.050	-.038	-.025	-.013	-.005	-.003	-.001
2		.877	.934	.960	.971	.978	.983	.989	.995	.998	.999	1.000
3		.767	.868	.919	.942	.955	.967	.979	.990	.996	.998	1.000
4		.674	.808	.881	.914	.934	.950	.969	.985	.995	.998	1.000
5		.589	.750	.842	.886	.911	.934	.958	.980	.992	.996	1.000
6		.509	.695	.805	.859	.890	.917	.948	.975	.990	.995	.999
7		.435	.641	.768	.831	.868	.901	.937	.970	.988	.994	.999
8		.364	.590	.732	.804	.846	.884	.927	.965	.986	.994	.999
9		.297	.539	.697	.777	.825	.868	.917	.960	.984	.993	.999
10		.232	.490	.661	.750	.804	.852	.906	.955	.982	.992	.999
12		.109	.395	.592	.698	.761	.819	.885	.944	.979	.990	.998
14			.305	.525	.645	.719	.787	.865	.934	.974	.988	.998
16			.218	.459	.594	.677	.755	.844	.924	.970	.986	.998
18			.134	.395	.543	.636	.723	.823	.914	.966	.984	.997
20			.053	.332	.493	.595	.691	.802	.903	.962	.982	.997
25				.180	.371	.494	.612	.750	.878	.952	.977	.996
30				.036	.253	.395	.534	.699	.852	.942	.971	.995
35					.138	.299	.457	.648	.827	.932	.966	.994
40					.027	.204	.381	.597	.801	.922	.961	.993
50						.021	.232	.496	.750	.901	.951	.991

30					.162	.351	.476	.597	.746	.856	.944	.972
35					.063	.268	.406	.541	.705	.819	.929	.965
40						.110	.270	.432	.631	.819	.929	.965
50							.270	.432	.631	.819	.929	.965

TAFEL DES FAKTORS ROH FÜR DEN SICHERHEITSINDEX BETA

DIESE TAFELWERTE KORRESPONDIEREN MIT DEN TAFELWERTEN (PF) DER PARABOLISCHEN CHIQUADRATVERTEILUNG FÜR BETA = 3.0

BETA = 3.0

ROH = KORREKTURFAKTOR FÜR BETA

= $\phi^{-1}(PF)/BETA$

NUE = FREIHEITSGRAD

P = PARAMETER DES ROTATIONS-PARABOLOIDES

R = 1/(2 * R)

R = KRÜMMUNGSRADIUS

$\phi(-BETA) = .135E-02$

NUE	R	3.0	4.0	6.0	8.0	10.0	13.0	20.0	40.0	100.0	200.0	1000.0
	P	-.17	-.125	-.083	-.063	-.050	-.038	-.025	-.013	-.005	-.003	-.001
2		.910	.940	.965	.975	.981	.986	.991	.996	.998	.999	1.000
3		.826	.881	.929	.950	.962	.972	.982	.992	.997	.999	1.000
4		.755	.827	.895	.926	.943	.958	.974	.988	.996	.998	1.000
5		.690	.777	.862	.902	.924	.943	.965	.983	.994	.997	1.000
6		.629	.729	.830	.878	.905	.929	.956	.979	.990	.996	.999
7		.571	.682	.798	.854	.887	.915	.947	.975	.990	.995	.999
8		.516	.637	.767	.831	.868	.902	.938	.970	.989	.994	.999
9		.463	.593	.736	.808	.850	.888	.929	.966	.987	.994	.999
10		.412	.551	.706	.785	.832	.874	.921	.962	.985	.993	.999
12		.315	.469	.646	.740	.796	.846	.903	.953	.982	.991	.999
14		.224	.391	.589	.695	.760	.819	.886	.945	.979	.990	.998
16		.138	.316	.532	.651	.724	.792	.868	.936	.975	.988	.998
18		.055	.244	.477	.608	.689	.764	.851	.928	.972	.986	.998
20			.175	.423	.565	.654	.737	.833	.919	.968	.985	.997
25			.011	.293	.461	.568	.670	.789	.897	.960	.980	.996
30				.170	.360	.484	.604	.746	.876	.951	.976	.996
35				.052	.263	.402	.539	.703	.854	.943	.972	.995
40					.168	.322	.474	.660	.833	.934	.968	.994
50						.167	.349	.575	.790	.918	.959	.992

TAFEL DES FAKTORS ROH FÜR DEN SICHERHEITSINDEX BETA

DIESE TAFELWERTE KORRESPONDIEREN MIT DEN TAFELWERTEN (PF) DER PARABOLISCHEN CHIQUADRATVERTEILUNG FÜR BETA = 3.5

BETA = 3.5

ROH = KORREKTURFAKTOR FÜR BETA

= $\phi^{-1}(PF)/BETA$

NUE = FREIHEITSGRAD

P = PARAMETER DES ROTATIONS-PARABOLOIDES

R = 1/(2 * R)

R = KRÜMMUNGSRADIUS

$\phi(-BETA) = .233E-03$

NUE	R	3.5	4.0	6.0	8.0	10.0	13.0	20.0	40.0	100.0	200.0	1000.0
	P	-.14	-.125	-.083	-.063	-.050	-.038	-.025	-.013	-.005	-.003	-.001
2		.932	.944	.968	.978	.983	.988	.992	.996	.998	.999	1.000
3		.865	.888	.936	.955	.966	.975	.985	.993	.997	.999	1.000
4		.810	.840	.905	.934	.950	.963	.977	.989	.996	.998	1.000
5		.758	.795	.876	.913	.933	.950	.969	.985	.994	.997	.999
6		.709	.751	.847	.892	.917	.938	.962	.982	.993	.997	.999
7		.663	.710	.819	.871	.900	.926	.954	.978	.990	.996	.999
8		.619	.669	.791	.850	.884	.914	.946	.974	.989	.995	.999
9		.576	.631	.764	.830	.868	.902	.939	.971	.987	.994	.999
10		.535	.593	.737	.810	.852	.890	.931	.967	.987	.994	.999
12		.456	.520	.685	.770	.820	.866	.916	.960	.984	.992	.998
14		.381	.451	.633	.731	.789	.842	.901	.952	.982	.991	.998
16		.310	.385	.584	.692	.758	.818	.885	.945	.979	.990	.998
18		.243	.322	.535	.654	.727	.794	.870	.937	.976	.988	.998
20		.178	.261	.487	.616	.696	.770	.855	.930	.973	.987	.997
25		.026	.117	.373	.525	.621	.712	.817	.911	.966	.983	.996
30			.063	.265	.436	.548	.654	.779	.893	.958	.979	.995
35				.162	.351	.476	.597	.742	.874	.951	.976	.995
40					.268	.406	.541	.705	.856	.944	.972	.995
50						.270	.432	.631	.819	.929	.965	.993

TAFEL DES FAKTORS ROH FUER DEN SICHERHEITSSINDEX BETA

BETA = 3.0

DIESE TAFELWERTE KORRESPONDIEREN MIT DEN TAFELWERTEN (PF) DER PARABOLISCHEN CHIQUADRATVERTEILUNG FUER BETA = 3.0

TAFEL DES FAKTORS ROH FUER DEN SICHERHEITSSINDEX BETA

BETA = 4.0

DIESE TAFELWERTE KORRESPONDIEREN MIT DEN TAFELWERTEN (PF) DER PARABOLISCHEN CHIQUADRATVERTEILUNG FUER BETA = 4.0

ROH = KORREKTURFAKTOR FUER BETA

NIUE = FREIHEITSGRAD

P = PARAMETER DES ROTATIONS-PARABOLOIDES

R = KRUEMMUNGSRADIUS

NIUE	PHI(-BETA) = .317E-04										
	4.0	6.0	8.0	10.0	12.0	15.0	20.0	40.0	100.0	200.0	1000.0
P	-.13	-.083	-.063	-.050	-.042	-.033	-.025	-.013	-.005	-.003	-.001
2	.947	.971	.980	.985	.988	.991	.993	.997	.999	.999	1.000
3	.893	.940	.959	.969	.975	.981	.986	.993	.997	.999	1.000
4	.848	.913	.940	.954	.963	.972	.980	.990	.996	.998	1.000
5	.807	.886	.921	.939	.951	.962	.973	.987	.995	.998	1.000
6	.767	.859	.902	.925	.939	.953	.966	.984	.994	.997	.999
7	.729	.834	.883	.910	.927	.944	.959	.981	.993	.996	.999
8	.693	.809	.864	.896	.916	.934	.952	.977	.991	.996	.999
9	.657	.784	.846	.881	.904	.925	.946	.974	.990	.995	.999
10	.623	.760	.828	.867	.892	.916	.939	.971	.989	.995	.999
12	.557	.713	.792	.839	.869	.898	.925	.964	.986	.993	.999
14	.495	.666	.757	.810	.845	.879	.912	.958	.984	.992	.999
16	.435	.622	.722	.783	.822	.861	.898	.951	.981	.991	.998
18	.378	.578	.688	.755	.799	.843	.885	.945	.979	.990	.998
20	.324	.535	.654	.728	.776	.825	.871	.938	.976	.988	.998
25	.195	.432	.572	.660	.720	.779	.838	.922	.970	.985	.997
30	.076	.335	.493	.595	.665	.735	.804	.906	.963	.982	.997
35		.243	.416	.531	.610	.691	.771	.889	.957	.979	.996
40		.155	.342	.468	.556	.647	.738	.873	.951	.976	.995
50			.201	.347	.452	.561	.673	.841	.936	.966	.994

TAFEL DES FAKTORS ROH FUER DEN SICHERHEITSSINDEX BETA

BETA = 4.5

DIESE TAFELWERTE KORRESPONDIEREN MIT DEN TAFELWERTEN (PF) DER PARABOLISCHEN CHIQUADRATVERTEILUNG FUER BETA = 4.5

ROH = KORREKTURFAKTOR FUER BETA

NIUE = FREIHEITSGRAD

P = PARAMETER DES ROTATIONS-PARABOLOIDES

R = KRUEMMUNGSRADIUS

PHI(-BETA) = .340E-05

NIUE	PHI(-BETA) = .340E-05										
	4.5	6.0	8.0	10.0	12.0	15.0	20.0	40.0	100.0	200.0	1000.0
P	-.11	-.083	-.063	-.050	-.042	-.033	-.025	-.013	-.005	-.003	-.001
2	.957	.972	.981	.986	.989	.991	.994	.997	.999	.999	1.000
3	.913	.944	.962	.972	.977	.983	.988	.994	.998	.999	1.000
4	.876	.918	.944	.958	.967	.974	.982	.991	.997	.998	1.000
5	.842	.893	.927	.944	.956	.966	.975	.988	.995	.998	1.000
6	.810	.869	.909	.931	.945	.957	.969	.985	.994	.997	.999
7	.778	.845	.892	.918	.934	.949	.963	.983	.993	.997	.999
8	.748	.822	.875	.905	.923	.941	.957	.980	.992	.996	.999
9	.718	.800	.858	.892	.912	.932	.951	.977	.991	.996	.999
10	.690	.778	.842	.879	.902	.924	.945	.974	.990	.995	.999
12	.634	.734	.809	.853	.881	.907	.933	.968	.988	.994	.999
14	.581	.692	.777	.827	.860	.891	.921	.962	.985	.993	.999
16	.530	.651	.745	.802	.839	.874	.908	.956	.983	.992	.998
18	.481	.611	.714	.777	.818	.858	.896	.951	.981	.991	.998
20	.434	.572	.684	.752	.797	.841	.884	.945	.979	.989	.998
25	.323	.478	.609	.691	.746	.801	.854	.930	.973	.987	.997
30	.220	.389	.536	.631	.696	.760	.824	.916	.967	.984	.997
35	.124	.305	.467	.573	.646	.720	.794	.901	.962	.981	.996
40	.033	.226	.400	.516	.598	.681	.764	.886	.956	.978	.996
50		.076	.272	.407	.503	.603	.706	.857	.944	.973	.995

TAFEL DES FAKTORS ROH FUE R DEN SICHERHEITSSINDE X BETA

TAFEL DES FAKTORS ROH FUE R DEN SICHERHEITSSINDE X BETA

DIESE TAFELWERTE KORRESPONDIEREN MIT DEN TAFELWERTEN (PF) DER PARABOLISCHEN CHIQUADRATVERTEILUNG FUE R BETA = 5.0

ROH = KOREKTURFAKTOR FUE R BETA

NIUE = ϕ^{-1} (PF)/BETA

P = FREIHEITSGRAD

R = PARAMETER DES ROTATIONS PARABOLOIDES

= $1/(2 \cdot R)$

R: = KRUEMMUNGSRADIUS

BETA = 5.0
 $\phi(-BETA) = .287E-06$

NIUE	R	5.0	6.0	8.0	10.0	12.0	15.0	20.0	40.0	100.0	200.0	1000.0
	P	-.10	-.083	-.063	-.050	-.042	-.033	-.025	-.013	-.005	-.003	-.001
2		.965	.974	.983	.987	.990	.992	.994	.997	.999	.999	1.000
3		.928	.946	.964	.974	.979	.984	.989	.995	.998	.999	1.000
4		.898	.922	.948	.961	.969	.976	.983	.992	.997	.999	1.000
5		.869	.894	.931	.948	.959	.969	.977	.989	.996	.998	1.000
6		.842	.876	.915	.936	.949	.961	.972	.987	.995	.997	.999
7		.816	.854	.899	.924	.939	.953	.966	.984	.994	.997	.999
8		.790	.833	.884	.912	.929	.945	.961	.982	.993	.996	.999
9		.765	.812	.868	.900	.919	.938	.955	.979	.992	.996	.999
10		.741	.791	.853	.888	.910	.930	.950	.976	.991	.995	.999
12		.693	.751	.823	.864	.890	.915	.939	.971	.989	.994	.999
14		.648	.712	.793	.840	.871	.900	.927	.966	.987	.993	.999
16		.604	.674	.764	.817	.852	.885	.916	.960	.985	.992	.999
18		.561	.637	.735	.794	.832	.870	.905	.955	.983	.991	.998
20		.520	.601	.707	.771	.814	.855	.894	.950	.981	.990	.998
25		.422	.514	.638	.715	.767	.817	.867	.937	.976	.988	.998
30		.332	.432	.571	.660	.721	.781	.839	.923	.970	.985	.997
35		.248	.355	.507	.607	.675	.744	.812	.910	.965	.983	.997
40		.168	.281	.445	.555	.631	.708	.785	.897	.960	.980	.996
50		.019	.144	.328	.454	.544	.637	.732	.871	.950	.975	.995

TAFEL DES FAKTORS ROH FUE R DEN SICHERHEITSSINDE X BETA

DIESE TAFELWERTE KORRESPONDIEREN MIT DEN TAFELWERTEN (PF) DER PARABOLISCHEN CHIQUADRATVERTEILUNG FUE R BETA = 5.5

ROH = KOREKTURFAKTOR FUE R BETA

NIUE = ϕ^{-1} (PF)/BETA

P = FREIHEITSGRAD

R = PARAMETER DES ROTATIONS PARABOLOIDES

= $1/(2 \cdot R)$

R: = KRUEMMUNGSRADIUS

BETA = 5.5

$\phi(-BETA) = .190E-07$

NIUE	R	5.5	6.0	8.0	10.0	12.0	15.0	20.0	40.0	100.0	200.0	1000.0
	P	-.09	-.083	-.063	-.050	-.042	-.033	-.025	-.013	-.005	-.003	-.001
2		.971	.974	.983	.988	.990	.993	.995	.997	.999	.999	1.000
3		.940	.947	.966	.975	.980	.985	.989	.995	.998	.999	1.000
4		.914	.924	.950	.963	.971	.978	.984	.993	.997	.999	1.000
5		.890	.903	.935	.952	.962	.971	.979	.990	.996	.998	1.000
6		.867	.882	.920	.940	.952	.964	.974	.988	.995	.998	.999
7		.844	.861	.905	.929	.943	.957	.969	.985	.994	.997	.999
8		.823	.841	.890	.917	.934	.949	.964	.983	.993	.997	.999
9		.802	.822	.876	.906	.925	.942	.959	.981	.993	.996	.999
10		.781	.803	.862	.895	.916	.935	.954	.978	.992	.996	.999
12		.740	.765	.834	.873	.898	.921	.943	.973	.990	.995	.999
14		.701	.729	.806	.851	.880	.907	.933	.969	.988	.994	.999
16		.662	.693	.779	.830	.862	.893	.923	.964	.986	.993	.999
18		.625	.659	.752	.808	.844	.879	.913	.959	.984	.992	.998
20		.589	.625	.726	.787	.827	.866	.903	.954	.982	.991	.998
25		.502	.543	.662	.735	.784	.831	.877	.942	.978	.989	.998
30		.422	.467	.600	.684	.741	.797	.852	.930	.973	.987	.997
35		.346	.394	.540	.634	.699	.763	.827	.918	.968	.984	.997
40		.275	.326	.482	.586	.658	.730	.802	.906	.964	.982	.996
50		.144	.199	.373	.493	.577	.665	.753	.882	.954	.977	.995

TAFEL DES FAKTORS ROH FUE R DEN SICHERHEITSSINDE X BETA

DIESE TAFELWERTE KORRESPONDIEREN MIT DEN TAFELWERTEN (PF) DER PARABOLISCHEN CHIQUDRATVERTILUNG FUE R BETA = 6.0

ROH = KORREKTURFAKTOR FUE R BETA
 = $\phi^{-1}(PF)/BETA$
 NUUE = FREIHEITSGRAD
 P: = PARAMETER DES ROTATIONS PARABOLOIDES
 = $1/(2*P)$
 R: = KRIEMUNGSRADIUS

BETA = 6.0
 $\phi(-BETA) = .990E-09$

NUUE	R	6.0	7.0	8.0	10.0	12.0	15.0	20.0	40.0	100.0	200.0	1000.0
	P	-.08	-.071	-.063	-.050	-.042	-.033	-.025	-.013	-.005	-.003	-.001
2		.975	.981	.984	.988	.991	.993	.995	.998	.999	.999	1.000
3		.949	.960	.967	.976	.982	.986	.990	.995	.998	.999	1.000
4		.927	.942	.952	.965	.973	.979	.985	.993	.997	.999	1.000
5		.906	.925	.938	.954	.964	.973	.981	.991	.996	.998	1.000
6		.886	.908	.924	.943	.955	.966	.976	.989	.996	.998	.999
7		.867	.892	.910	.933	.947	.959	.971	.987	.995	.997	.999
8		.849	.876	.896	.922	.938	.953	.966	.984	.994	.997	.999
9		.830	.861	.883	.912	.929	.946	.962	.982	.993	.997	.999
10		.812	.845	.869	.901	.921	.940	.957	.980	.992	.996	.999
12		.777	.815	.843	.881	.904	.927	.947	.975	.991	.995	.999
14		.743	.786	.817	.860	.888	.914	.938	.971	.989	.994	.999
16		.710	.757	.792	.840	.871	.901	.928	.967	.987	.994	.999
18		.677	.728	.767	.820	.854	.888	.919	.962	.985	.993	.999
20		.645	.700	.742	.800	.838	.875	.910	.958	.984	.992	.998
25		.568	.632	.682	.751	.798	.843	.886	.946	.979	.990	.998
30		.496	.567	.623	.704	.758	.811	.863	.935	.975	.988	.997
35		.428	.505	.567	.657	.719	.780	.839	.924	.971	.986	.997
40		.363	.446	.513	.612	.680	.749	.816	.913	.967	.983	.997
50		.245	.336	.411	.525	.605	.688	.771	.891	.958	.979	.996

TAFEL DES FAKTORS ROH FUE R DEN SICHERHEITSSINDE X BETA

DIESE TAFELWERTE KORRESPONDIEREN MIT DEN TAFELWERTEN (PF) DER PARABOLISCHEN CHIQUDRATVERTILUNG FUE R BETA = 6.5

ROH = KORREKTURFAKTOR FUE R BETA
 = $\phi^{-1}(PF)/BETA$
 NUUE = FREIHEITSGRAD
 P: = PARAMETER DES ROTATIONS PARABOLOIDES
 = $1/(2*P)$
 R: = KRIEMUNGSRADIUS

BETA = 6.5
 $\phi(-BETA) = .404E-10$

NUUE	R	6.5	7.0	8.0	10.0	12.0	15.0	20.0	40.0	100.0	200.0	1000.0
	P	-.08	-.071	-.063	-.050	-.042	-.033	-.025	-.013	-.005	-.003	-.001
2		.979	.981	.985	.989	.991	.993	.995	.998	.999	.999	1.000
3		.956	.961	.968	.977	.982	.987	.991	.996	.998	.999	1.000
4		.937	.944	.954	.967	.974	.981	.986	.994	.998	.999	1.000
5		.919	.927	.940	.956	.966	.974	.982	.992	.997	.998	1.000
6		.902	.912	.927	.946	.958	.968	.977	.990	.996	.998	.999
7		.885	.896	.914	.936	.949	.962	.973	.987	.995	.998	.999
8		.869	.882	.901	.926	.941	.956	.968	.985	.994	.997	.999
9		.853	.867	.888	.916	.933	.949	.964	.983	.994	.997	.999
10		.838	.852	.876	.906	.925	.943	.960	.981	.993	.996	.999
12		.807	.824	.851	.887	.910	.931	.951	.977	.991	.996	.999
14		.777	.796	.827	.868	.894	.919	.942	.973	.990	.995	.999
16		.748	.769	.803	.849	.878	.907	.933	.969	.988	.994	.999
18		.719	.742	.779	.830	.863	.894	.924	.965	.986	.993	.999
20		.691	.716	.756	.811	.848	.882	.915	.961	.985	.993	.998
25		.623	.652	.699	.766	.810	.852	.893	.950	.981	.991	.998
30		.558	.590	.644	.721	.772	.823	.872	.940	.977	.989	.998
35		.496	.531	.591	.677	.735	.793	.850	.929	.973	.987	.997
40		.437	.475	.539	.634	.699	.764	.828	.919	.969	.985	.997
50		.329	.370	.442	.552	.628	.707	.785	.898	.961	.981	.996

DIESE TAFELWERTE KORRESPONDIEREN MIT DEN TAFELWERTEN (PF) DER PARABOLISCHEN CHLOIDRATVERTEILUNG FÜR BETA = 7.0

ROH = KORREKTURFAKTOR FÜR BETA
 = $\phi_{-1}(\text{PF})/\text{BETA}$
 NUQ = FREIHEITSGRAD
 P = PARAMETER DES ROTATIONS-PARABOLOIDES
 R = $1/(2 \cdot r)$
 R = KRÜMMUNGSRADIUS

BETA = 7.0
 $\phi(-\text{BETA}) = .129E-11$

NUQ	R = 7.0		R = 8.0		R = 9.0		R = 10.0		R = 12.0		R = 15.0		R = 20.0		R = 40.0		R = 100.0		R = 200.0		R = 1000.0	
	P	- .07	- .063	- .056	- .050	- .042	- .033	- .025	- .013	- .005	- .003	- .001										
2	.981	.985	.988	.989	.992	.994	.994	.996	.996	.998	.998	.999	.999	.999	.999	.999	.999	.999	.999	.999	.999	.999
3	.961	.969	.974	.978	.983	.987	.987	.991	.991	.996	.996	.998	.998	.998	.998	.998	.998	.998	.998	.998	.998	.998
4	.945	.955	.963	.968	.975	.982	.982	.987	.987	.994	.994	.997	.997	.997	.997	.997	.997	.997	.997	.997	.997	.997
5	.930	.942	.951	.958	.967	.976	.976	.979	.979	.988	.988	.990	.990	.990	.990	.990	.990	.990	.990	.990	.990	.990
6	.915	.929	.940	.948	.960	.970	.970	.974	.974	.984	.984	.986	.986	.986	.986	.986	.986	.986	.986	.986	.986	.986
7	.900	.917	.929	.939	.952	.964	.964	.968	.968	.978	.978	.980	.980	.980	.980	.980	.980	.980	.980	.980	.980	.980
8	.886	.905	.919	.929	.944	.958	.958	.962	.962	.972	.972	.974	.974	.974	.974	.974	.974	.974	.974	.974	.974	.974
9	.872	.893	.908	.920	.937	.952	.952	.956	.956	.966	.966	.968	.968	.968	.968	.968	.968	.968	.968	.968	.968	.968
10	.859	.881	.898	.911	.929	.946	.946	.950	.950	.960	.960	.962	.962	.962	.962	.962	.962	.962	.962	.962	.962	.962
12	.832	.858	.877	.892	.914	.935	.935	.939	.939	.949	.949	.951	.951	.951	.951	.951	.951	.951	.951	.951	.951	.951
14	.806	.835	.857	.874	.899	.923	.923	.927	.927	.937	.937	.939	.939	.939	.939	.939	.939	.939	.939	.939	.939	.939
16	.780	.812	.837	.856	.885	.912	.912	.916	.916	.926	.926	.928	.928	.928	.928	.928	.928	.928	.928	.928	.928	.928
18	.754	.790	.817	.839	.870	.900	.900	.904	.904	.914	.914	.916	.916	.916	.916	.916	.916	.916	.916	.916	.916	.916
20	.729	.768	.798	.821	.856	.889	.889	.893	.893	.903	.903	.905	.905	.905	.905	.905	.905	.905	.905	.905	.905	.905
25	.668	.714	.749	.778	.820	.861	.861	.865	.865	.875	.875	.877	.877	.877	.877	.877	.877	.877	.877	.877	.877	.877
30	.610	.662	.702	.735	.784	.833	.833	.837	.837	.847	.847	.849	.849	.849	.849	.849	.849	.849	.849	.849	.849	.849
35	.553	.611	.657	.694	.750	.805	.805	.809	.809	.819	.819	.821	.821	.821	.821	.821	.821	.821	.821	.821	.821	.821
40	.500	.562	.612	.653	.715	.778	.778	.782	.782	.792	.792	.794	.794	.794	.794	.794	.794	.794	.794	.794	.794	.794
50	.400	.469	.527	.575	.645	.724	.724	.728	.728	.738	.738	.740	.740	.740	.740	.740	.740	.740	.740	.740	.740	.740

Literaturverzeichnis

- [1] First Order Reliability Concepts for Design Codes, Bulletin d' Information No. 112, Paris, Juli 1976
- [2] Paloheimo, E.: Eine Bemessungsmethode, die sich auf variierende Fraktilen gründet, Symposium: Sicherheit von Betonbauten in Berlin, Deutscher Betonverein, Wiesbaden, 1973
- [3] Fießler, B; Hawranek, R.; Rackwitz, R.: Numerische Methoden probabilistischer Bemessungsverfahren und Sicherheitsnachweise, Berichte zur Sicherheitstheorie der Bauwerke, Heft 14/1976, SFB 96, München 1976
- [4] Lind, N.C.: Formulation of Probabilistic Design, Journal of the Engineering Mechanics Division, ASCE, Vol.103, EM2, 1977
- [5] Ditlevsen, O.: Structural Reliability and the Invariance Problem, Solid Mechanics Division, University of Waterloo, Rep. No. 22, Waterloo, Ontario, 1973
- [6] Hasofer, A.M.; Lind, N.C.: An Exact and Invariant First Order Reliability Format, Journal of the Engineering Mechanics Division, ASCE, Vol. 100, EM1, 1974
- [7] Hasofer, A.M.: Reliability and Failure Probability, 1973, nicht veröffentlicht
- [8] Veneziano, D.: Contributions to Second Moment Reliability Theory, Res. Rep. R 74-33, Dept. of Civ. Eng., M.I.T., 1974
- [9] Ditlevsen, O.: Evaluation of the Effect on Structural Reliability of Slight Deviations from Hyperplane Limit State Surfaces, DIALOG 2-76, Danmarks Ingeniørakademi, Lyngby, 1976
- [10] Abramowitz, M.; Stegun, J.A.: Handbook of Mathematical Functions, Dover Publ., New York, 1972
- [11] Anderson, O.; Popp, W.; Schaffranek, M.; Steinmetz, D.; Stenger, H.: Schätzen und Testen, Springer-Verlag 1976
- [12] Johnson, N.L.: On an Extension of the Connexion between Poisson and χ^2 -Distributions, Biometrika, 46, 352-363, 1959
- [13] Bargmann, R.E.; Ghosh, S.P.: Noncentral-Statistical Distribution Programs for a Computer Language, IBM Research Report R.G.-1231, 1964

- [14] Sauer, R.; Szabo, J.: Mathematische Hilfsmittel des Ingenieurs, Teil IV, Springer-Verlag, 1970
- [15] Wetzell, W.; Jöhnk, M.-D.; Naeve, P.: Statistische Tabellen, Berlin 1967
- [16] Fießler, B.; Neumann, H.-J.; Rackwitz, R.: Quadratic Limit State Criteria in Structural Reliability, noch nicht veröffentlicht
- [17] Imhof, J.P.: Computing the Distribution of Quadratic Forms in Normal Variables, Biometrika, 48, 419-426, 1961
- [18] Johnson, N.I.; Kotz, S.: Distributions in Statistics, Continuous Univariate Distribution, 2, Houghton Mifflin Comp., Boston, 1970

TAFEL DES FAKTORS ROHFUER DEN SICHERHEITSSINDEX BETA

DIESE TAFELWERTE KORRESPONDIEREN MIT DEN TAFELWERTEN (PF) DER PARABOLISCHEN CHLORIDVERTEILUNG FUER BETA = 7,0

BETA = 7,0

In der Berichtsreihe sind bisher erschienen:

- Heft 1/1972 Mathematische Hilfsmittel zur Sicherheitstheorie (7 Beiträge)
- Heft 2/1973 Seminarvorträge zur Sicherheitstheorie (7 Beiträge)
- Heft 3/1973 Beiträge zur Zuverlässigkeit von Betonbauwerken (11 Beiträge)
- Heft 4/1973 Wahrscheinlichkeitstheoretische Untersuchung der Knicksicherheit von schlanken Stahlbetonstützen O. Knappe
R. Rackwitz
- Heft 5/1974 Zur Sicherheitstheorie im konstruktiven Stahlbau Chr. Petersen
R. Hawranek
- Heft 6/1975 Monte Carlo-Studie zur Zuverlässigkeit von durchlaufenden Stahlbetondecken in Bürogebäuden U. Kraemer
R. Rackwitz
E. Grasser
- Heft 7/1973 Festigkeitsverhalten von Fichtenbrettschichtholz; Teil 1: Versuchseinrichtung für Kurzzeit-Druckversuche P. Glos
W. Maier
U. Weigle
- Heft 8/1975 Sicherheit gedrückter Stahlstützen, Teil I: Grundlagenvergleich mit den Versuchen der Europäischen Konvention der Stahlbauverbände am Profil IPE 160 R. Hawranek
Chr. Petersen
- Heft 9/1975 Zur Sicherheit von statisch beanspruchten HV-Verbindungen unter besonderem Bezug auf die DAST-Richtlinien der Jahre 1956, 1963 und 1974 R. Hawranek
- Heft 10/1975 Deterministische und stochastische Analyse des Tragverhaltens von Stahlbetonbauteilen unter Last- und Zwangbeanspruchungen G. Thielen
- Heft 11/1976 Statistische Untersuchungen von geometrischen Abweichungen an ausgeführten Stahlbetonbauteilen, Teil 1: Geometrische Imperfektionen bei Stahlbetonstützen G. Maaß
R. Rackwitz
- Heft 12/1976 Wahrscheinlichkeitstheoretische Analyse der Lebensdauervertelung nach Freudenthal et al. B. Krzykacz
M. Kersken-Bradley
- Heft 13/1976 Studien für ein stochastisches Modell der Betondruckfestigkeit, Teil 1: Untersuchung zur Betondruckfestigkeit im Bauwerk sowie zum Qualitätsangebot von Beton R. Rackwitz
K.F. Müller
G. Maaß
- Heft 14/1976 Numerische Methoden probabilistischer Bemessungsverfahren und Sicherheitsnachweise B. Fießler
H. Hawranek
R. Rackwitz

T A F F E L D E S F A K T O R S R O H F U E R D E N S I C H E R H E I T S I N D E X B E T A

DIESE TAFELWERTE KORRESPONDIEREN MIT DEN TAFELWERTEN (PF) DER PARABOLISCHEN CHIQUADRATVERTEILUNG FUER BETA = 7,0

B E T A = 7,0

R O H = K O R E K T U R F A K T O R F U E R B E T A

Heft 15/1976	Die Anwendung der Bayesschen statistischen Entscheidungstheorie auf Probleme der Qualitätskontrolle von Beton	R. Rackwitz
Heft 16/1977	Zur Ermittlung optimaler Sortiermethoden bei der Herstellung von Brettschichtbauteilen	M. Kersken-Bradley W. Maier
Heft 17/1977	Zwei Anwendungen der Zuverlässigkeitstheorie erster Ordnung bei zeitlich veränderlichen Lasten	R. Rackwitz B. Fießler
Heft 18/1977	Zuverlässigkeitsuntersuchungen an Brett-schichtträgern, bemessen nach DIN 1052	M. Kersken-Bradley
Heft 19/1977	Zur Untersuchung stationärer Lastwirkungsprozesse von statisch reagierenden Straßen- und Eisenbahnbrücken mit der Spektralmethode	T. Geidner
Heft 20/1977	Zur Verteilung der Parameter der Wöhlerlinie für St 37 und St 52	R. Quel
Heft 21/1977	Einige Beiträge zur Zuverlässigkeit von Bauwerken	R. Rackwitz